業務報告書

昭和58年度

滋賀県立機械金属工業指導所

彦根市岡町52番地

目

	1496		
	1	沿 革]
	2	規 模	1
	3	組 織	3
	4	職 員	3
	5	予算および決算	4
	6	試験研究設備の整備状況	6
	7	主要設備	7
П	依頼	炎務	
	1	依頼試験受付件数および調定額	1
	2	設備使用件数および調定額	1
Ш	指導	美務	
	1	技術アドバイザー指導事業	1:
	2	一般巡回技術指導	1
	3	公害防止巡回技術指導	1
	4	生産管理に関する技術指導	1
	5	簡易巡回技術指導	1
	6	技術相談	1
	7	調 査	1
	8	技術普及講習会	1
	9	地場産業振興高等技術者研修	10
	10	出版刊行物	1
	11	生產技術研究会	18
IV	研究對	意務	
	1	金属材料の破壊機構に関する研究	19
	2	バルブ材料の低温強度に関する研究	3
	3	マイコン制御による自動化に関する研究(その2)	4
	4	金属の摺り合せ摩耗に関する研究	6
	5	高周波誘導結合プラズマ発光分析法による鉄鋼分析の迅速化に関する研究	
		(その2)	7.
	6	高周波誘導結合プラズマ発光分析法による銅合金中微量成分の定量に関する研究	
			9

[概

要

- 1.沿 革
- 2.規 梼
- 3.組 維
- 4.職 員
- 5. 予算および決算
- 6. 試験研究設備の整備状況
- 7. 主要設備

1. 沿 革

昭和21年 4月 長浜市に県立長浜工業試験場を設置、機械、繊維の2部制とする。

昭和23年 7月 木工部を増設

昭和27年 4月 工業試験場を機械部門と繊維部門に分割し、機械部は木工部を合わせて滋賀

県立機械金属工業指導所と称す。

昭和34年 4月 本指導所の整備計画ならびに彦根市に移築を決定

昭和35年10月 庁舎竣工新庁舎にて業務を開始

昭和38年 3月 別館(精密機械加工室、熱処理中間試験室、ジグボーラ室、その他)を増築

昭和43年 1月 別館2階実験研究室を増築

昭和45年12月 R1透過試験棟を増築

昭和46年 9月 試料調整室を増築

昭和49年10月 本館 竣工

2. 規 模

敷 地 面 績 3,400.69 ㎡

建物総面績 2,273.42 ㎡

本 館 1,017.96 ㎡ (鉄筋コンクリート三階建)

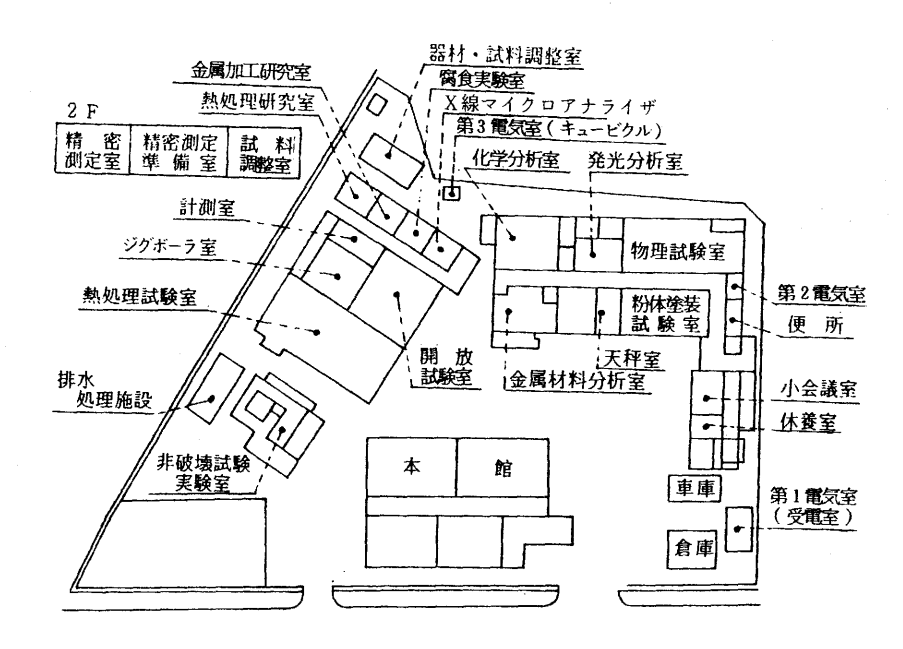
別 館 562.96 nt (鉄筋コンクリート補強ブロック平屋建)

実験研究棟 487.96 ㎡(鉄筋コンクリート補強ブロック一部二階建)

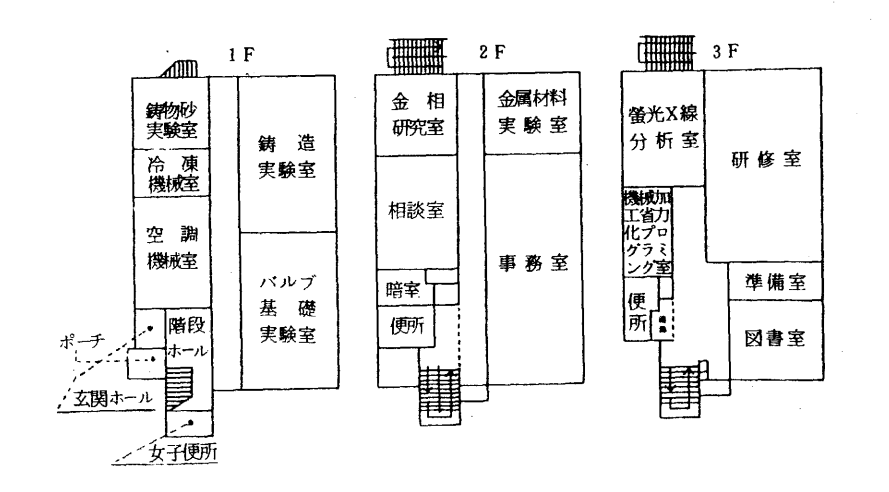
非破壊試験棟 78.70 ㎡(鉄筋コンクリート補強ブロック平屋建)

その他 126.27 ㎡

建物配置図



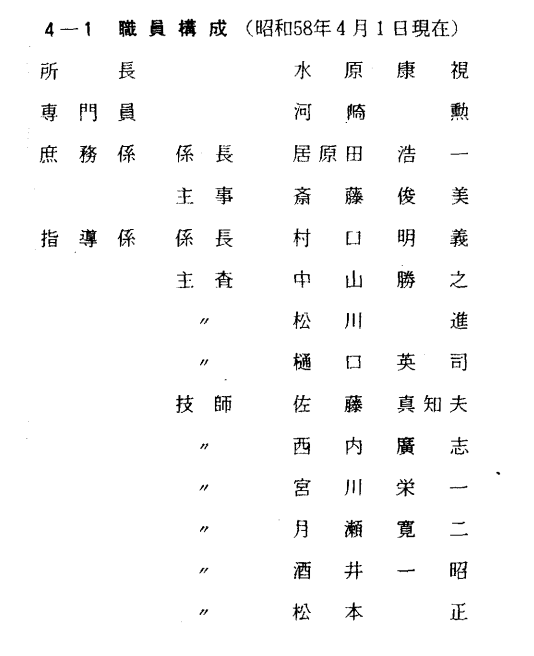
本館の各室配置図



3. 組 織



4. 職 員



4-2 職員の異動(昭和59年4月1日)

		新所	属	E	£	í	<u> </u>	[8]	所属
転	入	所	長	瀬	利	幸	次	計量検	定所所長
転	出	工業技術-開設準備3	センター を技師	松	本		Œ.	技	師
退	職			水	原	康	視	所	長

5. 予算および決算

(1) 昭和58年度 歲入予算収入状況

			Ŧ	4			E	1	予 算	調定額	収入済額	収入
	款		Ì		項		8	飾	通知額	神化切	以八四朝	未済額
使手	用数								15,000,000	円 16,429,500	円 16,429,500	FI 0
				使	用	料	商工使用料	機 械 金属工業指導所	230,000	232,600	232,600	0
				手	数	料	商工手数料	機械金属工業指導所 試 験	14,770,000	16,196,900	16,196,900	0
諸	収	J	J						18,850,000	18,850,000	18,850,000	0
				雑		λ	雑 入	機械工業振興事業費補助金	18,850,000	18,850,000	18,850,000	0
		4	ì					āt				0

(2) 昭和58年度 歳 出 状 況

			科				目					A 法圣德 顿	+ 11.37.45	残 額	備	考
	款		項	目		節		á	細	B		令達予算額	支出済額	残 額	1/111	- 5
02 総	務	費	01 総務管理費									1,396,400	1,396,400	0		
				01 一般管理費	01 報		酬					466,400	466,400	0		
				07 財産管理費	15 工 項	請負	費					490,000	490,000	0		
					11	用	費	02 そ 需	の用	相	也會	140,000	140,000	0		
					13 委	託	料	14 県調1	有	財産託米	E	300,000	300,000	0		
		*	ê A	¥ 1	ŧ		ă	†				1,396,400	1,396,400	0		
07 商	I	費										63,657,672	63,632,480	25,192		
			01 商工業費	03 工業振興費								3,886,672	3,886,672	0		
				·	01 報		₩.					3,000,000	3,000,000	0		
					09 旅		費					662,672	662,672	0		
					11	用	費	02 そ 需	の用	化黄	b.	154,000	154,000	0		
					12 役	務	費	02 そ 役	の務	化	也豐	70,000	70,000	0		

e ve	科	,			E	1			A 法 习物如	士山 30 ***	EB de-		
款	項	8		節		*	H	節	令達予算額	支出済額	残 額	備	考
	02 中小企業費								59,771,000	59,745,808	25,192		
		02 中小企業 指 導 費							3,792,000	3,792,000	0		
			08 報	償	費				1,209,000	1,209,000	0		
			09 旅		費				919,000	919,000	0		
			11	用	費			***************************************	1,448,000	1,448,000	0		
		 	_			01 食	糧	費	109,000	109,000	0		
				·		02 そ需	の用	他費	1,339,000	1,339,000	0		
			12 役	務	費	02 そ 役	の務	他費	100,000	100,000	0		
		- 1000 Page 1	14 使用 賃	月料及 借	が料				114,000	114,000	0		
			19 負担 及U	宣金補 「交付	助金	協分	有者研 会加力 負 担	(会)	2,000	2,000	0		
		03 中小企業 振興費	09 旅		費				23,000	23,000	0		
		06 機械金属工 業指導所費							55,956,000	55,930,808	25,192		
			08 報	償	費				63,000	63,000	0		
			09 旅		費				1,376,000	1,375,528	472		
			11	用	費				12,845,000	12,845,000	0		
						01 食	糧	費	363,000	363,000	0		
						02 そ 需	の用	他費	12,482,000	12,482,000	0		
			12 役	務	費	02 そ 役	の務	他費	1,896,000	1,896,000	0		
			13 委	託	料				1,307,000	1,283,120	23,880		
							保安 委託		184,000	183,120	880		
							恒湿 託		188,000	180,000	8,000		

	科		B			令達予算額	古山汶姑	残 額	備考
款	項	8	節	細	節	70 建了异研	文山好額	7天 60月	VAI 与
-				03 警備業 委託	務料	420,000	408,000	12,000	
				04 净 化 槽 維 持 管 業務委託	理	127,000	126,400	600	·
				05 ボイ ラ 整 備 検 委 託		66,000	66,000	0	
				06 火災報知 設備保安 査 委 託	禄	35,000	34,800	200	
				07 排出水の 析 委 託		125,000	124,800	200	
				08 冷凍機保 点検委託		162,000	160,000	2,000	·
			14 使用料及び 賃 借 料			98,000	98,000	0	
			18 備品購入費			38,350,000	38,350,000	0	
			19 負担金補助 及び交付金	01 冷凍設 保安協 負 託	備会金	7,000	6,960	40	
			27 公 課 費			14,000	13,200	800	
Ŕ	§ 3	. 1	in die	t		63,657,672	63,632,480	25,192	
é	ì	*2	ã	†		65,054,072	65,028,880	25,192	

6. 試験研究設備の整備状況(昭和58年度)

didididididi

品	名	数量	型	式	製	造	者	備	考
X線マイクロ	アナライザ	1式	E P M — 8	1 0 I	(株) 島	津 製	作所	日本自 興会補	転車振 助物件
小型超低	显恒温器	1台	M C. —	7 1	タバイ	エスペ	ック(株)	,	7
微小硬	度計	1式	MVK-E	ンステム	㈱明	石 製	作所	,	,
オシロス	コープ	1台	COS-E	5060	菊水	電子コ	業㈱	県	単

7. 主要設備

品 名	規格	購入年月日	備考
万能研削盤	三井精機製MUG 25×50	37. 6. 29	日本自転車振興会 補助物件
ソルトバス電気炉	友信工業㈱製LSB-30	37. 7. 9	県 単
治具中ぐり盤	三井精機製JBD型№ 3	38. 6. 17	日本自転車振興会 補助物件
万 能 投 影 機	イタリヤ、マイクロテクニカ 社製MT型	38. 8. 16	"
平面研削盤	三正製作所製G-D64型	38, 12, 20	"
万能工具研削盤	牧野フライス社製C―40	38. 12. 23	"
万能顕微測定器	三井精機製ML D 1000	40. 1.14	"
ロックウエル硬度計	明石製作所ORK型(電動)	40. 8. 20	"
二連オートメット 研磨テーブル	米国ビューラー製64-1912	41. 9. 30	"
旋	大阪工作所製BC型	43. 3.19	"
超硬工具研磨盤	アサヒダイヤモンド工業製 S DG型	43. 9. 10	"
表面粗さ計	テーラーボブソン社製 タリサーフ4型	43. 11. 30	"
万能フライス盤	日立精機製MS型U	43. 12. 28	中小企業庁補助物件
プロジェクション オプチメーター	カールツアイスイエナ社製 M O D20 / 20	44. 10. 21	日本自転車振興会 補助物件
金属顕微鏡	日本光学製ME型	"	"
キャス試験機	東洋理化製CASSER-1	44. 10. 29	"
流速効果腐食試験装置	山崎精機研究所VF-1	"	"
カット・オフ(帯鋸盤)	アマダ製C R H-300S	45. 8.30	"
ショア硬さ試験機	三光計器製S44計量研型	45. 9. 25	中小企業庁補助物件
ブリネル硬度計	三精工業製SDLB計量研型	45. 9. 29	"
工業用赤外線温度計	旭産業製TA-1	45. 10. 20	日本自転車振興会 補助物件

品名	規	格 	購入年月	日 備	考
デジマイクロ	オリンパス製 D 顕微鏡 S T M	M 253	45. 10. 3	0 中小企業	美庁補助物件
液化炭酸超低温装置	柳本製作所製OT	S-60	45. 10. 3	1 日本自軸	京車振興会 補助物件
島津万能試験機	電子管式REH-	100型	46. 9. 2	9 中小企業	美 庁補助物件
オームバス電気炉	東洋電熱工業社製 N C	-25 P L S	46. 11.	8 日本自動	車振興会 補助物件
周波数自動分析記録装置	国際振動研究所製	SM-2200	47. 9. 2	8	"
エレマ電気炉	東海興商製CE-	20	47. 10. 30	0	"
高温鋳物砂試験機	東京衡機製力量50	0 kg	47. 10. 31	1	"
直示式鋳物砂熱膨張計	小沢製作所製EO	S — 1	47. 11. 20)	"
曝 熱 試 験 器	小沢製作所製MO-	- 1	"		"
定電位電解分析装置	柳本製作所AFS-	-4 4連式	47. 9. 8		"
ニッサンセドリックバン	日産自動車工業排気	₹量2000cc	48. 7. 31	. 中小企業/	 丁補助物件
ばいじん量測定装置	D-20 S C		49. 8. 12		"
メモモーション測定装置	松下電器製		49. 7. 31		"
万能基準硬さ試験機	明石製作所製 計量 SHTー3型計算数	研型 5置付	49. 10. 28		"
高周波誘導電気炉	FTH-30Mサイリ	スタ式	49. 10. 31		n .
蛍 光 X 線 分析 装 置	理学電機工業製 ガイガーフレックス		52. 3.30		"
С Е 🗴 — 9 —	リーズ・アンド・ノー: TECTIPマーク	スロップ社 M-H	52. 3. 23		"
可傾式金型鋳造機	新東工業PLS一33	R	53. 8. 11		"
自動平衡型温度記録計	千野製作所 E K 100-	- 06	53. 8. 25		"
塗型用噴霧機 	岩田塗装製		53. 12. 20	,	"
Р Н メ – タ –	東亜電波製HM-20	В	53. 7.10	県	単
シャルピー衝撃試験機	島津製30kgf-m		54. 1.17		,

名 名	規格	購入年月日	備考
普通騒音計		54. 8. 20	7,4
	富士電波工業製	34. 6. 20	1 1 11111111111111111111111111111111111
高周波誘導焼入装置	B工电极工来级 FRT-40H、FQB-800	54. 11. 10	日本自転車振興会 補助物件
精密低温恒温槽	田葉井製作所製 K-3473-D1	54. 10. 31	"
ストレンメーター	新興通信工業 DPU-100 PS-7513-50	54. 9. 5	"
分光光度計	島津製作所UV-150-02	54. 8. 10	"
STメーター (残留ひずみ測定器)	福井技研標準型	54. 10. 5	"
水圧ポンプ	山本水圧工業製PHー60	54. 7.14	県 単
ジェットエロージョン 試 験 機	㈱山崎精機製JVE-12	55. 8. 10	中小企業庁補助物件
ピンホール探知器	㈱サンコウ電子製TRC-20 A	A 55. 7. 17.	"
静電粉体塗装装置	小野田セメント㈱製 GX101、TYPE6132-1	55. 7. 25	"
C一S同時定量装置	米国LECO社製 LECO—CS—144型	55. 8. 9	日本自転車振興会 補助物件
かじり摩耗試験機	㈱京都試作研究所製	55. 10. 31	"
空気圧実習装置	太陽鉄工㈱製 当所仕様	56. 7. 30	中小企業庁補助物件
ブリネル硬さ試験機	㈱島津製作所製 最大荷重 3,000kg	56. 9. 16	日本自転車振興会 補助物件
万能 試 験 機	㈱島津製作所製 オートグラフ DCS-25 T型	56. 9. 19	"
電動ビッカース硬度計	㈱明石製作所製 AVK-A型	56. 10. 31	"
高周波プラズマ分析装置	㈱島津製作所製ICPV-1000型	57. 12. 10	"
マイクロコンピュータ システム	シャープ㈱ M Z – 2000	58. 1.14	"
X線マイクロアナライザ	㈱島津製作所製EPM-810I	58. 11. 21	"
小型超低温恒温器	タバイエスペック ㈱製 MC―71型	58. 11. 22	"
微小硬度計	㈱明石製作所製 MVK-Eシステム	58. 11. 25	"
オシロスコープ	菊水電子工業㈱ COS- 5060	58. 7. 29	県 単

Ⅱ 依 頼 業 務

- 1. 依頼試験受付件数および調定額
- 2. 設備使用件数および調定額

1 依頼業務

1. 依頼試験数および調定額

調定額 16,196,900円 。強度試験 7,050,800円 3,443試料(8,837試験) (内訳) 抗 折 1,348試験 引 張 3, 179 " 耐力、降伏点 692 " 伸 び 1.588 " 硬 さ(HB) 1,707 " 〃 (その他) 126 " その他 197 " 。分析試験 7,667,300円 926試料(4,252成分) (内訳) ねずみ鋳鉄) 209 " 球状黒鉛鋳鉄 青銅鋳物 540 " その他 177 " 。その他の試験 819.500円 285 〃(489試験) (内訳) 金属組織写真 377試験 その他 112 " 。副 本 659,300円 2,137通 (内訳) 和 文 1,955通 英 文 182通

2. 設備使用件数および調定額

調 定 額 233,000円

(内訳) 治具中ぐり盤 32件(139時間) 平面研削盤 5件(32時間)

9件(48回) 鋳物砂試験機

その他 2件

Ⅲ指掌業務

- 1.技術アドバイザー指導事業
- 2. 一般巡回技術指導
- 3. 公害防止巡回技術指導
- 4. 生産管理に関する技術指導
- 5. 簡易巡回技術指導
- 6.技術相談
- 7.調 査
- 8. 技術普及講習会
- 9. 地場産業振興高等技術者研修
- 10. 出版刊行物

diminialishi

11. 生産技術研究会

Ⅲ 指導業務

1. 技術アドバイザー指導事業

。期 間 昭和58年4月1日~昭和59年3月31日 実施日数 延べ250日

技術アドバイザー氏名中川悟孝福井 清 神沢一吉 中石 実(関係分のみ)大 槻泰幹 松 浦 宏 明 池 田 寿 紀 田 北 進之十武 部 正 幸 山 下 等 加 藤 薫

。アドバイザー補助指導員 滋賀県立機械金属工業指導所職員

 実施企業名 新旭電子工業㈱、高橋金属㈱、㈱住吉製作所、㈱協和商会、福原電機、 丸万工業㈱近江工場、宮部鉄工㈱、恂田中鉄工所、三和技研、シガメタル㈱、 ツヅキ電子、平和精機㈱、東洋プレス工業㈱滋賀事業所、みさか工業㈱、 飛田鉄工所、光製作所、昭和エンジニアリング、㈱栄立電機製作所、 大和バルブ工業㈱彦根工場、エスビーバルブ工業㈱、㈱金寿堂、㈱ヤマト精工、 ㈱酒井工業所、㈱矢島製作所、恂前田製作所、貴生川精機㈱、㈱センサーテック、 ㈱長浜コルク工業所、油野プレス工業㈱、セキシン電子㈱、㈱川合製作所、 伊藤工機㈱滋賀工場、新光工業㈱、オ・エム・マシン㈱、恂中川製作所、 ㈱奥村製作所、湖北工業㈱、関西産業㈱、㈱清水商店、㈱比叡ゆば本舗ゆば八、 吉川板金店、瀬川忠竹材工業㈱

。主な指導項目

製品試作、技術開発に関する指導 マイコン技術、情報処理技術に関する指導 機械工作、治工具等に関する指導 プレス、自動化機器に関する指導 油空圧、流体、材料力学に関する指導 新素材、塑性加工に関する指導 生産管理技術に関する指導 ほか

2. 一般巡回技術指導

。溶接技術

期 間 昭和58年6月24日~25日、7月1日~2日

指 導 員 滋賀技能開発センター

溶接科 教導 長 朔 男

滋賀県立機械金属工業指導所

指導係長 村口明義

主 査 中山勝之

対象企業 籠谷鉄工所、㈱中野製作所、神港精機㈱、㈱南製作所

。防食技術

期 間 昭和58年9月8日~9日、9月12日

指 導 員 大阪府立大学工学部

金属工学科教授 山川宏二

滋賀県立機械金属工業指導所

主 査 松 川 進

技師 西内廣志

対象企業 ㈱奥村製作所、伊藤工機㈱滋賀工場、兵神装備㈱滋賀工場

。熱処理技術

期 間 昭和59年3月1日~2日、3月5日

指 導 員 安倍技術士事務所

所長 安倍 駿一郎

滋賀県立機械金属工業指導所

主 査 中 山 勝 之

″ 松川 進

技師 西内廣志

対象企業 湖北工業㈱、中村製作所、셰中川製作所

3. 公害防止巡回技術指導

。工場内を中心とする騒音および振動の測定と防止対策

期 間 昭和58年12月20日~23日、26日

指導員 技術士 高崎秀平

滋賀県立機械金属工業指導所

主 査 松 川

技師 宮川栄一

″ 月瀬寛二

〃 松本 正

対象企業 貴生川精機㈱、㈱酒井工業所、村井鉄工所、マツイ機器工業㈱、高橋金属㈱

4. 生産管理に関する技術指導

。JIS表示許可工場の認可のための指導

(社内規格、品質管理、社内体制のあり方、各種資料の作成法等)

期 間 昭和59年3月15日、16日、19日

指 導 員 異生産管理事務所

技術士 巽 茂 蔵

滋賀県立機械金属工業指導所

指導係長 村 口 明 義

主 査 松川 進

樋口英司

対象企業 中川商産㈱、㈱西村鉄工、恂福徳鋳造所彦根支店

5. 簡易巡回技術指導

。県下の金属製品製造業者および一般機械器具製造業者に対する技術指導

期 間 昭和58年8月~10月

指 導 員 滋賀県立機械金属工業指導所職員

企業数 30企業

6. 技術相談

金	属	材	料	151件
熱	処	里 技	術	6 2 件
機	械加	工技	支術	88件
試験	法おる	よび測	定法	637件
鋳	造	技	術	43件
金	属	組	織	8 4 件
分	析	_	般	223件
防	食	技	術	6 3 件
電	子	技	術	3 2 件
実	施	指	導	18件
-	0)	他	819件
	Ē	ŀ		2,220件

7.調 査

(1) 彦根バルブ生産動向調査

23企業

1 一四半期ごとに企業訪問して実施

(2) 設備近代化資金および設備貸与貸付申込み企業の事前調査

設備近代化関係

19企業

設備貸与関係

19企業

8. 技術普及講習会

年	月E		題	B	講	師	場	所	受講人員
58.	5.17	W)	アイデアと新技	技術・製品開発	㈱京都試作研 所長 中 川		指導所	研修室	25名
58.	8.25 ¢	t)	。現場でできる タの解析法 。昭和57年度研		ヤンマーディ 滋賀生産事業 品質管理課 中 本 指導所職員	所	"		40名
58.1	10.21.6		ステンレス 鋼 の て	熱処理につい	大阪府立大学 教授 木 村	54	"		41名
59.	1.24 0		多品種少量生産 いて	の自動化につ	泉産業㈱ 代表取締役 北 口	時太郎	彦根市!第1会記	4	30名
59.	3.13 0)	製品開発の考え	方について	草津電機㈱ 代表取締役 高 田	三郎	指導所研	肝修室	38名

9. 地場産業振興高等技術者研修

(1) コース名 マイクロコンピュータの応用技術

(2) 実施期間および時間数

昭和58年9月1日~11月9日 105時間

(3) 場 所 彦根商工会議所・滋賀県立機械金属工業指導所

(4) 受講者および修了者 受講者 25名

修了者 20名

(5) 講師

滋賀大学

㈱公共試作研究所

助教授 法 雲 俊 巴

所 長 大 貫 信 彦

ミカサ商事株式会社

滋賀県立機械金属工業指導所

システム開発・管理部

主 查 樋口英司技師 月瀬寛二

係長川崎博史

大阪府立工業技術研究所

 研究員
 杉左近
 隆

 研究員
 杉 井 春 夫

(6) 研修科目と時間数

科 目	内容	時間数
マイクロコンピュータの応用と 今後の動向	マイコンの誕生、製品技術・生産技術としての マイコン技術、現状と今後の動向	時間 3
マイクロコンピュータの基礎知識	マイクロプロセッサの種類と動向 マイコンの構成 (演算部、入出力部、メモリ部、他)	9
	2 進法と論理回路、CPUの働きと構造	9
	メモリの働きと構造、I/Oの働きと構造	
ソフトウェアの基礎	機械語とアセンブラ	
,,,,,,,,,,,,,,,,,,,,,,,,,,,,,,,,,,,,,,	CPU8085の命令とその機能	6
プログラミング演習	プログラミング技法と演習 (命令セット、スタック、サブルーチン、 マシンサイクル、割込み、他)	2 4
	CP/M の利用法とアセンブラ	
マイコンのハードウェアおよび インターフェイス回路の製作実習	汎用LSIの機能と使い方 アナログ信号とディジタル信号の入出力	15
マイコンによる制御演習	実習用マイコン応用機器の解説 実習用マイコン応用機器の動作演習	1 5
企業におけるマイコン活動の現状	マイコンによって解決できた実例(製品開発、コストダウン、省力化等)	3
マイコン応用プログラム開発 (ゼミナールと論文作成を 含む)	 ●ステッピングモータ駆動制御 ●白熱灯の照度制御 ●シリンダのシーケンス制御 ●DCサーボモータによる位置制御 ●圧力と温度の自動制御 ●XYテーブルの2軸制御 ●形状選別システムの制御 	3 0
	in t	105

10. 出版刊行物

 業務報告書
 1 回

 研究報告書
 1 回

 機工指だより
 No.22)

No. 23 } 各1回

No. 24

11. 生産技術研究会

(1) 昭和58年度役員

会 長 増 田 米 男(日の本弁工業(ば) 幹 事 礒 嶌 喜久男(広瀬バルブ工業KK) 川 部 朝 男 (KK川部バルブ製作所)

木 村 一 夫 (KKイズミ製作所)

森 田 幸 彦(KK清水鉄工所)

中 山 勝 之(滋賀県立機械金属工業指導所)

(事務局) 会計監事 坂 東 一 男(中嶋バルブ工業KK)

毅(大和バルブ工業KK)

佐 藤 眞知夫(

(2) 行 事

ア. 技術講習会 5 💷

イ、工場見学会 2 回

。東亜精機㈱近江工場

。村田機械㈱犬山工場

ウ. 研 究 会 1 0

「X線マイクロアナライザについて」

工. 総 会 1回

オ. 幹 事 会 3 🗖

カ.新春懇談会 10

キ. 会 報 27号 28号 2 🗇

Ⅳ 研 究 業 務

- 1. 金属材料の破壊機構に関する研究
- 2. バルブ材料の低温強度に関する研究
- 3. マイコン制御による自動化に関する研究(その2)
- 4. 金属の摺り合せ摩耗に関する研究
- 5. 高周波誘導結合プラズマ発光分析法による鉄鋼分析の 迅速化に関する研究(その2)
- 6. 高周波誘導結合プラズマ発光分析法による銅合金中微 量成分の定量に関する研究

金属材料の破壊機構に関する研究

(オーステナイト系ステンレス鋼の粒界腐食について)

主查 松 川 進

技師 西内広志

1.緒 言

近年、装置・配管機器等の使用中における腐食・破壊事故にともなう原因究明とその対策のため の相談・依頼が激増している。

これらのトラブルは経済的損失のみならず、保安管理・資源保護の面からも重大であり、早急に 対処する必要がある。

従来の腐食・破壊にともなう事故品の解析は機械的物性・分析・金属組織等のマクロ試験により 個別に処理してきたが、これらの試験は材料の性質を知るうえで重要であるが、根本的な原因究明 には情報不足である。総合的な解析を行うには材料の局所破壊部における偏析・介在物・析出物の 分析と面および点における破壊機構の観察・検討をつけくわえなければならない。

そこで、今回は化学プラント用配管・装置材料の腐食原因とその防食対策を目的として、比較的相談件数の多いオーステナイト系ステンレス鋼について環境劣化試験(腐食試験)を行い、微小部 領域における解析をX線マイクロアナライザ(以下EPMAという)を用いて実施した。

2. 実験装置および方法

2-1 実験装置

写真1に示す島津製作所製X線マイクロアナライザ(EPM-8101システム)を使用して、試料の熱履歴および腐食の解析を行った。

本装置の原理は図1のとおりで、金属表面および内部に進行した腐食試料に細く絞った電子ビームを照射し、試料から発生する特性X線や二次電子線、反射電子線の像をブラウン管上に写し、 試料表面の観察とその構成元素分布を知ることができる。

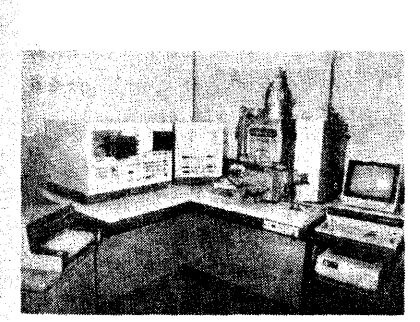


写真 1 E P M - 810I

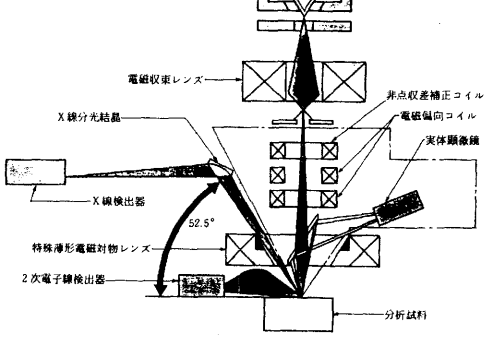


図 1 EPM-810Iの原理図

表 1 EPM-810Iの仕様

_				- 0101011111	
	項		目	仕	 様
型			式	電子線マイクロアナライザ EPM-810 I 2 Ch	
電	子線	分角	解能	1 0 0 Å	
倍			率	×20~×400,000	
試	料	寸	法	102mm ¢ × 40mm t (最大)	
X ¥	泉取	出角	度	5 2. 5 °	
分	光	結	晶	LF, ADP, RAP, PbS	D
分	析	元	素	5 B∼ 92 U	
試	料	調	整	コンパクトコーティング イオンコーター	

2-2 供試材および熱処理

実験用に用いた供試材は表 2 に示す化学成分のオーステナイト系ステンレス鋼で、その形状および寸法は32 $\emptyset \times 10$ h である。

表 2 供試材の化学成分

				* 63C(1/2) V)] [子双刀			
種類	成分(%)	С	Si	Mn	Р	S	Ni	Cr
ステンレス鋼棒	SUS 303	0.06	0.45	1.96	0.033	0.193	8.59	17.41
,,	SUS 303	0.05	0.50	1.99	0.028	0.015	9.65	17.51
"	S U S 304 L	0.01	0.42	0.51	0.036	0.007	9.04	18.08

熱処理はオーステナイト系ステンレス鋼における粒界腐食を迅速に検知させるために鋭敏化処理を、また熱履歴における耐食性能を調べるために固溶化熱処理を施した。その熱処理条件を表3に示す。

表 3 供試材の熱処理条件

種 類		条	件
鋭	敦 化	650℃×1000分	空冷
固溶化	3 0 3 3 0 4	1100℃× 30分	水冷
	304 L	1050°C× 30分	水冷

--20---

参考のため熱処理後の表面硬さを図2に示す。

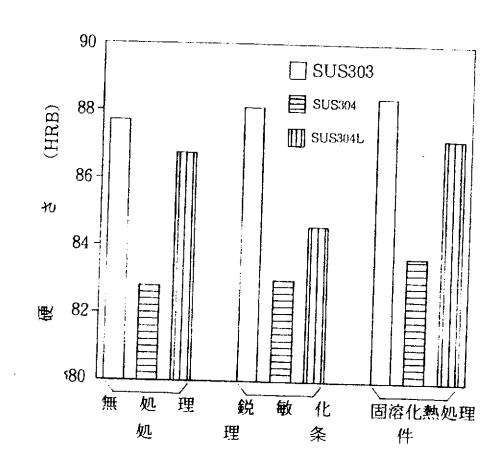


図 2 処理条件と硬さの関係

2-3 腐食試験方法

2-3-1 Cass試験

熱履歴による表面層の耐銹性を調べるために表4に示す条件でCass試験を行った。

表 4 Cass試驗条件

			Cassiu映来什		
	項	目	条	件	
	噴霧液の	D組成	naCl CuCl2 • 2H2O	5 % 0.26g/ℓ	
	噴霧液 0	D比重	1.04 (25%	C)	
	噴霧液の pH		3.2		
	室の暴露おける		49℃		
L	噴霧時間	(hr)	170		

2-3-2 硫酸・硫酸銅腐食試験

(Strauss試験)

JISGO575に準じ、粒界腐食を調べるため に行った。試験方法は図3に示す立型逆流コ ンデンサ付ガラス製フラスコ(試験液約2ℓ) 温度計 H2O 冷却器 Gu板 加温器

図3 硫酸・硫酸銅 腐食試験装置の略図

を用い、連続24時間試料と銅片を接触させながら浸漬沸騰させる。

浸漬後、試料に付着した腐食生物を流水でブラシを用いて除去し、乾燥後秤量して、次式に

より腐食減量を求めた。

腐食減量 (mg/cml) = (a-b)/S

a:腐食前重量 (mg)

b:腐食後重量 (mg)

S:試料表面績 (cnt)

なお、試験液は下記に示すとおりである。

(試験液: CuSO4・5H2O 100gをH2O 700mlに溶解し、H2SO4(比重1.84) 100mlを) 加え、H2Oによって1000mlに調整したもの

2-3-3 硝酸・フッ化水素酸腐食試験

JISGO 574に準じ粒界腐食を迅速に検知するために、10%硝酸・3 %フッ化水素酸による浸漬腐食試験を行った。恒温槽で70℃に保持したテフロン製ビーカー中(試験液量:約200cc)で連続2時間浸漬した。なお、腐食生成物の除去方法および腐食減量の求め方は2 − 3 − 2 と同様である。

2-4 X線マイクロアナライザ (EPMA) による組成解析

熱履歴(熱影響、腐食表面層、腐食断面層)による組成解析(二次電子像、反射電子像、特性 X線像、線分析)をEPMAにより行った。試料調整および測定条件を表5に示す。

	衣	5 EPM	Aによる傢観祭	余件
条件	像の種類	二次電子像 (SEM)	反射電子像 (BSE)	X 線像
加速	■E KV	2 5	25	軽元素と
試料	電流 nA	0.1	10	重元素により
Beam	·径 μm	5 ~ 8	5 ~ 13	条件が異なる
	表面層	金蒸着	金蒸着	金 蒸 着
試料	断面層	バフ研磨後 金 蒸 着	バフ研磨後 金 蒸 着	バフ研磨後 金 蒸 着

表 5 EPMAによる像観察条件

3. 実験結果および考察

3-1 オーステナイト系ステンレス鋼の熱履歴について

3-1-1 鋭敏化処理 (Sensitizing heat treatwent)

SUS303等の汎用の炭化物非安定型オーステナイト系ステンレス綱は環境中における粒界腐食や粒界型応力腐食割れが数多く見られ、この原因の究明と対策に苦慮されてきた。

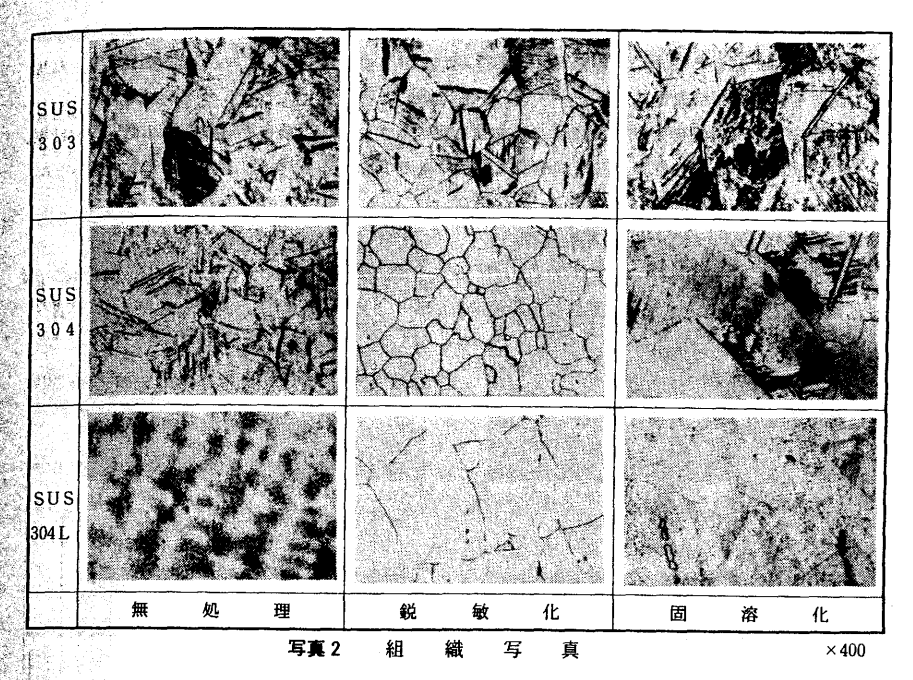
材料側の因子(要因)としては炭化物の析出温度域(一般的には450~870℃)での加熱の際 に生じる粒界部分での組織変化、すなわち鋭敏化が最も重要とされている。

そこで、種々検討し、表3に示した条件で鋭敏化処理を施した。

その結果は写真2に示す顕微鏡組織から、下記のごとく炭素量の低下に伴い結晶粒が粗大化

することが明確になった。

(粗) 3 0 3 > 3 0 4 > 3 0 4 L (細) C:0.06% C:0.05% C:0.01%



次に、SUS303の粒界付近の炭化物の析出状況を調べるためEPMAで組成解析をすると、写真 3 に示すとおり特性 X 線像($CK\alpha$)、および線分析により(Cr $Fe)_{23}$ C_6 からなるものであると推測される。

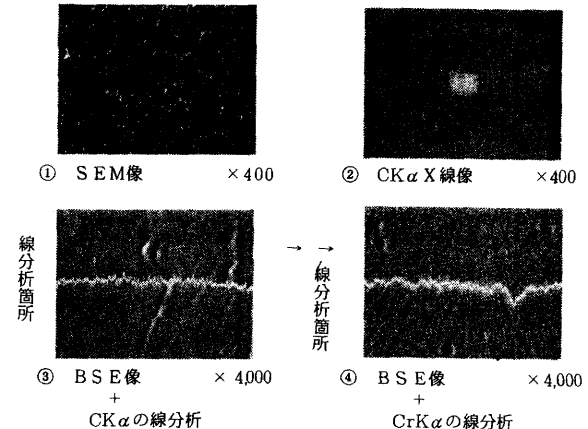


写真3 SUS303における鋭敏化処理後の組成像(腐食試験無し 表面観察)

また、粒界付近をCrKα特性X線で線分析した結果、粒界付近、あるいは炭化物近傍でCr濃度 が低下していることが判った。このことにより粒界付近はCr欠乏帯の生成が起ることが確認さ れた。

3-1-2 固溶化熱処理 (Solution heat treatment)

オーステナイト系ステンレス鋼は950℃以上に加熱すると冷間、または熱間加工で生じた加 工歪や炭化物が消去されて、オーステナイト組織になると云われている。

そこで、Cr炭化物を固溶化させ、耐食性を向上さす目的で固溶化熱処理を行った。その結果 写真2に示したとおり結晶粒はやや粗大化したものの、成熟されたオーステナイト地となった。

3-2 Cass試験について

3-2-1 マクロ観察および腐食減量

表4に示した暴露条件で各処理後の試料についてCass試験を行った。この試験は噴霧液がpH 3程度で、従来の塩水噴霧試験よりも錆の進行が速く、屋外暴露試験と近似しており、操作件・ 経済性等から広く採用されている方法である。

結果は写真4、および図4に示すとおり、無処理の場合は含有炭素量が増すにつれ表面層の 錆が顕著になり、腐食量は増加した。

₹ 2.4

2.0 -

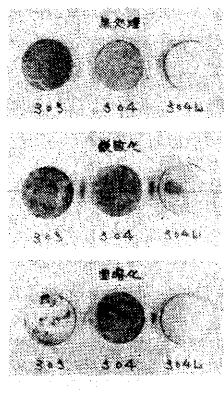
1.6 -铤 1.2

☐ SUS303

■ SUS304

III SUS304L

腐食減量の関係



鋭敏化 $8.0 \times$ Cass試験における処理条件と

Cass試験後の表表面状態

従って、無処理の腐食順位は次のとおりとなる。

303 > 304 > 304 L

このことは303のように炭素量の高いオーステナイト系ステンレス鋼では炭素(C)と鉄(Fe) がpH3の電解質の環境下で、FeがAnode側、CがCathade側になり、Anode>Cathodeの面積 比により相対的に全面腐食が生じたと考えられる。

また、固溶化熱処理を施した場合は無処理、鋭敏化処理に比べ腐食量は増加し、わずかなが ら孔食が発生した。

このことは溶体化後、水で急冷したために厚い酸化スケールができ、特に側表面における酸 化スケールがエンドレスペーパーでは完全に除去できなかったために不均一な表面酸化層のス

ケール付着による隙間形成の電池作用とCI[®]の濃縮とが相乗し、ステンレス鋼特有の不働態皮 **瞠が破壊され、孔食が発生し、増大したものと考えられる。**

3-2-2 EPMAによる無処理および鋭敏化処理SUS303の表面腐食層の組成解析

結果を写直5に示すが、無処理における錆層の状況は①のSEM像で明らかなとおり鱗片状 で不規則である。CIKαで線分析すると錆層が顕著に表われているところはCI濃度が高いこと が判った。

一方、鋭敏化処理すると④のBSE像から表面層の錆が凹凸になっており、CIKαの線分析 から、前述の無処理と同様にこの箇所のCI濃度が高いことが確認できた。

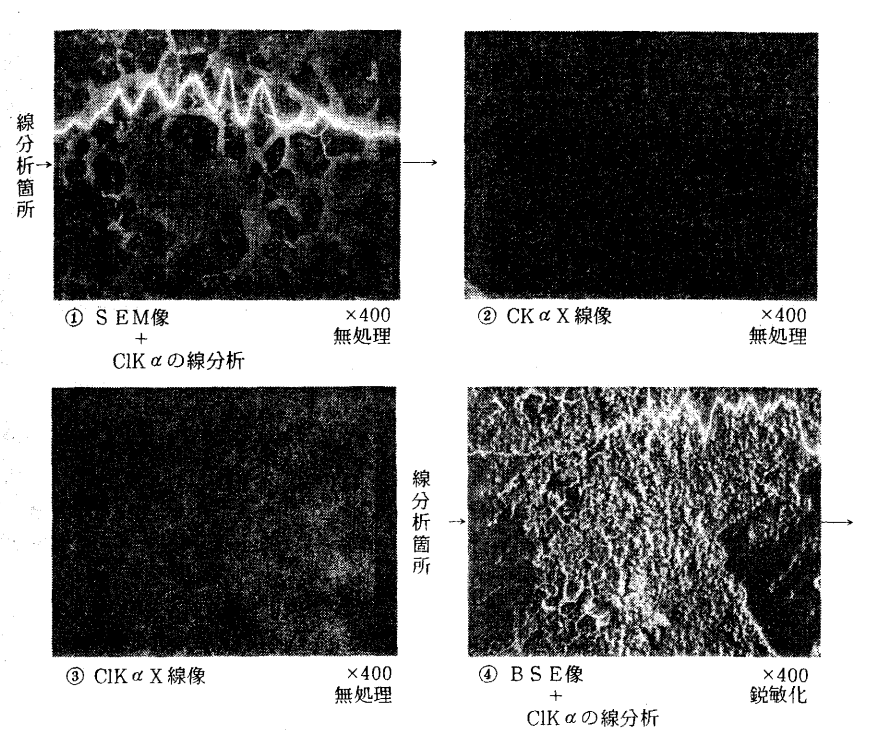


写真 5 Cass試験後の組成像 (SUS303、無処理、鋭敏化表面観察)

3-3 硫酸・硫酸銅腐食試験について

3-3-1 腐食減量

一般にオーステナイト系ステンレス鋼は硝酸のような酸化性環境下では優れた耐食性を示す が、硫酸等の非酸化性の酸については抵抗力が弱いと云われている。

例えば、湿式廃煙脱流プラント等において溶接補修等の鋭敏化をうけた18-8ステンレス鋼 を使用すると粒界腐食を生じやすい。

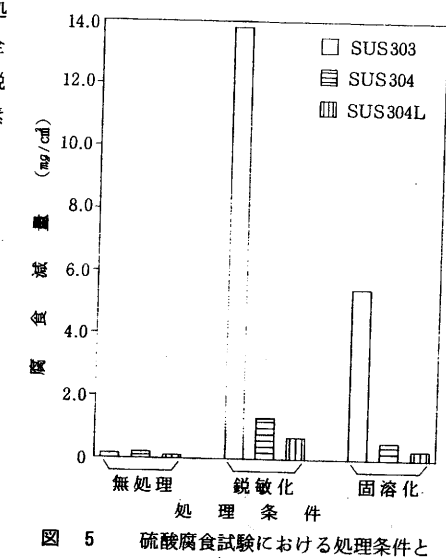
そこで、実験室的に腐食状況を調べるため2-3-2の条件で試験を行った。

その結果は図5に示すとおり、無処 理の場合は材質における差はなく、全 体に腐食量は少ない。これに対し、鋭 敏化されるとCass試験結果同様に炭素 量の高い303は特に腐食されやすいこ とが判った。

また、鋭敏化されると無処理に比べ 材質に関係なく腐食が進行した。

これは粒界におけるCr炭化物((Cr Fe)23C 6) の析出、および粒界近傍に おけるCr欠乏層の相乗作用により、不 働態が破壊され、活性溶解されるため と考えられる。

一方、固溶化熱処理についてはCr炭 化物の固溶化により、鋭敏化に比べ約 2倍の耐食性を示した。



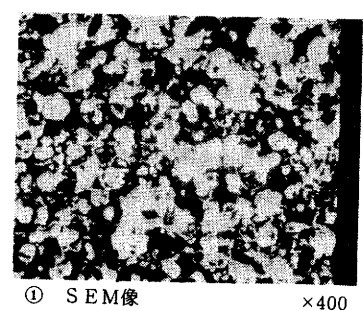
腐食減量の関係

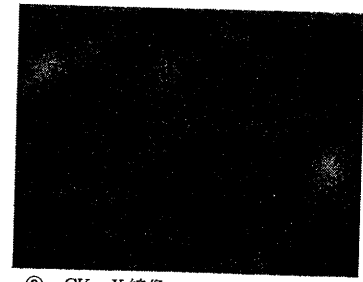
3-3-2 EPMAによる鋭敏化処理SUS303の組成解析

3-3-2-1 表面腐食層の解析

試験結果を写真6・7に示す。SEM像、X線像から不働態が活性溶解された箇所(①の 白い部分)はC.P.S.Cuが偏在していることが判る。また、活性溶解された箇所を $CrK\alpha$ 、CuKlphaで線分析すると、この白い部分はCr濃度が低下しており、面分析でCrKlphaの分布を調べ た結果、腐食による Cr 欠乏帯が生じていることが判った。同時にCu 濃度が高いことも 判明 した。

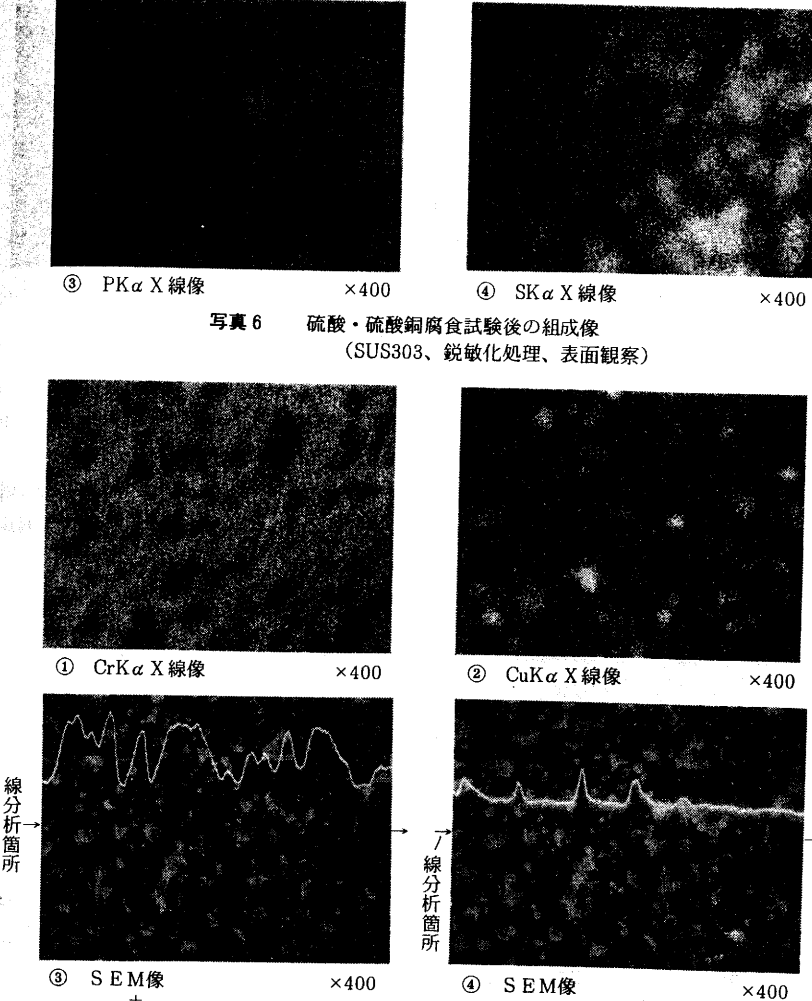
以上のことから、白い部分はFe、CrのAnode溶解から生じた表面層のCathode反応Cu²⁺+ e→Cu+によるCuの析出層および硫化物侵食層であることが推定される。





② CKαX線像





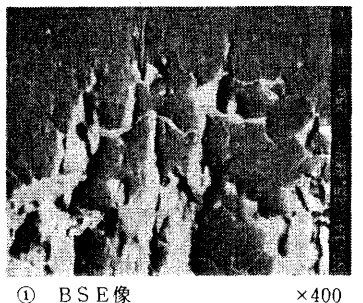
CrKαの線分析 CuKαの線分析

硫酸・硫酸銅腐食試験後の組成像 (SUS303、鋭敏化処理、表面観察)

3-3-2-2 断面層の解析

腐食試験片の断面を鏡面仕上げした後、塩化第2鉄溶液でエッチング、金蒸着を施し観察 した。

その結果は写真8に示すとおり、粒界に (Cr、Fe)23 C6の析出と粒界近傍のCr欠乏層によ り粒界が局部的に破壊され、硫化物による侵食を受けていることが判明した。



① BSE像



② SKαX線像

 $\times 400$

写真8 硫酸・硫酸銅腐食試験後の組成像 (SUS303、鋭敏化処理、断面観察)

3-4 硝酸・フッ化水素酸腐食試験について

3-4-1 腐食減量

indifficients.

前述したように、オーステナイト系ステンレス鋼は硝酸等の酸化性の環境下では良好な耐食 性を示すとされているが、図6に示す過不働態領域においては酸化性の環境下でも粒界腐食が 起る可能性があると報告されている。また、溶

液中にフッ素のハロゲンイオンが存在するとき、 図7に示す不働態領域内h点において孔食が発 生すると予測される。

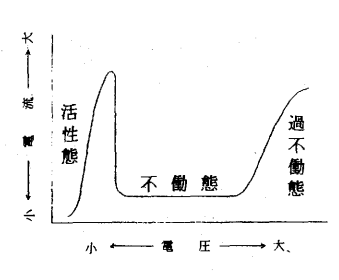
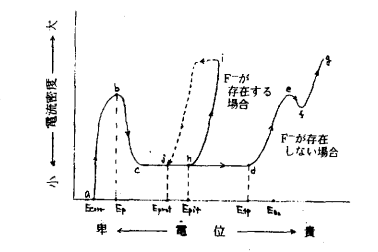


図6 ステンレス鍋における 模式的アノード分極曲線



Ecorr:自然電極電位 Eprot:保護電位

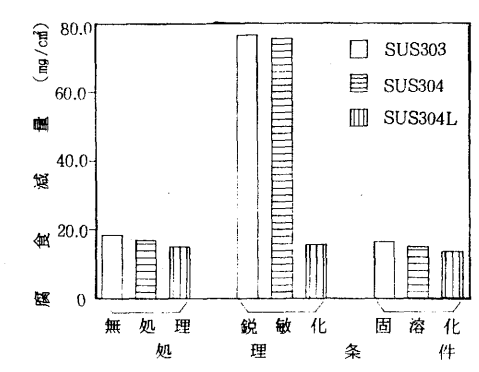
Ep :不働態化電位 Epi+:孔食電位 (Etp:過不働態電位 EO2:酸素発生電位

図7 溶液中のF-イオン存在、不存在に おけるステンレス鋼の分極曲線

このことを想定し、2-3-3に示す条件で試験したが、その結果は図8に示すように処理 条件、材質の違いにかかわらず腐食された。

個々に比べてみると、無処理、固溶化は鋭敏化に対し腐食量は少なく優れた耐食性を示した。 しかし、鋭敏化処理した303、304は無処理、固溶化したそれに比較して、約4倍の腐食量を示 し、フッ素のハロゲンイオンが存在する環境下では大巾に腐食が進行することを証明した。

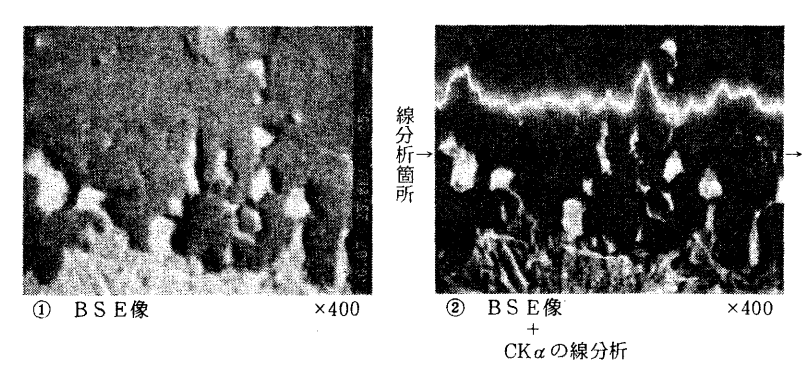
しかし、304Lは低炭素のため(Cr Fe)23C6の析出、Cr欠乏帯における粒界腐食は起らず、 無処理・固溶化のそれと同程度の耐食性を示した。



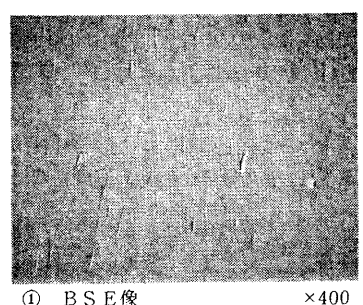
硝酸・フッ化水素酸腐食試験における処理条件と腐食減量の関係

3-4-2 EPMAによる鋭敏化処理SUS303の断面層の解析

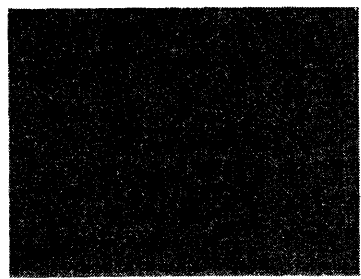
3-3-2-2と同様の前処理を行い、断面のBSE像によるEPMA観察をした。その結 果を写真9・10・11に示す。



硝酸・フッ化水素酸腐食試験後の組成像 (SUS303、鋭敏化処理、断面観察)



① BSE像



② CKα X 線像

 $\times 400$

硝酸・フッ化水素酸腐食試験後の組成像 写真10 (SUS303、無処理、断面観察)





① BSE像

×400

② CK α X 線像

 $\times 400$

写真11 硝酸・フッ化水素酸腐食試験後の組成像 (SUS303、固溶化処理、断面観察)

炭化物析出層が選択的に腐食されていることが ${
m CK}\, \alpha$ の線分析によって判った。また、写真 9 -①の結晶粒界・粒間における孔食は前述した ${
m F}^-$ 等のハロゲンの影響によるものであると推測される。

一方、無処理303、固溶化303は写真から明らかなとおり、炭化物析出層がなく、粒界腐食は起こしていないが、F-によるわずかな孔食が見られた。

4.まとめ

以上の実験結果を要約すると次のとおりである。

(1) Cass試験における腐食順位は次のとおりであった。

(大) SUS303 > SUS304 > SUS304L (小)

(無処理の場合)

固溶化熱処理の場合は表面酸化スケールの影響で無処理、鋭敏化に比べ腐食量が増大し、わずかな孔食が発生した。

(2) 鋭敏化熱処理した場合の硫酸・硫酸銅腐食試験結果は粒界における $(Cr \ Fe)_{23} \ C_6$ の析出と、それにともなうCr欠乏層の影響で腐食量が固溶化熱処理に比べ、約2倍となった。

また、結晶粒界での炭化物析出にともなうCr濃度の低下、および粒界部のSの集積による粒 界腐食状況がEPMA観察によって明らかになった。

(3) 硝酸・フッ化水素酸腐食試験結果は無処理、固溶化熱処理の場合、鋭敏化に比べ優れた耐食性を示した。しかし、鋭敏化処理した303、304は無処理、固溶化熱処理に比べ約4倍の腐食量を示した。

上記の結果を総合的に判断すると、オーステナイト系ステンレス鋼における粒界腐食が起りやすい要因は含有(固溶) C量の相違による鋭敏化(感受性)後の粒界炭化物析出状況、およびCr 欠乏層領域の差によるものと考えられる。

その対策としては、鋭敏化による炭化物析出を防止することが肝要である。そのためにはC量の含有をできるだけ低減することが望ましい。(含有C量の少ないSUS304Lは全ての腐食試験において、耐食性が良く、粒界腐食も起らなかった)

やむをえず、溶接補修等の鋭敏化が避けられないステンレス鋼種については析出炭化物の固溶化

触処理が必要と考えられる。

終りに、今回の実験で得られた教訓は材料の良否、あるいは腐食等の破壊機構を解明する場合、 材料のキャラクタリゼーションが必要であり、特にEPMAによる微小部領域の観察、分析(線・ ・ 選択態等の分析)が不可欠であり、有効的な手段であることである。

日、今後の検討課題

今回の実験から今後検討を加えなければならない点を以下に挙げる。

★★試1 孔食におよぼす表面仕上げの影響

● ■21 EPMAによる腐食生成物の状態分析

★ ★ ★ (3) EPMAによる相変態の定量

(4) 分極曲線によるステンレス鋼の腐食挙動

動き (5) 二相ステンレス鋼の検討

製 なお、研究に使用した「X線マイクロアナライザ」は日本自転車振興会の補助を受けたものであ ■ 14%でとを付記しておく。

~1) 山 川 宏 二:腐食防食の基礎

(2) 伊 藤 伍 郎:腐食科学と防食技術(コロナ社)

3)日本鉄鋼協会:鋼の熱処理(丸善)

*4) 日本金属学会:金属の化学的測定法

1.5) 内 山 郁:X線マイクロアナライザ(日刊工業新聞社)

6) 日本材料学会:腐食防食部門委員会資料 JUL.9.1973

(腐食研究と機器測定)

7) 島 津 製 作 所:島津科学器機ニュース VoL 22/Na.6 表面分析特集号

8)松川 ・西内:滋賀県立機械金属工業指導所研究報告(昭和56年度)

9) JISGO574-1970 : ステンレス鋼の硝酸・フッ化水素酸腐食試験方法

[a]0) JISGO575-1970 : ステンレス鋼の硫酸・硫酸銅腐食試験方法

バルブ材料の低温強度に関する研究

— 球状黒鉛鋳鉄(FCD50相当)における最適シャルピー衝撃試験方法について —

技 師 主查中山勝 **ラ**

1. はじめに

当所では、水道用弁(JIS B 2062,2063)について、これまで凍結実験を実施し、破壊に至るまで のバルブ製品の変形現象を調べてきた。しかし、その製品を構成している材料自体の各種使用温度 条件下(特に低温域)での材質特性が明確化されていないため過酷な環境を想定した強度評価は困 難なのが実状であった。低温貯槽用に使用される結晶構造が面心立方格子をもつステンレス鋼など は脆性破壊に対しての問題は少ないが、逆にあまり低温でもないのに、一率に低温用金属材料を使 用することも不経済であり問題がある。1)材料の要求される使用温度下での強度と必要十分な低 温靱性を満足すればよいのである。このような考え方でバルブ主要材料の1つである球状黒鉛鋳鉄 をみる時、低温用材としての一般的要求事項である使用温度における延性と衝撃値が適正に評価さ れることが必要である。JIS 22242には金属材料料衝撃試験方法が規定されているが、衝撃値の低い 鋳鉄、ダイカスト用合金については詳しい試験方法についての適用がない。したがって、このよう な材料の低温衝撃特性を知ることは新材料の開発、衝撃試験法の評価という点から重要な意味を持 つことになる。

本研究は、シャルビー衝撃試験機において球状黒鉛鋳鉄(FCD50相当)の低温脆性と試験温度 が常温(20°C)から低温(-20°C、-60°C)に移行しても、なおかつ安定性のある衝撃値を得る試 験方法についてを考察したものである。

2. 衝撃特性(衝撃値に影響する主因子) と強度評価の方針

2-1 試験片形状の影響

衝撃値は試験片の寸法・形状により変るが、試験片の長さおよび支持間隔を一定とすると、切 欠底の丸み半径は小さいほど吸収エネルギーは減少し、試験片がほとんど変形を起さないで破断 するような場合は他因子との関係が大きいため、丸み半径にはあまり影響しない。また切欠の深 さは深くなるほど衝撃値は小さくなる。これらの関係は、一般に次式で示される。

$$E = A (1 + Br) bhn$$

 $(2 \cdot 1 \cdot 1)$

r がほぼ一定の場合、

E = cbhn

 $(2 \cdot 1 \cdot 2)$

E:エネルギ kgf·m

b:幅 mm

h:切込み部の高さ mm

r:切込み底の丸み半径 mm

【A、B、n、c:材料により定まる定数

焼戻し温度が低いか、焼なましした材料では1の値は2より小さくなり、脆い材料では1に近づ -32- -く。切込み深さは2㎜以上あれば、衝撃値にはほとんど影響しないなどの記述が文献に見られる。 ロトのことから考えると、切込み部の高さ (ノッチ深さ)、試験片の幅、ノッチの形状が衝撃値 を変化させる要因になる。

2-2 熱処理条件の違い

繊維使用基準 ³⁾ として靱性を必要とするものに球状黒鉛鋳鉄の焼なまし材が示されている ように、鋳鉄品は必要に応じて焼なましその他の熱処理が施され使用される。球状黒鉛鋳鉄鋳物 の熱処理は、必要な機械的性質を満足させるための重要な製造工程の一つになっている。鋳鉄の 機械的性質は組織を構成する基地と遊離黒鉛によって支配され、遊離黒鉛の量と形状分布が、有 効断面の減少と切欠作用による応力集中から材料を弱める原因と考えられている。しかし、球状 黒鉛鋳鉄の場合、黒鉛か球状となっていることにより材料の脆弱性は減少し、その機械的性質は 黒鉛以外の基地の性質に近付くものと考えられる。4)

- したがって、強度を変化させるための熱処理は材料の主組織の変化と見なせよう。つまり、組 織の状態がフェライト地、パーライト地、マルチンサイト地だという具合にである。

ここで、低温用材として期待される一性質(衝撃値)について考えてみる。耐衝撃強さはその 組織と成分によりかなり影響を受けることが知られている。化学成分に関しては近年コバルトを 添加させるなどしての靱性向上の研究結果が報告されている。実験に用いた供試用材料は全て、 成分、鋳造が同じロットのものから採り熱処理を施したので、衝撃値を変化させる組織はおおれ ね3つに分けて考えることができる。

2-3 試験温度の影響

衝撃値は試験温度によっても変り、特に低温域では材料が脆弱化の傾向を見せるためその値は 大きく低下する。特にフェライト地の組織では常温から-60℃に温度が降下するに従い顕著に低 下する。4)

2-4 強度評価の方針

 $2-1\sim 2-3$ に示したように衝撃特性により、応力が高速で作用する時の材料の挙動を知る うとする場合、衝撃値に影響する各要因への配慮と、試験温度を変え実験する時の温度変化の割 合も同時に考慮する必要がある。

3. 実験計画

3-1 試験条件と加工条件の相違

実験計画に際して、シャルピー衝撃試験時の試験条件(試験法)と加工条件を明確に区別して 考える必要がある。今回、第1目的としている、より安定性のある衝撃値を得るための試験方法

を見い出す場合、扱うべき試験条件と加工条件と を分けて考えそれぞれの要因は何かをまず検討し てみることとした。

試験機は写真3-1に示すひょう量30kgf-mの シャルピー衝撃試験機を用いることにし、主要因 をハンマの持上げ角度とした。

また、試験片が取り出されてから衝撃までの時 写真3-1 30kgf·mシャルピー衝撃試験機



間と取出器具も要因となった。ただし、試験時には冷却又は加熱用装置で試験片を設定温度に十分安定させなければならない。金属材料衝撃試験方法 6)には、試験温度についての規定があるため、衝撃までの時間と取出器具により衝撃破断瞬時に実際上期待されうる試験片の温度は、設定試験温度と食い違うと予測できるため、試験片の温度変化に影響するものを要因として上げた。材料の検査に試験温度や試験片の寸法形状(切欠形状)などが指定されることからこれらも要因となる。その他に化学成分、熱処理、試験機の違いなど多くの要因があるが、本実験で対象としている材料および試験機は限定されているので、これらのその他の要因は今回の研究とは別問題として取り上げないことにした。

てこで、試験条件の要因と加工条件のそれとを分類すれば、(1)試験条件…ハンマの持ち上げ角度、ノッチ形状、ノッチ深さ、試験片の幅、庫内取出から試験までの時間、試料取出器具、試験温度 (2)加工条件…熱処理となる。試験温度と試験片の寸法形状は試験条件とは考えにくように思われ易いが、材料の検査時に指定される要因であることと、目的に合った試験法の組合せを知るために組入れた。

3-2 要因と水準の選定

3-2-1 特性値

解析の対象である目的特性はシャルピー衝撃値($kgf\cdot m/cd$)で($3\cdot 2\cdot 1$)式により計算されるエネルギーE($kgf\cdot m$)を切欠き部の原断面績 (cd)で除した値とした。 6)

 $E = W R (\cos \beta - \cos \alpha)$

 $(3 \cdot 2 \cdot 1)$

ここに W:ハンマの重量 kgf

R:ハンマの回転軸中心から重心までの距離 m

α:ハンマの持上げ角度 deg

β:試験片破断後のハンマの振上がり角度 deg

3-2-2 各種試験方法の組合せ

試験温度に関する因子は実験試料の材料特性を、試験片の寸法・形状の因子はJIS Z2202の4号、5号衝撃試験片を基準として試料の加工手順をできるだけ配慮し、実験因子と水準を表3

-2-2-1のように定めた。制御因子を実験計画法?)でいう直交表Li8の内側因子とし試験法の 異なる実験番号Na 1~Na18の組合せを作った。

3-2-3 供試材と実験方法

寸法25m×250m×400mのFCD 50板 (鋳造状態) に熱処理を施して表 3-2-3-1に示す I、II、IIの3種の供試材を作る。 I~IIの各々において 3-2-2で決められたNo.1~No.18の試験方法で繰返し3回として実験を実施した。

表3-2-2-1 実験因子と水准

	32 J Z Z		3	天顿因 了	Fと水準	
因子の種類		水	準 /	1	2	3
制	ノッチ形状		A	U	V	1 -
l mil	ハンマの持上 角度 d	げ eg	В	100	120	140
御	ノッチ深さ	mm (0	2	4
_	幅	mm]	D	5	10	15
因	庫内取出しか 験までの時間	ら試 I sec	3	8	13	18
子	試料取出具	F	7	金属	竹	ゴム
	試験温度	G		(常温) 20℃	(低温) -20℃	(低温) -60℃

表3-2-3-1 供試材の熱処理と主組織

供試材	I	П	Ш
主 組 織	フェライト	パーライト	マルテンサイト
熱処理条件	焼なまし、徐冷 (900℃で約2時間、 その後730℃で約4 時間保持、以降炉冷	鋳造状態	焼 入 れ、急 冷 (930℃状態から油冷 600℃で約 1 時間保 持後空冷

表3-2-3-2 供試材の化学成分(%)

供政権の化手成分(多)					
	供 試 材 (3種相当)	JIS参考値 1種~6種			
С	3.08	2.5以上			
Si	2.20				
Мn	0.68	_			
P	0.013				
S	0.020	0.02以下			
Ni	0.013	_			
Cr	0.026	_			
Mg	0.034	_			
Cu	0.018	_			

鋳造状態での化学成分および 機械的性質は表 3 − 2 − 3 − 2、表 3 − 2 − 3 − 3 のとお りであるが、Ⅱを鋳造状態の ままとし、Ⅰ、Ⅱは図 3 − 2 −3 − 1 に示した熱処理を施

表3-2-3-3 供試材の機械的性質

	47 0	引張試		験	硬 さ	
	記号	耐力 kgf/mai	引張強さ kgf/mi	伸び%	НВ	
供試材	FCD50 相 当	39	56	6	217	
JIS 参考値 3 種	F C D50	33以上	50以上	7以上。	170~ 241	

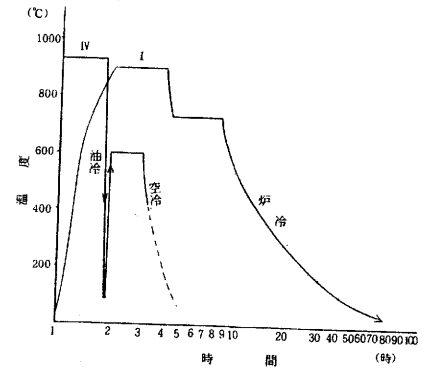


図3-2-3-1 熱処理条件

した供試材で、この熱処理により $\mathbf{I} \sim \mathbf{II}$ はロックウェル硬さ \mathbf{H} \mathbf{R} \mathbf{B} \mathbf{C} \mathbf{I} 、 \mathbf{II} 順に 72.0 ± 5.1 、 88.5 ± 5.5 、 107.0 ± 1.5 (符号±の数値は標準偏差を示す。)の硬度差をつけることができた。 図 3-2-3-2 に試験片を示した。試験片の冷却は、温度範囲が $-75\sim+100$ \mathbb{C} である。タバイエスペック(() 報製「小型超低温恒温器 \mathbf{M} \mathbf{C} -71 \mathbf{D} \mathbf{J} を使用した。

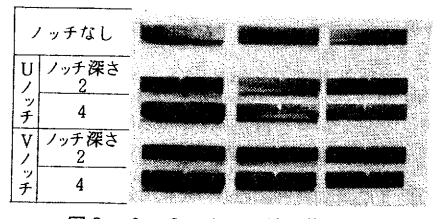
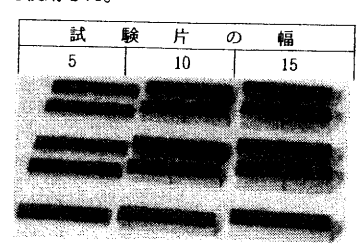


図3-2-3-2 試験片形状



4. 新しい特性値による実験結果の解析

4-1 衝撃値のSN比変換

この実験における衝撃値は、平均値が大きく、ばらつ **表 4-1-1** 供試材 I の実験データ きは小さい方が望ましいので、データを一種の望大特性 として考え、得られた3個の衝撃データを(4-1-1)式に より変換した。8)

$$\eta = -10\log \left(\frac{1}{n} \mathcal{E}\left(\frac{1}{yi}\right)^2\right) \tag{4-1-1}$$

Πはデータ数でyiはデータであるから、(4-1-1)式より

$$\eta = -10\log \left(\frac{1}{3} \left(\frac{1}{y_1^2} 2 + \frac{1}{y_2} 2 + \frac{1}{y_3} 2\right)\right)$$
(4-1-2)

(4-1-2)式として計算できる。例えば、表4-1-1に示し た供試材Iの実験結果から実験番号Nalのデータにより 計算すると、(4-1-2)のデンベル値 ηは、

$$\eta = -10\log \left(\frac{1}{3} \times \left(\frac{1}{4.03} + \frac{1}{10.84} + \frac{1}{9.24}\right)\right)$$

$$= 15.64 \text{ db} \succeq 43.50$$

他の実験番号についても、同様にしてデシベル値を求 めた。

4-2 分散分析

表4-2-1は分散分析のために、主効果を求めるた めの補助表である。

	実験番	衝	擊	値	η
	No.		kgf·m/c	ार्व	db
	1	4.03,	10.84,	9.24	15.64
1	2	12.46,	11.15,	3.08	13.98
1	3	10.69,	1.49,	9.79	8.05
1	4	1.58,	1.50,	1.42	3.50
ı	5	2.77,	2.11,	2.52	7.68
1	6	1.60,	1.31,	1.63	3.47
	7	2.29,	1.97,	2.03	6.38
	8	0.66,	0.96,	1.32	- 1.20
ı	9	1.86,	2.28,	2.37	6.58
ı	10	10.82,	2.07,	1.23	5.21
1	11	1.72,	8.07,	10.78	9.18
	12	12.32,	11.95,	9.05	20.65
ı	13	0.70,	0.75,	1.08	- 1.93
1	4	2.26,	1.74,	2.23	6.15
1	5	0.18,	1.01,	0.86	-10.44
1	6		2.30,	1	7.30
_	7	1.00,	1.44,	1.00	0.82
1	8	0.47,	0.51,	0.42	- 6.70
L			ät		94.32

表 4 - 2 - 1 補助表(供試材 I)

要	因				
		1	2	3	計
A	計	6 4.08	3 0. 2 4		9 4 . 3 2
В	計	25.28	4 0.06	28.98	9 4. 3 2
C	計	7 2.7 1	8.43	13.18	9 4. 3 2
D	計	3 6. 1 0	36.61	21.61	9 4. 3 2
Е	ā†	3 4 . 1 2	3 3. 7 9	26.41	9 4. 3 2
F	計	3 7.4 5	28.72	28.15	9 4. 3 2
G	計	6 4.00	19.42	10.90	9 4. 3 2

これから、各要因の変動を求める。

$$S_T = 15.64^2 + 13.98^2 + \dots + 0.82^2 + (-6.70)^2 - \frac{94.32}{18}^2 = 966.56$$
 (f = 17)

$$S_{A} = \frac{64.08^{2} + 30.24^{2}}{9} - cF = 63.62$$
 (f = 1)

$$SB = \frac{25.28^2 + 40.06^2 + 28.98^2}{6} - cF = 19.72$$
 (f = 2)

同様にして以下の効果について求めた。

$$Se = ST - SA - SB - SC - SD - SE - SF - SG = 144.88$$
 (f = 4)

供試材 II 、III の実験データについて I と同様に S N比の変換と S N比を新しい特性値とした主 効果の変動を求めると表 4-2-2 の分散分析表が得られた。この表で、 \bullet 印の小さな要因はプ ールして誤差分散を求めた。またF表で有意な要因を整理し、効果の大きな要因を寄与率で示す ことにより試験法検討の判断とした。なお、寄与率は(4-2-1)式により求めた。

$$P = \frac{Sn - \phi_n Ve}{ST} \times 100$$
 (4-2-1)
ここで P : 寄与率

Sn :要因の変動 øn :要因の自由度 Ve :誤差分散

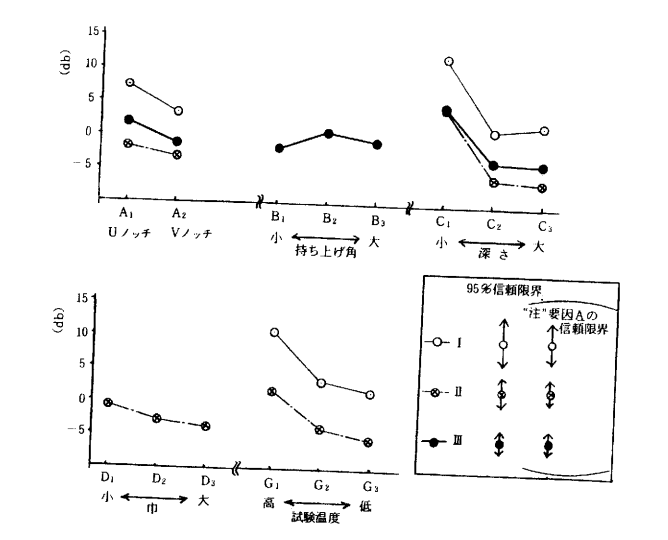
Sr :総変動

供 試 材	I					П			Ш				
Source	f	S	V	Fo	p (%)	S	V	Fo	P (%)	S	V	Fo	P (%
ノッチ A	1	19.72	• 9.86		-	9.10	• 4.55	_	_	18.78	9.39	2.29	3.26
持上げ角 B	2	63.62	63.62	3.74	4.82	12.09	12.09	2.18	0.90	9.17	9.17		1.50
深 さ C	2	427.68	213.84	12.57	40.73	453.77	226.89	40.95	60.77	247.16	123.58		73.68
th D	2	24.18	•12.09			26.82	13.41	2.42	2.16	6.66	• 3.33		
庫内からの取 出時間 E	2	6.33	• 3.17	_		7.35	• 3.68			6.69	• 3.34		
取出器具 F	2	9.06	• 4.53		_	1.33	• 0.67	_	_	8.38	• 4.19		
試験温度 G	2	271.09	135.54	7.97	24.53	180.41	90.21	16.28	23.24	6.49	• 3.24		
誤 差 e	4	144.88	36.22			37.60	9.40			20.97	5.24		
●印プール e′		204.17	17.01		29.92	55.38	5.54		12.93	49.19	4.10		21.50
合 計 T	17	966.56			100.00	728.48			100.00	324,30			100.00

5. 最適水準の推定と低温脆性に対する検討

5-1 最適水準の推定

表 4-2-2 で有意となった要因についてその効果を推定した。 F 表で95%信頼限界を (5-1-1)で示すものとして、各要因の影響を調べたのが図5-1-1である。



効果とデジベル値

このことを供試材 I について主効果と最適条件を調べてみると主効果とその信頼限界を計算す nıt.

となり、最適条件は<u>Aı Cı Gı</u>の組合せが考えられる。

また、この組合せによるSN比の推定値は、要因の平均値を用いれば、

$$(A-1)+(C-1)+(G-1)+1=A+C+G-2$$
より $\mathcal{A}=\overline{A_1}+\overline{C_1}+\overline{G_1}-3\times m$ $(m=総平均)$ $=\frac{64.08}{9}+\frac{72.71}{6}+\frac{64}{6}-2\times\frac{94.32}{18}=19.42\,\mathrm{db}$ が期待される。

 \overline{A}_1 、 \overline{C}_1 、 \overline{G}_1 は各要因におけるSN比の高い水準の平均値を表している。 $\widehat{\alpha}$ のSN比の95%信 頼限界は、

$$\pm \sqrt{F \times V_e \left(\frac{1}{ne} + 1\right)}$$
= $\pm \sqrt{5.12 \times 17.01 \left(\frac{1+2+2}{17} + 1\right)}$
= $\pm 10.62 \text{ db}$

であるから、供試材Ⅰの最適組合せによる試験では

 $\mu = 19.42 \pm 10.62 \text{ db}$

という高いSN比が推定される。これは、表 3-2-2-2の実験番号Na $1\sim$ Na 18で最も高いS N比20.65 dbを示している実験番号№12と同程度に良い試験組合せと考えられる。供試材Ⅱ、Ⅲ についても最適試験組合せとその組合せにより期待されるSN比の推定値は次のようになる。

供試材Ⅱの場合、

最適試験組合せ A1 C1 D1 G1

SN比の推定値 $11.51 \pm 6.33 \text{ db}$

供試材皿の場合、

最適試験組合せ A₁ B₂ C₁

SN比の推定値

 $6.65 \pm 5.21 \text{ db}$

ことに、 $\mathbf{I} \sim \mathbf{I\!I}$ の最適試験方法が決められたわけであるが、組合せた \mathbf{A}_1 (ノッチ形状 \mathbf{U})と \mathbf{C} 、 (ノッチなし)が選定されたことはもともと材質的に大きなばらつきがあることによると推測で きる。つまり、ばらつきの度合いが試験片にノッチをつけないことで衝撃破断時のノッチがある 場合とは異なる試験片内の応力分布を与えるため、互いにばらつきが打消されるものと考えられ る。この結果、SN比の大きな試験法の組合せとなって選定されたと思われる。

したがって、衝撃値が小さくばらつきの大きい材料はこのようにして試験すれば安定性のある データが得られることを意味していると思われる。逆に、衝撃値が強く安定性のあるものは、さ らにもう一度試験法の研究と確認を必要としていると考えられる。

5-2 低温脆性に対する検討

各種試験法の相違は望大特性値として計算したS N比の変動として図 5-2-1 で表わされる。 図 5-2-1 で分るように供試材 I (実験番号Na.11、12) とII (Na.2) の S N 比の傾向を除いて $I\sim \Pi$ は各実験に対して同様なS N比の変動傾向が見られる。このことは、 $I\sim \Pi$ の低温脆性を 同時評価しようとする場合、同─試験で**I~Ⅲ**の衝撃値を比較することの妥当性を意味している ものと言えよう。ここで、5-1で得られた最適試験条件下で実験して $\mathbf{I} \sim \mathbf{II}$ を比較してみる必 要も生じてくる。 この時、 I ~Ⅲ各供試材それぞれ最も高いSN比が期待できる試験法で実験し、 それによって得られた衝撃特性値を比較するのが望ましい。しかし、今回のこの実験計画では試 験温度を制御因子に選んでいるので、求められた最適試験条件で、完全な形での試験組合せによ る低温脆性を知る事はできないため、試験温度要因Gを除いた数種の寄与率の高いI~皿に共通 な組合せにより比較する事を試みた。表 4-2-2 から A_1 C_1 の組合せを選んで低温脆性につい て検討してみることが、要因 A_1 C_1 の寄与率の面からも $I \sim \mathbf{II}$ に共通して言えることであり、S

N比も高いので意味があると考えられる。したがって、図5-2-2、図5-2-3を作成し、この図をもとに熱処理条件の違いによる低温脆性の相違に関する考察とした。

図5-2-2はA1C1の組合せによる試験温度と衝撃値の関係であるが、図ではデータ不足により特異的な衝撃値の影響が大きくなり、目的とする低温脆性を知る事ができない。そこで試験温度毎に整理して図5-2-3を得た。この図で分るように、Ⅲの現象が予想に反する以外は明らかに試験温度が20℃から-60℃に移行した場合、低温による脆性の影響も含めて衝撃値は低下傾向にある。-60℃での衝撃値は常温時に比べてIで約60%、Ⅱで約30%の低下である。しかし、正確には脆化現象の割合は、要因B(ハンマの持上げ角)、つまり試験時の衝撃力が違うため(衝撃力の変化が衝撃値に与える程度を定量的に評価できない以上)、低温脆性のみによる影響と考えることは危険である。特にⅢの場合、要因Bが有意となっているので、この要因が図の結果に関与していることも十分予想される。図

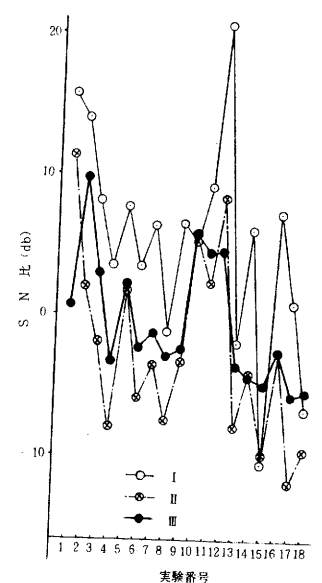


図5-2-1 実験番号とSN比

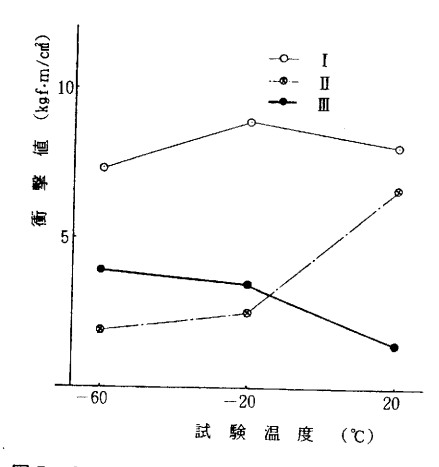


図 5-2-2 A₁ C₁ の組合せでの衝撃値

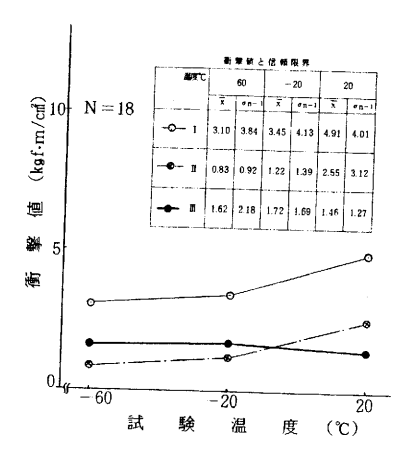


図5-2-3 試験温度と衝撃値

さて、ここで I ~Ⅲの衝撃値の違いを常温での試験データについて図から判断すると、焼なまし徐冷材の I と焼入れ急冷材の Ⅲの明確な衝撃値の違いが認められる。主組織がフェライトである I 供試材の方がマルテンサイト組織の Ⅲより約3.4倍衝撃値が高い。また、パーライト基地組織

の場合はその中間的衝撃値が得られる事が分った。フェライト地の場合の方が他の場合より衝撃 値が高く低温脆性の著しいことは多くの実験結果で示されているので、この点において本実験結 果の解析でも一致した結果が得られた。

6.ま と め

球状黒鉛鋳鉄(FCD50相当)に適当な熱処理を施して得た基地組織が異なる3種の供試材、I(7 = 54 + 1)、II(8 = 54 + 1) について、常温から低温(-20 にったり、実験計画法の直交表 L_{18} を使用して組合せた各種の試験方法で衝撃試験を行った。測定値として得られる衝撃値をデータとし、一種の望大特性によって算出されるSN比を新しい特性値にとり分散分析を行った結果、次のような目的に対する結論が見い出された。

(1) 最適試験方法について

分散分析で寄与率が有意となった要因について高いSN比が期待される試験方法の組合せを調べると、供試材 I、IIの順に A_1 C_1 G_1 、 A_1 G_1 G_1 、 A_1 G_2 G_1 、 G_1 G_2 G_3 G_4 G_5 G_6 G_7 G_8 G_8

(2) 低温脆性について

最適試験法が調べられるように実験計画で試験温度を制御因子にわりつけたため、詳細な低温脆性現象については今後の検討が必要となった。しかし、衝撃力(ハンマの持上げ角)の違いが I ~Ⅲの衝撃値に同程度に影響するものとすれば、フェライト基地の I の方が他の II、II の組織に比べて低温脆性は顕著であると言え、既に知られている実験結果と一致していることが分る。また常温時の衝撃値は組織により大きく変り、特に I がⅢの約3.4倍を呈する事を知った。

以上、上記1)、(2)のように化学成分は同じであるが熱処理条件が異なる場合の最適試験法を調べ、その結果を利用して低温脆性についても検討を行ってみた。しかし、試験温度の寄与率の大きさは材料の低温脆性のため予想していたことではあるが、試験片の形状(ノッチ深さの寄与率が高く、試験片の幅も供試材IIでは有意となっている。)の影響が大きい事は試験をする時重要な問題となり、強度を比較する場合、特に注意が必要となる。このため、化学成分やその他の材料強度に影響する要因も条件に含めて本研究と同様な実験計画で試験法を検討してみることが課題となる。この試験法が定まり、加工方法の違いについて調べた後、始めて適切な低温脆性現象(温度変化が静的な場合、動的な場合など)が評価できると考えられる。また、試験片の衝撃破断面についての解析も必要と思われるので別の機会に検討したい。

終りに本研究を実施するに際して、実験計画の立案に適切なご指導とご助言を賜った工業技術 院計量研究所・矢野宏計測機構課長ならびに技術的な指導と協力をいただいた指導所の水原所長 と職員の皆様に厚くお礼申し上げます。

なお、研究に使用した「小型超低温恒温器」は日本自転車振興会の補助を受けたものであることを付記しておく。

〈参考文献〉

- 1) 高 野 真 延:配管技術 Vol. 24. Na11 (1982)
- 2) 日本材料学会編:金属材料強度試験便覧(義賢堂),(1977)
- 3) 千々岩健児:鋳造品の設計と材質(朝倉書店), (1965)
- 4) 日本金属学会:球状黒鉛鋳鉄の理論と実際(丸善), (1966)
- 5) 愛知工技センターニュース,第293号, (1983)
- 6) 日本工業規格, JIS Z 2242, JIS B 7722
- 7) 計量管理協会編:統計手法と計測上、下,(コロナ社),(1977)
- 8) 田 口 玄 一:標準化と品質管理 Vol. 36. Na 1 (1983)

マイコン制御による自動化に関する研究(その2)

. 緒言

地場産業のバルブ業界においてもNC工作機械の普及はいちじるしく、特に下請加工の小企業で の導入がきわだっている。

この様な状況下で昨年度より実施した汎用旋盤のNC化をさらに飛躍させるために、昨年の結言にもふれた ①ワンボードマイコンへの組替え ②フィードバック制御による高精度化 ③省力化の推進、の3項の中からワンボードマイコンへの組替え・マイクロシーケンサの導入および省力化の推進を図る目的で改造・改良を行った。

対象加工物について、昨年はJIS Z 2201に規定されている8号試験片(8C)に限定して実施したが、今年は青銅鋳物や球状黒鉛鋳鉄品等に使用される4号試験片も加工できる併用策を最重点に実施した。

2. 制御装置の概要

2-1 旋盤の改造

基本仕様における変更は心押台のセンタ出し入れを油圧制御に、送りシリンダの位置制御センサとして4回路仕様のリミットスイッチを昨年の3個から5個に増設した。改造状況を写真2-1に示す。基本仕様を表2-1に、旋盤の座標系を図2-1-1、8号および4号試験片の寸法とセンサ位置の関係を図2-1-2に示す。

旋盤の基本構成および油圧回路を図2-1-3、図2-1-4に、タイムチャートを図2-1-5に示す。

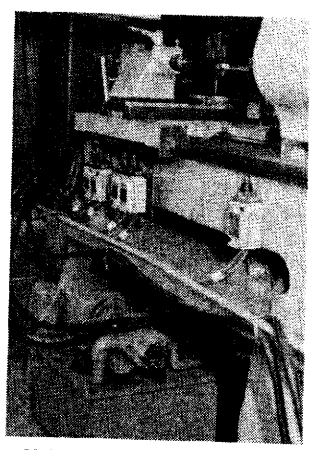


写真2-1 改造状況

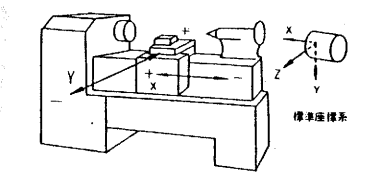
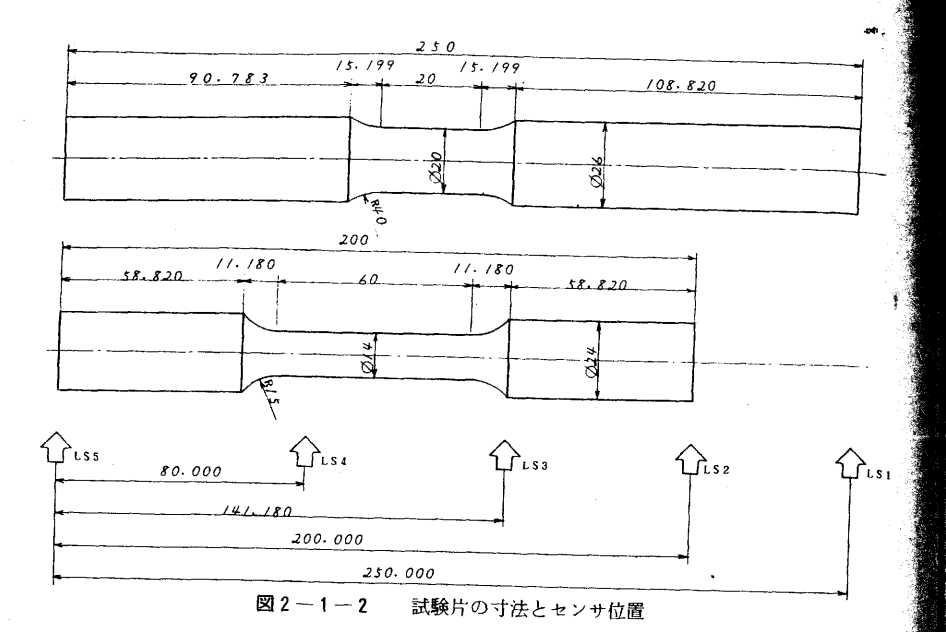


図2-1-1 旋盤の座標系

	表 2 一 1 基本	仕 様
項目	せ マイコン制御	提 油压铁钢
新 御 軸 同時制御軸数	X (送り方向)Y (切込み方向) 间 時 2 軸	
1	X . Yada 78 ^{RE} ∕uin	4800 mm / min
切削送り送度	廢線部39 ^{RE} /min 曲線部26 ^{ma} /min	260 mm / min
移動距離	X 軸~70 лл Y 軸~45 лл	250==



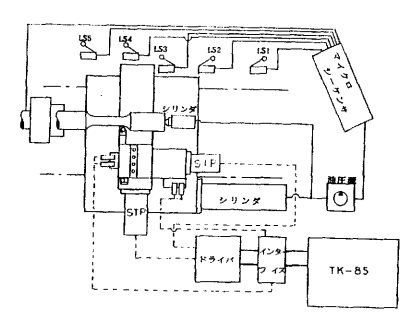


図2-1-3 改造旋盤の基本構成

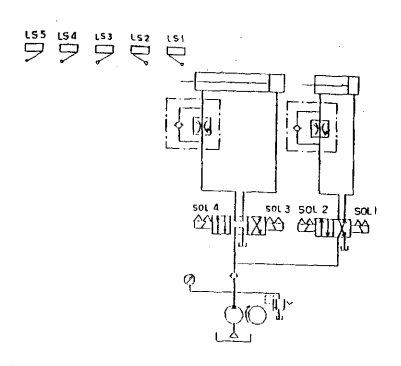
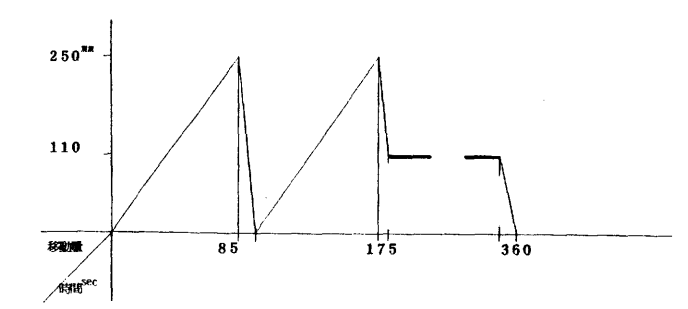
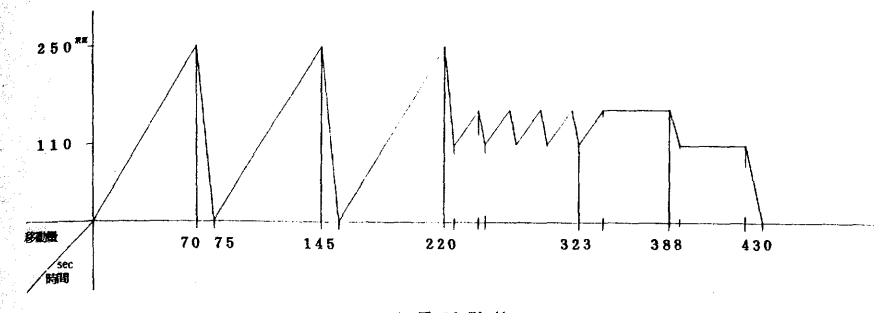


図2-1-4 油圧回路



8号試験片



4 号 試 験 片 図 2 - 1 - 5 油圧制御タイムチャート

2-2 マイクロシーケンサ

プログラマブルコントローラ (PCと呼ぶ)と呼ばれてすでに久しいが、マイコンとの対話形式の制御を行う場合、特に電気制御回路にある程度の変更に即応できるだけの十分なフレキシビリティが求められる。

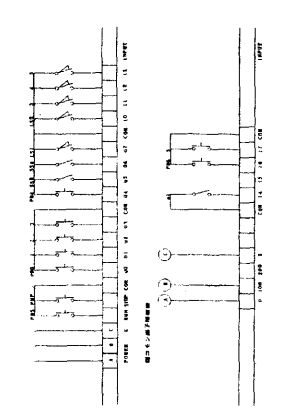


図 2 - 2 - 1 入力ユニットの接続

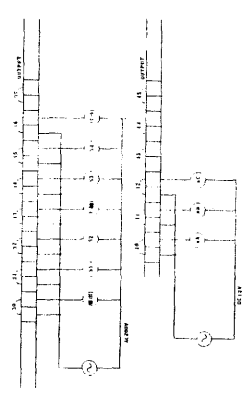


図2-2-2 出力ユニットの接続

この様に自由度の高い電気制御回路となれば、リレーや無接点リレーのようなハードロジック で構成する制御回路では不可能である。そこで昨年のハードロジックからPCへの転換をメイン テーマとして回路設計、仕様変更をやりやすくするために、最もポピュラなストアードプログラ ム方式の三菱電機製マイクロシーケンサF-20シリーズを使用した。

ストアード方式はデジコン(デジタルコンピュータ)と同様な構造を持ちRAMに書き込れた プログラムを頭から順番に読み出して、命令の解釈、実行を行なうもので、プログラムの最終ス テップまでの実行が終ると直ちに先頭ステップに戻り、再び頭からプログラムの読み出しを行う という繰返し動作を行うもので、RAMに書いてあるプログラムを変更するだけで制御動作が変 わることになり、変更がきわめて容易である。

使用したマイクロシーケンサの基本仕様を表 2 - 2 に、入出力ユニットの接続状況を図 2 - 2 -1および図2-2-2に示す。

項		目							
					F-20形基本ユニット	-			
					F-10ER形増設ユニット	— · · · · · · · · · · · · · · · · · · ·			
难 娇	_	入力電圧		モ	E AC100~110V(85~110%) 50/60Hz				
	20%	消		K	基本ユニット HVA以下	基本、増設各ユニットに電源表示付			
	4		_		増設ユニット 8VA以下	端子台構造			
人力	-	点		1	基本ユニット 12点+2点(運転停止用)	端子台構造			
					増設ユニット 4点(一括コモン)	一括コチン(コエン牌フュキ)			
	-	入力	力機器形態		無電圧接点あるいはNPNトランジスタオープンコレクタ				
	1	4		ð	8 mA/DC24V 7 mA/DC 20V	入力電源内蔵			
	Ι,	点		ž	基本ユニット 8点	端子台構造			
	L				増設ユニット 6点(全点コモン分離)	i			
出 オ	7				無電圧1 a 接点出力	カード交換は基本,増設共8点単位			
	1	11.	- 9	イブ	電流	全点独立コモン			
	_				2A/点/DC24V,AC100V,AC200V,cos #=1	開路端れ電流 2 mA/AC2200V			
917		i.		數	8点(基本ユニット内)	オンディレータイマ			
	85			限	0.1~99秒	設定値2桁。最単位0.1秒			
カウンタ	fr.	<u> </u>		数	8点(基本ユニット内)	リセット優先			
	11		数	値	1~99カウント	計数値停電保持			
前助リレー	点			数	64点 (其十二) ()	内16点はバッテリにより停電保持可			
]	方			式	ストアードプログラム方式	ファブにより庁嘱休侍り			
	命			令	リレーシンボル方式 (14種)				
					C-MOS RAM (内蔵)	甚太 3 7 上中			
*	*	-	ŧ	IJ	P-ROMカセット (別売)	2. F. 7. H.			
	_				ステップ容量 320ステップ				
	速				100 # sec/ステップ (平均)				
	à	2	己龄		CPUエラー表示				
				101	バッテリ電圧低下表示 - ま	基本ユニット内			
					F-20P形プログラミングパネル	RAMへの書込み, オンラインモニタ付, アドオンタイプ			
ログラ	ì	ミング機		器	F-20H形プログラムローダ (C,D,P)	RAM, ROM, CMT間の転送, 比較, 回路図作成			
						RAM, ROM間の転送、比較、アドオンタイプ			
]	×	ッチ		ų l		本ユニット内			
ļ_						女電寿命 7年			
	解	伴	対	策	20msec以下の瞬時停電に対して運転継続	and the same of the			
					司进温度 0~55℃				
	環				周囲湿度 85%RH以下(結びしないこと)				
					計振動 10~55Hz, 0.5∞m(最大2G)				
				亢	C500V 5 MODUL	子一括/アース間			
.	絶	緑	d l	Ŧ	1 (1500V 1 42##	チー括/アース間			
1	1 1	ズ	耐力		DIGIV 1 maga	イズシミュレータによる			

2-3 マイコン制御部

2-3-1 システム構成

図2-3-1は全体の旋盤制御システム 構成である。昨年度は、制御用マイコンと してパーソナルコンピュータMZ-2000を用 いていたが、今年度は、NECのワンボー ド・マイコンTK-85に変更している。T K-85のI/Oポートとしてプログラマブル周辺 インターフェイス8255を自作し、入力ポー トであるポートA、ポートCはプルアップ した。

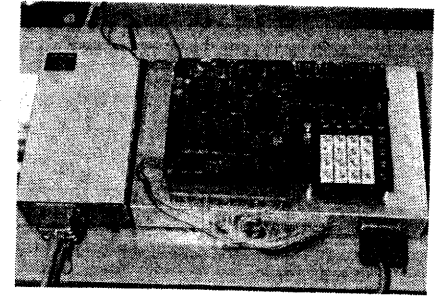
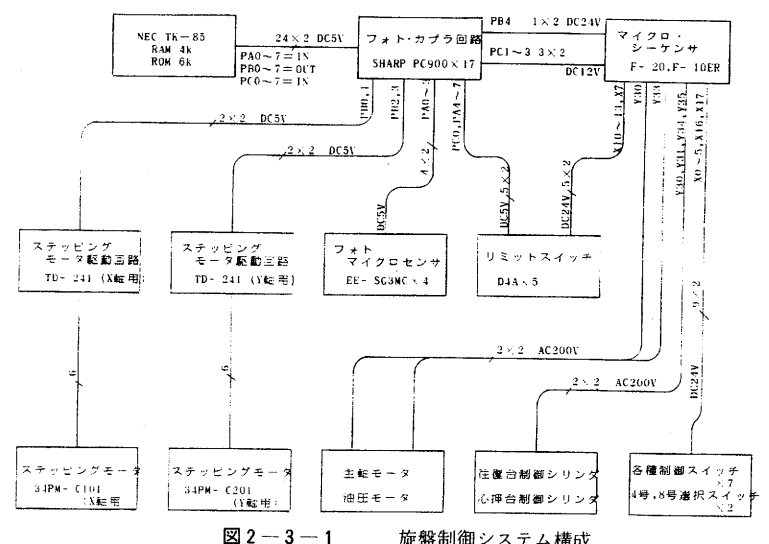


写真2-3-1にマイコン制御部を示す。

写真2-3-1

マイコン制御部



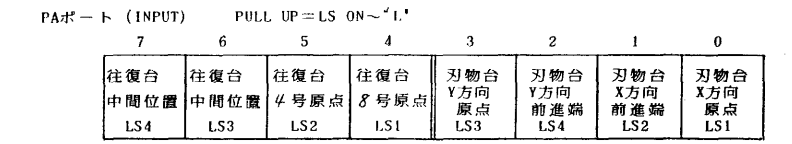
旋盤制御システム構成

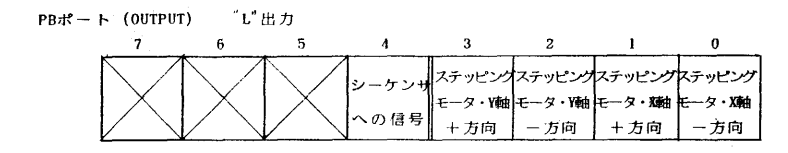
2-3-2 RAM回路の増設

TK―85は標準でRAMが1kしか付いておらず、しかも、モニタのスタック・ワーキン グェリア等にも使われるので、実質ユーザがプログラムできるのは913バイトでしかない。 デバッグなどはRAM上で行う必要があるので、プログラム容量等を考慮し、3kバイトの R AM増設を行った。TK-85カードエッジより出力されている74LS 139のアドレス・デ コード信号を利用し、RAM2114 6個により行った。アドレスは8400H~8FFFHであ る。

2-3-3 8255ポート構成

8255はモード0で使用し、ポートA、ポートCがINPUT、ポートBがOUTPUTとした。





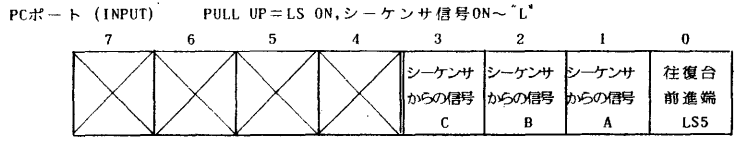


図2-3-3 8255入出力ポート接続配分

(コントロールワード=99H) 各ポートの接続配分を図2-3-3に示す。ポートAの0~3 ビットは、刃物台の原点および移動限界位置を知るフォトマイクロセンサの入力信号で、"し" レベルでセンサONである。PA2とPA3の入力は、配線ミスから逆入力となってしまったが、 ソフト上でビット操作を実施し相互の信号交換をした。ポートAの4~7ビットおよびポート Cの0ビットは、往復台の移動停止位置を示す5個のリミットスイッチ入力で、"L"レベルで スイッチONである。このリミットスイッチは4回路仕様(OMRON D4A)で、シーケンサへ の入力と同時ON/OFFができる。今回のプログラムでは、往復台の全動作においてシーケンサ とマイコンの同期が図れたので読み込みは行っていない。ポートCの1~3ビットはシーケン サからの信号で、この組合せは、

(1) PB2, PB3

ON = START

(2) PB1, PB2

ON=4号試験片加工

(3) PB1, PB3

ON=8号試験片加工

(4) PB1

ON=バイト切込みおよび往復台停止

(5) PB1, PB2, PB3 ON=緊急停止

の5 通りとした。

ポートBの0~3ビットは、ステッピングモータへのパルス信号出力である。また、ポート Bの4ビットはシーケンサへの出力信号で、シーケンサからの信号に基づいたマイコンの処理 が終了したことを伝える信号である。

2-3-4 メモリマップ

表2-3-4にTK-85システムメモリマップを示す。モニタのMASK ROM 2K, EPROM

6K, RAM4Kという構成である。制御プログラムは、1000H~17FFH番地にROM化し、ワ ーキングエリアとして、8C00H~8FFFH番地を割付けた。

表2-3-4 TK-85メモリマップ

アドレス	容量(バイト)	ROM or RAM	備考
FFFFH /	28 k		未使用
9000H 8FFFH { 8COOH	J k	RAM	増設RAM No3 制御プログラム・ワーキング
8 B F F H	1 k	RAM	増設RAM No2 デバッグ時などに使用
87FFH	1 k	RAM	増設RAM No.1 デバッグ時などに使用
∤ 83B1H	5 5	RAM	モニタ・ワーキングエリア
83C8H	2 4	RAM	RSTジャンプテーブル
83B0H / 8391H	3 2	RAM	モニタ・スタックエリア
8000H	913	RAM.	デバッグ時などに使用
7FFFH / 2000H	2 4 k		未使用
1 F F F H	2 k	EPROM	ユーザーズ・エリア(未使用)
17FFH / 1000H	2 k	EPROM	制御プログラム 円弧補間プログラム
0FFFH { 0800H	2 k	EPROM	ユーザーズ・エリア (未使用)
07FFH / 0000H	2 k	MASK ROM	TK- 85 モニタプログラム

12、2、10、16、雑音対策

昨年度の研究で旋盤主軸モータからと考えられるノイズを拾いパソコンが誤動作したの 今年度新たに次の雑音対策を実施した。

- (1) 各信号ケーブルを、すべてシールドケーブル化した。シーケンサとの信号伝達は D (1) V, 24 V で、電流も 7 mA~2 A 程度流れるのでシールドケーブルは用いていない。
- (2) 入出力信号は、負論理構成とした。
 - (3) RAM基板、I/O基板、フォトカプラ基板等をアルミシャーシ内に納めた。(埃、切粉) どから保護するためでもある)

3. ソフトウェア

3-1 シーケンサのソフトウェア 図3-1-1にシーケンサの

コントロールフローを示す。 シーケンサの利点として、

次の4点があげられるが、こ

の中でも最大の利点は、

- (1) リレーやタイマ数をあまり制限することなく、 複雑な制御回路でも構成 が可能である
- (2) カウンタやシフトレジ スタが利用できる
- (3) ハードロジックに比べ 大幅に小形化できる
- (4) キー操作により制御回 路の変更ができる

リレーやタイマ数があまり制限されないことや、キー操作によって制御回路の変更およびデバッグが簡略化される点であり、今回の改造においてもこれらの利点から最大の効果をあげることができた。

シーケンサのソフトウェア はカタログ手順にしたがって

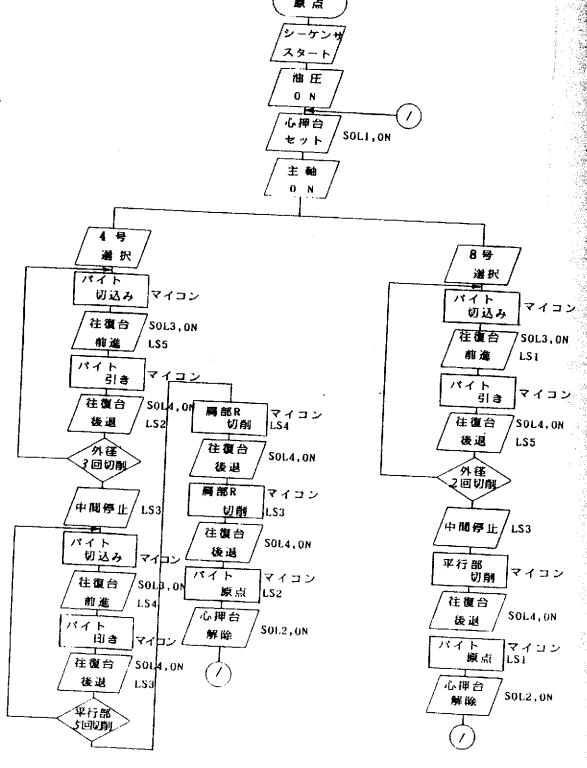


図3-1-1 シーケンサのコントロールフロー

次のとおり実施した。これらの手順の中で特に考慮しなければならない注意点を合せて列記する。

3 3-1 入出力の割付け

{リミットスイッチ 5個 セレクトスイッチ

入力信号 1個(2接点) 入力信号 押釦スイッチ 7個

| 押釦スイッチ 7個 | マイコンからの入力信号 1個

* これら入出力の割付けを図3-1-2に、制御ボックスの全景を写真3-1-1に示す。

※注意点~使用するすべての入力信号 接点は a 接点(常開接点) を使用する。

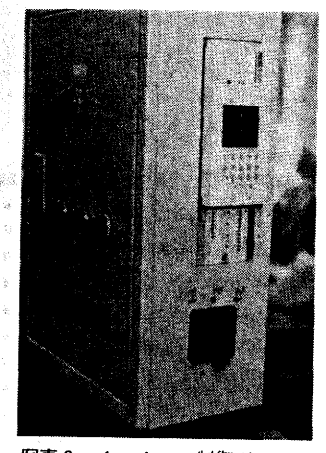
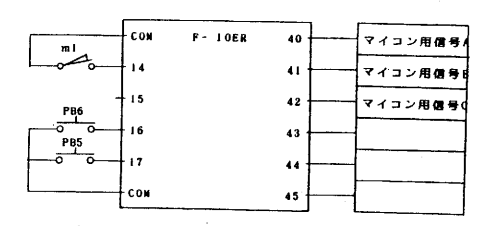
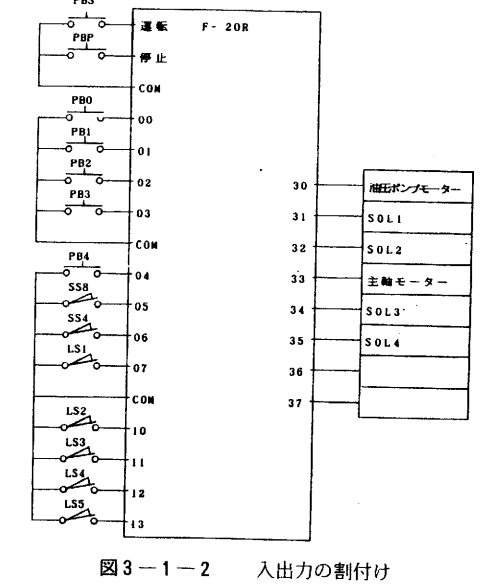


写真3-1-1 制御ボックス





3-1-2 シーケンス回路の設計

シーケンサのもつ機能を最大限に利用した回路設計が必要で、特にカウンタ・シフトレジスタの有効な利用が最大のポイントである。今回の回路設計においても、当初マイコンへの出力信号をタイマ接点を活用した回路を組んだところ、結果的には不充分な回路でステップ数が増加するにしたがって誤動作を生じ、デバッグの段階でシフトレジスタの活用に変更した。これらのシフトレジスタ回路およびカウンタ回路の一部を図3-1-3、図3-1-4に示す。

※注意点~シーケンサの保有する数多くのリレーおよび補助リレーを使用して二重コイルの使用をなくす。二重コイルの使用を行うとコイル動作が不定となり誤動作を生じる。

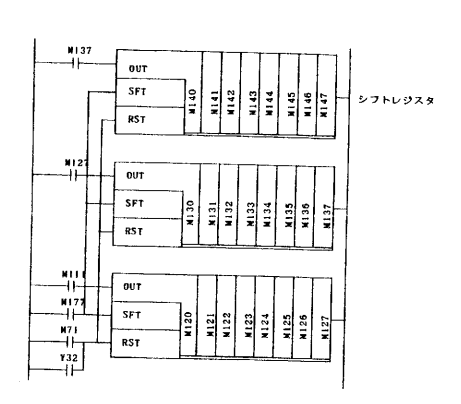


図 3 - 1 - 3 シフトレジスタ回路

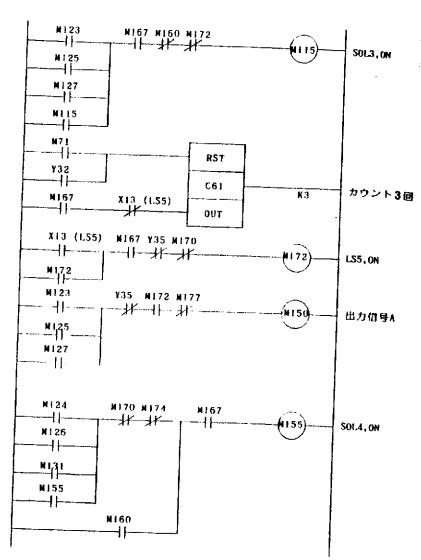


図3-1-4 カウンタ回路

3-1-3 コーディングシートの作成

プログラミング時に便利なプログラム表として作成するが、プログラム命令を熟知すれば直接プログラムすることはたやすく、コーディングシートへの記入まちがいを防ぐうえからも有用である。

図3-1-5に回路とコーディングの一部を示す。

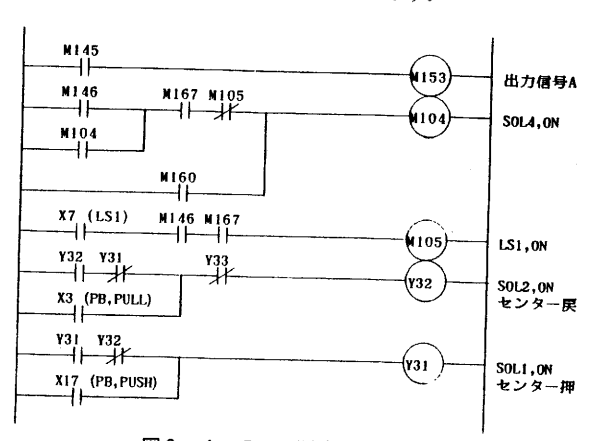


図3-1-5 回路とコーディング

命令 要素番号 000 M145 001 OUT M153 002 LD M146 003 OR M104 004 AND M167 005 ANI M105 006 OR M160 007 OUT M104 800 LD X 7 009 AND M146 010 AND M167 011 OUT M105 012 LD Y32 013 ANI Y31 014 OR хз 015 ANI Y33 016 OUT Y32 017 LD Y31 018 ANI V32 019 OR X17 020 OUT Y31

3-1-4 モニタリングとデバッグ

プログラム書込み後、それぞれのステップ動作の変更・修正および確認を容易にするモニタ

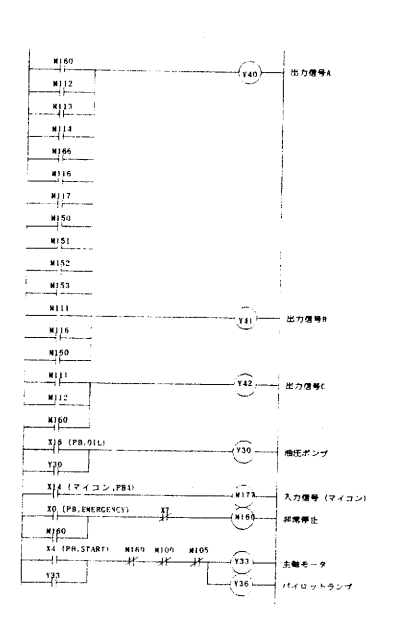
-52-

機能を備えているが、これらは試運転後のデバッグに最大の効果をあげた。各動作段階毎にEND命令を入れ制御回路のチェックを行う上でハードロジックのように回路の結線変更をすることなく、命令の削除や挿入によって回路の作成や変更を繰返しながら目的にあった回路へのデバッグが短時間で実施できることは、回路設計者やオペレータにとって大へん便利で大巾な時間短縮と労力の低減から有効なシステムである。

完成時の全回路図を図3-1-6に、改造後の全景を写真3-1-2に示す。



写真3-1-2 改造後の全景



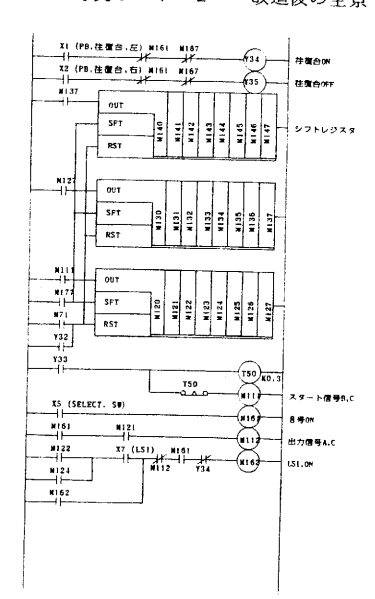
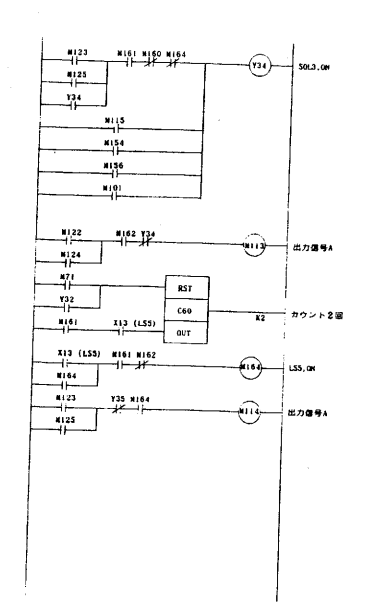
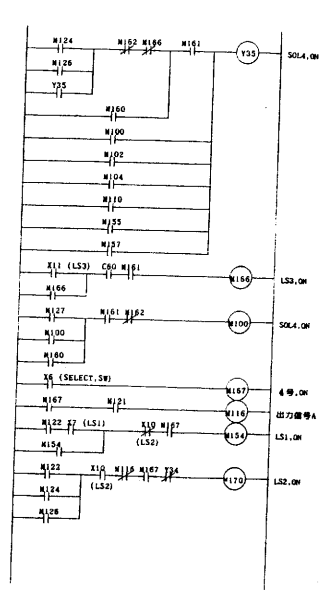
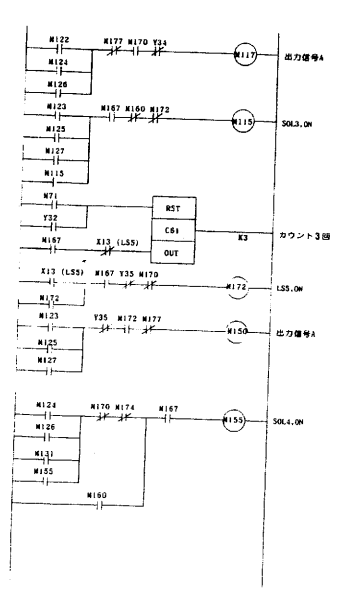


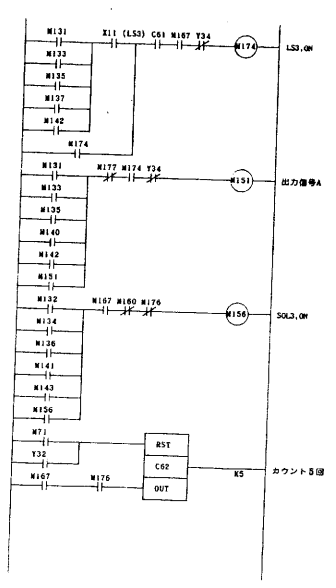
図3-1-6 電 気 回 路 全 図 (1)





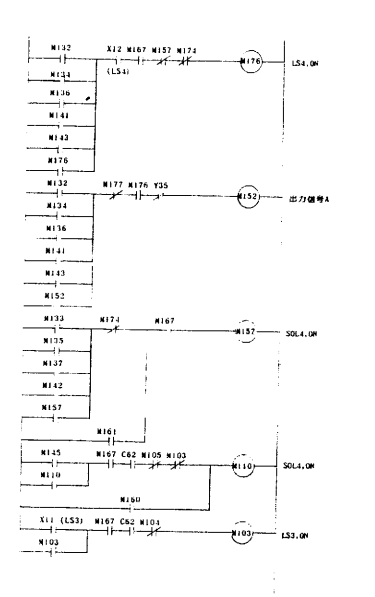
電 気 回 路 全 図 (2)

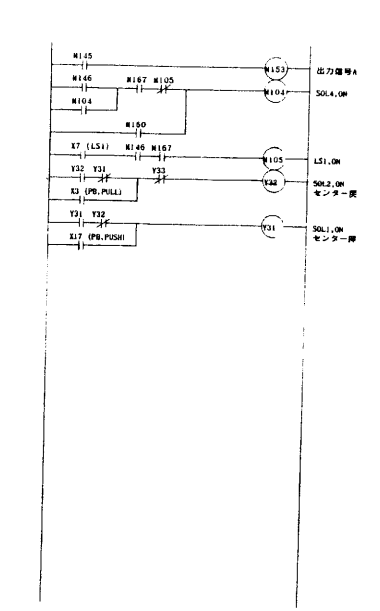




電 気 回 路 全 図 (3)







電 気 回 路 全 図 (4)

3-2 マイコンのソフトウェア

3-2-1 70-5+-1

プログラムは大きく分けて次の8ルーチンから成っている。

- (1) メインプログラム
- (2) バイト初期位置設定サブルーチン
- (3) マニュアル操作サブルーチン……TK―85のキー操作による刃物台の移動
- (4) R部切削サブルーチン……円孤補間データによるR部の切削
- (5) シーケンサとの信号伝達サブルーチン
- (6) ステッピングモータ駆動サブルーチン
- (7) バックラッシュ補正サブルーチン
- (8) 緊急時動作サブルーチン

図3-2-1 に、フローチャートを示す。フローチャート入力信号中「マニュアル?」は、 TK-85 "WR/ENT" KEYによりマニュアル切換を行い、他の入力信号はすべてシーケンサからの信号パターン読み込みである。また、「終了信号」はシーケンサへの出力信号である。

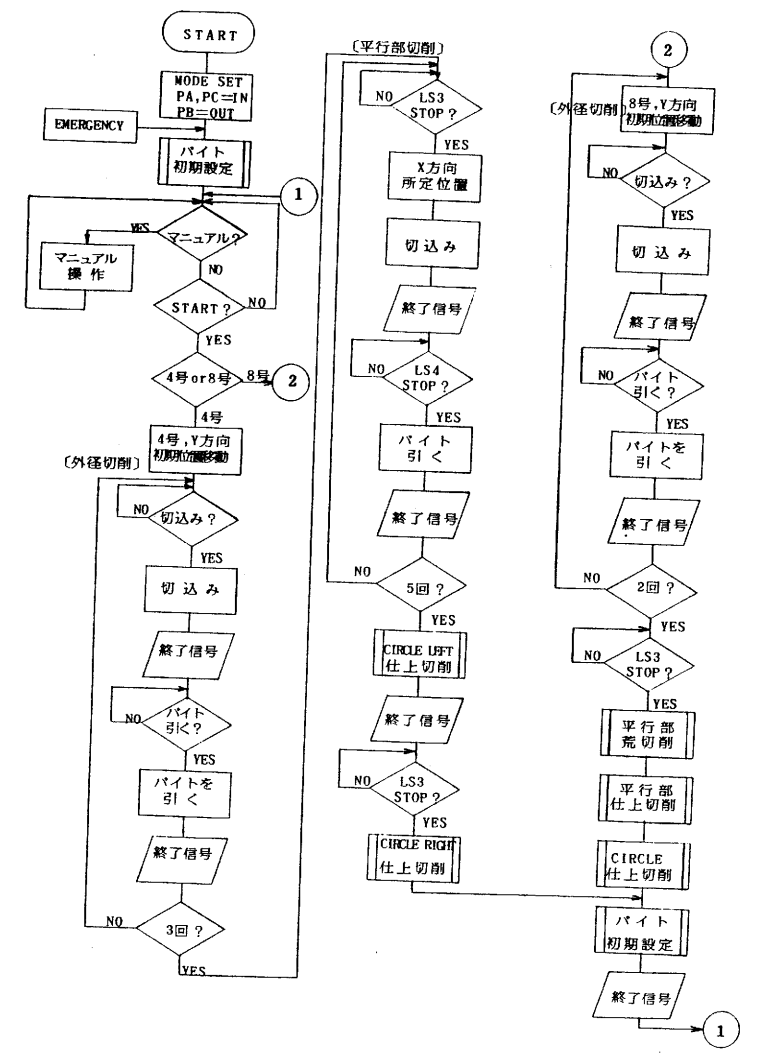


図3-2-1 マイコン・フローチャート

3-2-2 シーケンサとの信号伝達

シーケンサからの信号は2-3-2項で示した3ビットのリレー接点出力でフォトカプラを介してマイコンに入力した。マイコンでは、チャタリングを考慮した読み込みを行い所定の処理(ステッピングモータ駆動)を実施した後、シーケンサへポートB4ビットから信号を約1.5秒間出力した。この信号はフォトカプラを介しマイクロ・リードリレーON/OFF出力となる。シーケンサでは、このパルス立上がりを検知しシフトレジスタを行っている。

3-2-3 円孤補間

図3-2-3(A)のような円孤の方程式は、

 $X^2 + Y^2 = R^2$

である。任意の点 Pi(Xi, Yi) とおくと判 別式は次式となる。

 $D = Xi^2 + Yi^2 - R^2$

D>0 のとき Piは 円孤の外側

D=0 のとき Piは 円孤の線ト

D < 0 のとき Piは 円孤の内側 となる。

したがって、

D≥0 ならば X方向に1パルス

D<0 ならば Y方向に1パルス

のようにパルスを発生させ円孤補間を行っ た。

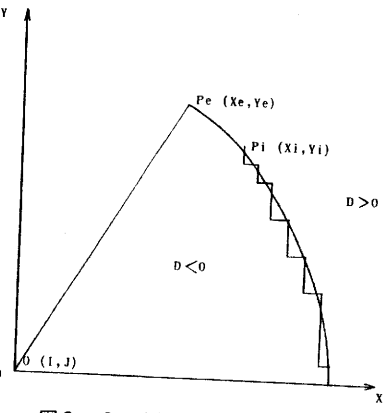


図3-2-3(A) 円孤補間

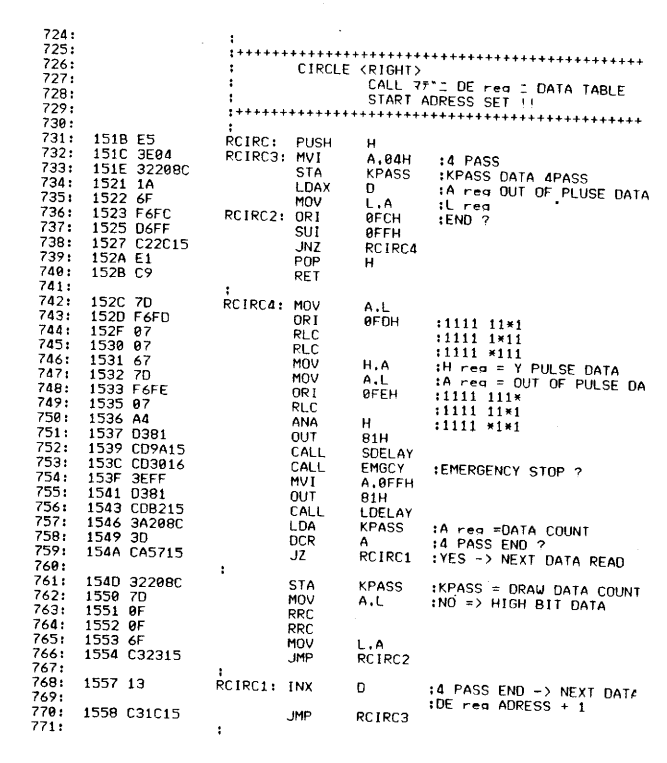


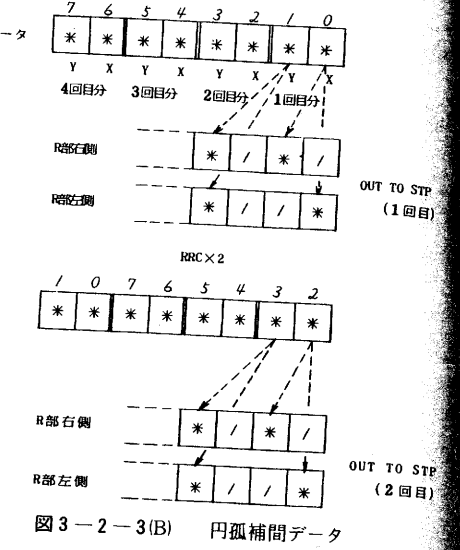
図3-2-3(C) R部右側切削プログラム

今回の研究では、円孤補間によるデータ をあらかじめBASICにより図3-2-3(B)データ の様にして得、機械語による制御プログラ ムでは、これをデータテーブル群として入 カした。

円孤補間データは8ビットで4回分の補 間から成っており、ビット操作により順次 ドライバに出力した。対象ビットが"11" で補間終了である。図3-2-3(C)に、円 孤補間データによるR部右側切削プログラ ムを示す。

3-2-4 バックラッシュ補正

X方向で約0.5㎜、Y方向で約1.5㎜のバ ックラッシュがある。X方向については、 刃物台移動方向が変わる際計算上と現実と ではバイト刃先に誤差が生じるので、サブ ルーチンによりこれを補正しバックラッシ



ュの蓄積が無いようにした。Y方向については、常に1.5m以上動作させ、バイト移動がゼロと なることを解消した。

3-2-5 緊急時動作

シーケンサからの緊急停止信号(ポートC、1~3ビットON)もしくは、刃物台のフォト マイクロセンサON(刃物台移動量オーバ)の際には刃物台が原点復帰とした。このルーチン を、ステッピングモータに 1 パルス出力する度に CALL して緊急時のチェックを行っている。

3-2-6 プログラムサイズ

ROM上で1000H番地から17FAH番地までの2kである。

4. 結果および考察

4-1 切削時間

。JIS 4 号引張試験片

7分0秒

。JIS 8 号(C)引張試験片

5 分35秒

「倣い旋盤」では同様の切削加工に約10分要するので、3分間程度短縮できた。また8号試験 片は、昨年度のパソコン――ワイヤーロジックシーケンスによる切削時間が約6分2秒で、今年 度若干短くなっている。これは主に油圧系とマイコンとの信号伝達方法の改善、ステッピングモ - 夕動作順序の再検討によるものである。

円孤補間によるR部の切削では、昨年度パソコン(BASIC)による演算処理速度の関係から時 間短縮が困難であった。今年度は機械語によるデータ化された円孤補間切削で、大巾な短縮を予 定していた。ところがパルス巾を短くすると特にY軸のステッピングモータが脱調現象を生じ、 結局若干の切削時間の短縮にしかならなかった。

写真4-1に4号、8号引張試験片加工 物を示す。

4-2 マイクロシーケンサの採用

ハード的な配線の手間が少なく、デバッ グ時の配線変更も不必要でシーケンサのプ ログラム変更のみで能率的であった。ただ メモリ容量が477ステップ (7進数)で、今 回のシーケンスプログラムは最終的に460 ステップ(7進数)と、一時はメモリ容量 不足を感じた。

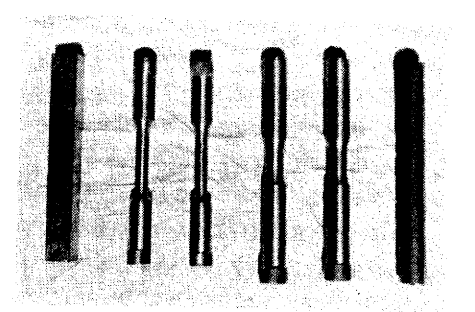


写真 4 -- 1 引張試験加工物

また、マイコンとの信号伝達では、マイコンからの信号のパルス立ち上がりを検知して作動し 応答性(100 µsec×305以下)が良いので無駄な時間が無くなった。

4-3 操作性

マイコンは手動操作時を除けば、すべてシーケンサからの信号のみにより動作するので、切削 加工時操作盤のスイッチのみの操作となり単純化された。またマイコンのプログラムのROM化 で、電源ON時の立ち上がり操作も簡単となった。

4 - 4 / 1 / 7

(1) 信号線のシールドケーブル化 (2) 負論理システム (3) アルミシャーシによる基板の遮 閉(4)ソフトによるチャタリング対策(5)フォトカプラの採用などにより現在のところ安 定した動作を示している。

4-5 緊急時動作の問題占

緊急時「EMERGENCY」ボタン ON により、往復台は原位置へ戻り主軸が停止し、マイコンへ も信号が出力される。マイコンでは、ステッピングモータの原点復帰停止をし、次の信号待ちと なる。

ところが現実の切削加工では次の2点の問題が生じる。

- (1) ステッピングモータ動作中のみしか緊急時動作信号の読み込み判断を実施していないので、 停止中では、マイコンは何ら反応を示さない。
- (2) ステッピングモータ動作中に押されても、往復台復帰(油圧)が速く、ステッピングモー 夕原点復帰が遅れてしまう。結果として、試料もしくは心押台にバイトが接触することがあ る。

この点について次年度改良を試みたいが対策として、

- (1) 緊急時動作の割込み処理の活用
- (2) 油圧系の緊急時動作の変更

などが考えられる。

5. 結

本年度の目的は全て達成でき、次のような成果が得られた。

(1) 所内においても、4号、8号 引張試験片の加工が可能となり依頼試験等にも活用可能と

なった。

- (2) マイクロシーケンサ制御技術の修得
- (3) マイコンによるステッピングモータ制御技術の確立
- (4) シーケンサとマイコンの同期制御技術の確立
- (5) 制御プログラムの蓄積

プログラムは、パソコンに登録されているので、中小企業の要望によりプログラムを供給できる。 最後に、本研究の遂行にあたりご指導と、ご協力を賜りました先進公設試験研究機関の関係各位 に厚くお礼申し上げます。

〈参 考 文 献〉

(1) JIS Z 2201

金属材料引張試験片

(2) JIS G 5501

ねずみ鋳鉄品

(3) JIS G 5502

球状黑鉛鋳鉄品

- (4) 米沢工業高等学校機械科職員グループ,応用機械工学,24-7 (1983),112.
- (5) 曽我武宏, 応用機械工学, 24-9 (1983), 74.
- (6) 8080/8085 アセンブリ言語プログラミングマニュアル, インテルジャパン.
- (7) '82三菱半導体 マイクロコンピュータ関連LSI編,誠文堂新光社.
- (8) I C規格表 '83, CQ出版社.

金属の摺合せ摩耗に関する研究

(ステンレス鋼の微速領域における凝着性)

主 查 中 山 勝 之 技 師 西 井 一 昭

1.はじめに

金属間摺動部分の摩耗現象は、材質、使用条件、環境因子等によって大きく左右されるが、現実には、いかに当初の健全な状態を持続させるかに努力が払われている。しかし、要因が複雑であるため、その対策も万全を期し難く、その都度、妥当と思われる方法で処理されている。

摩耗試験機や試験法にしても、数十種類のものが発表されており、それぞれ独自に研究されているが、相互に比較できない弱点を持っている。すなわち、摩耗現象というものは画一的に評価することが困難であるばかりでなく、条件が違えば全く別次元の特性を示すものといえるからである。このことからも実態に近い強制試験法を模索しながら、実態との対応付けを図る必要が生じてくる。本報告は以上の理由から、比較的低速度において摺動するステンレス鋼の摩耗特性の評価を検討したものである。

2. ステンレス鋼の凝着性と摩耗傾向について

金属摺動部の組合せの原則は、凝着(かじり、焼付き)を起こさないためにも異種金属が適当であるが、構造物に熱変動がともなう時など条件的にどうしても異種金属が使えない場合もあり、その時は止むを得ず同種金属同士の組合せ、いわゆるともがねが用いられている。

従来からの研究では、ステンレス鋼の凝着性と試験片硬さの関係等については、熱処理条件を含めてある程度把握することができた。すなわち、凝着と「硬さの差の方向性」の関係も本研究が明らかにしたものである。しかし、全体として流れはつかめたものの要因の絡み等の関係から、一条件で適切であっても他の条件が入ってくると相反した結果となることもしばしばであった。

凝着性と摩耗量との関係も比較的ではないことは確認できたが定量的な相互の関係は明確なものとはいえなかった。

3. 試験片による摩耗量の相違

熱処理によって硬さに差をつけたSUS420J2を用いて摩耗量を調べた。詳しい実験方法は昨年度の研究報告で示したので省くが、要は摺動子と固定子を一対として、圧着荷重毎の摺動子摩耗量、固定子摩耗量およびその両者を加えた総摩耗量を測定した。この実験は凝着荷重を求めた時に付随して行ったものである。圧着荷重速度の異なる4種類の方法で凝着が生じた時点から継続して所定の荷重Wに増加、以後30秒間負荷した結果を用いている。したがって、凝着性の難易により条件が変ることになり、時間的な誤差を含んでいる。

摩耗量のような特性値は少ない程良いといえるが、このようなものを望小特性といい次式により SN比に変換する。

η=-10 log [目標値ゼロからの差の二乗の平均]

$$=-10\log\left(\frac{1}{n}\Sigma(Y_i)^2\right) \qquad (db)$$

S N比に変換する理由は、相対的な比較が容易にまとめられ、平均値とばらつきの大きさを同時に評価できるためである。すなわち、S N比は実験計測誤差の誤差分散の逆数であり、そのデシベル値を大きくする組合せが、結局、誤差分散を小さくする適当なものといえるからである。

表 1 に試験条件を、表 2 に一定荷重 W_3 の場合のデータ例を示した。表 2 は荷重 W_3 における摺動子 摩耗量であるが、この実験では、このような表が全部で12枚得られた。

		支 1 試	験 条	件	
摺動子硬さR	HRC	9.96(0.64)	24 12(0.00)	3 36.93(0.68)	4
固定子硬さS	HRC	8.35(0.73)	27.19(0.66)	36.93(0.68) $34.77(0.71)$	
圧着荷重W 摺動速度V	Kgf mm/sec	17.68	42.43	63.42	73.38
試験片材質	MILL SEC			0	
			SUS 420	J 2	

 $oldsymbol{\mathcal{F}}$ $oldsymbol{\mathsf{W}}_3$ における摺動子摩耗データ($oldsymbol{\mathsf{mg}}$)

- 1	摺動子				T	1日到]	学れて	ー タ (mg)
ŀ	固定子		R ₁ (軟		1	R ₂ (中		R ₃ (硬)
	S ₁ (軟) S ₂ (中) S ₃ (硬)	469, 564, 491,	546, 561, 483,	602 540 485	209, 493, 401,	271, 315, 460,	309 492 459	4 9, 6 5, 7 7 7 7, 6 8, 7 7 8 7, 7 1, 9 6
17	~1. ~= 1.4~							, , 1, 30

R₁ S₁ について計算すると、

$$\eta = -10 \log \left(\frac{1}{3} \left(Y_1^2 + Y_2^2 + Y_3^2 \right) \right)$$

$$=-10\log \left[\frac{1}{3} \times \left(469^2 + 546^2 + 602^2\right)\right]$$

=54.68 (db) となる。

以下同様にして各荷重毎に、3種類の摩耗量データからSN比に変換したデシベル値が求められた。

荷重条件毎にそれぞれのSN比を分散分析して、寄与率を求めたのが表3である。この表から全体的に荷重条件にかかわらず、摩耗特性は摺動子硬さの影響を強く受けていることが分る。しかし、細かく見ると摺動子硬さは摺動子摩耗量、固定子硬さは固定子摩耗量に寄与しており、その量には明らかな差が認められる。荷重についてはW1が総じて寄与率が低く、

	- 表	3 S N J	北の寄与率	(%)
		(摺)摩耗量	(固)摩耗量	
(摺・硬) R	W ₁ W ₂ W ₃ W ₄	4 3. 1 9 8. 1 9 4. 8 9 5. 2	2 3. 2 5 6. 9 6 2. 0 5 8. 1	3 2. 5 9 2. 8 9 8. 6
(固・硬) S	W ₁ W ₂ W ₃ W ₄	 1. 5 	1 9. 8 1 1. 6 1 3. 9	9 2. 0 - 3. 4 - 2. 2

不安定な結果を示している。

寄与率が有意とみなされたSN比の水準の平均値を図1に示した。この図からもW」については95 %信頼限界の幅も大きく、あまり安定的でないことが分る。摺動子摩耗は、その硬さが硬くなる程少なくなる。すなわち、耐摩耗性は良好という結果が得られた。一方、固定子のグラフにおいても同じ傾向を示すが信頼限界幅は大きくなっている。

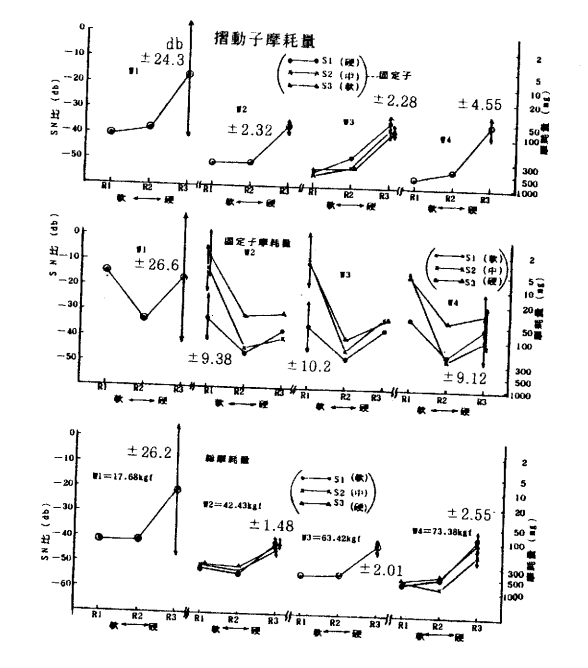


図 1 摩耗量を特性値としたSN比グラフ

4. 摩耗の時間的傾向と単位摩耗量

当初、一定の圧着荷重値を与えておき、時間経過に伴う摩耗減量を調べた。試験開始時に27.2 kgfの圧着荷重を与え、そのまま試験機を駆動させ、試験片の損耗量(この場合は摺動子摩耗量+固定子摩耗量)を30秒毎に採取した。試験片はSUS 420 J2を用い、熱処理により表 4 のような硬さ水準を作った。

摺動子と固定子の組合せ毎に、単位時間当りの摩耗量を計測し、それを望小特性のSN比として計算した。図2に単位時間当りの摩耗曲線を示した。この図中、時間経過と共に単位摩耗量が少なくなっているが、これは試験片が損耗すると寸法が減じ、その分だけ圧着力が弱くなるためと思われる。また、摩耗の時間的経過に

	表 4	試験片	硬さ	HRA(σ)
硬さ HER	1	2	3	4
摺 動 子	47.12	59.45	65.30	72.64
R'	(0.35)	(0.83)	(0.83)	(0.94)
固定子	54.57	66.30	73.07	_
S'	(0.59)	(0.77)	(0.64)	

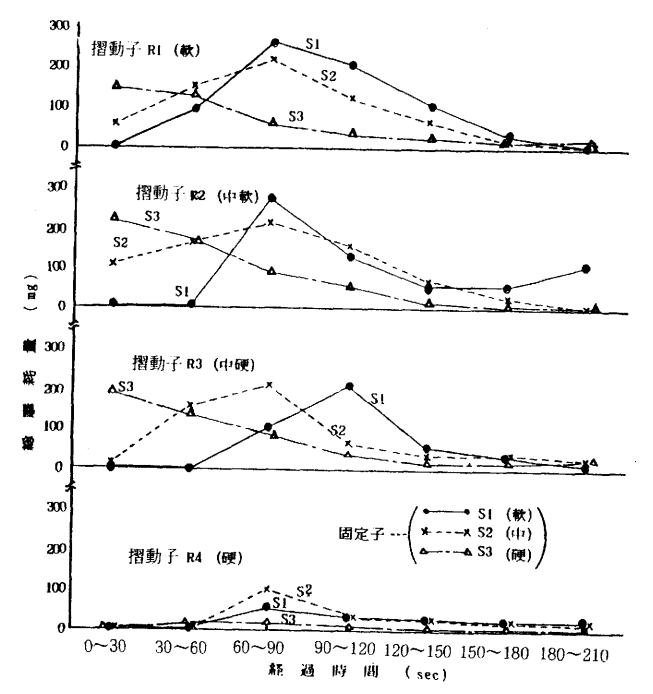
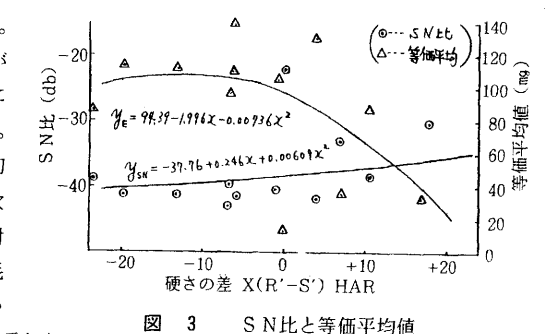


図 2 単位時間毎の総摩耗量

伴って、摩耗パターンが異っている。 試験片硬さによってそのパターンが 変るが、摺動子硬さの最も強いR4に ついては摩耗量が少なくなっている。 固定子硬さが硬いものについては初 期摩耗が大きく、時間経過と共に次 第にその量を減じていく。それに対 し、固定子硬さの軟かいものは摩耗 の最大値に時間的な遅れが生じてい



る。図3にSN比と等価平均の値を示した。

S N
$$\not\vdash t_n = -10 \log \left(\frac{1}{n} \left(Y_1^2 + Y_2^2 + \dots + Y_n^2 \right) \right)$$
 (db)

等価平均値
$$E = \sqrt{\frac{1}{n} (Y_1^2 + Y_2^2 + \dots Y_n^2)}$$
 (mg)

ここに、 nは0~210秒間に30秒毎に採取した単位摩耗量をデシベル値に変換したもので、この値 が大きい程、耐摩耗性が良好といえる。一方、等価平均値というのは、実際のデータはいろいろと ばらつきを見せるが、もし、同一の値をとるとしたらどれ位の値と等しいかを示すものである。図

3は試験片の硬さの差(摺動子硬さ R'-固定子硬さ S')の順に配列し、S N 比と等価平均値を表わ した。この関係を2次回帰曲線で示すと

 $Y_{SN} = -37.76 + 0.246X + 0.00609X^{2}$

 $Y_E = 94.39 - 1.996X - 0.00736X^2 + t_1 t_2$

(ここに、YSNはSN比の、YEは等価平均値の回帰式、Xは摺動子と) 固定子間の硬さの差を示している。

5. 総合的な摩耗特性評価について

前項までは、定荷重における摩耗減量を特 性値として、各試験片毎の違い、時間的な摩 耗傾向を検討したが、ここでは、圧着荷重増 加方式により、凝着を生じた時の荷重値、凝 着を生じるまでの時間、さらに凝着試験開始 後2分間の総摩耗量の3つを特性値として取 り上げた。この3つの特性値はいずれも同一 試験条件から得た結果であるため、比較、検 討する場合に好都合である。実験の因子と水 準を表5に示した。ここで、凝着を発生させ る信号因子に何を選ぶかが問題となったが、 摺動子Aと固定子Bとの硬さの差によって凝 着現象に差があることが、今までの実験結果 から、あるいは経験的に知られている。した がって、AとBの硬さの差をMとし、Mと凝

擬着摩耗試験と因子と水準

因子	1	2	3
摺動子材質 A	SUS304	SUS403	SUS420J2
固定子材質 B	SUS304	SUS403	SUS242J2
固定子表面粗さ(R max) C	$4 \sim 6 \mu\text{m}$	10∼18µm	25~35 μm
摺動子硬さ(HRA)D	42~48	58~63	63~70
固定子硬さ(HRA)E	52~53	59~63	62~70

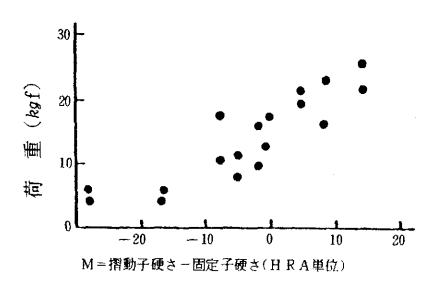


図 4 硬さの差と凝着荷重

着する時の荷重Yの関係を求めたところ図4のような関係が得られた。種々の条件によって異なる が、一応MとYの関係は直線的効果が大きいものと仮定して、真値不明の場合として計算した。

6. 凝着荷重値に与える要因の効果

凝着現象は通常の状況で起ることは少なく、むしろ突発的な事象である。このため、事例として も数多くある訳ではなく、膨大な量の実態調査から抽出したわずかの資料を基に推定を加えて今回 のような強制試験を実施、そのデータの処理から要因効果を模索する方法をとった。したがって、 実験データも相当なばらつきがあり、一見しただけではその傾向も分りにくいものもあったが新し い手法の導入によってかなり絞り込むことができた。

(1) 荷重値を特性値としたSN比データ

凝着荷重は、大きければ大きい程、好ましい特性といえるため、望大特性として解析を行った。

$$\eta = -10 \log \left(\frac{1}{n} \Sigma \left(\frac{1}{Y_1^2} \right)^2 \right)$$
 (db)

制御因子の水準は表5のとおりであるが、それぞれ2回のくりかえしデータを求めたところ表 6のようなデータが得られた。 2 個の特性値を Y_1 、 Y_2 としたときのS N比を全データについて計

表 6 凝着荷重データの一部 (kgf)

$\overline{}$							70) 12	(kgt	·)
		B 04 T		A			A;		T	A. 算した。表6でA ₂ B ₁ C ₁
M	鬼子	\leq	Di	Dı	D,	D_1	D ₁	D,	Dı	
		E,	9.8 7.4	13.9 13.1	13.1 11.5	10.6 13.9	17.2	18.8	15.6	い。
	C,	E,	13.9 13.1	7.4 6.6	11.5	8.2 12.3	16.4 15.6	18.0	12.3	$ \eta = -10 \log \left(\frac{1}{2} \times \left(\frac{1}{Y_1^2} + \frac{1}{Y_2^2} \right) \right) $
		E,	7.4 9.0	8.2 5.7	13.9 11.5	12.3 11.5	15.6 12.3	21.3	13	$=-10\log\left(\frac{1}{2}\times(\frac{1}{18.0^2}+\frac{1}{21.3^2})\right)$
		E ₁	22.9 20.5	18.0 15.6	17.2 21.3	13.1 7.4	22.9 15.6	21.3		= 25.78 (db) となる。
В,	C ₁	E,	17.2 22.9	16.4 16.4	16.4 19.7	6.6	22.9		この.	ようにして全数SN比に変換したデ
		E,	19.7 19.7	23.7 18.0	22.9 19.7	لمستقر			タが表	7 である。
		E,	10.6	1.1	/	A, B	, с,	TCC.	、SNI の多元M	比の値を新しい特性値として各要因 配置の分散分析を行ったが、その結
		_	11 1	_/	田太き	0 1= =				地區シカ取分別を行ったが、その結

果を表8に示した。この表の寄与率から効果の大きな要因についての判断ができる。凝着荷重値を特性値とした場合の要因効果はかなり分散していることが分った。すなわち、摺動子材質と各試験片の硬さ、表面粗さに影響度が大きく、それらを含む交互作用の影響もある。ただ、固定子材質については効果が認められないことはこれまでの結果から予測され、その再現性が確かめられた。相対的な尺度であるSN比等を比較する場合、従来の不変分散Foの検定はあまり意味を持たないため、効果の大きさの判断は寄与率で行う。なお、寄与率

表 7 荷重をSN比に変換したデータ (db)

	_	17:9h 1			1732	0 14 10	上 交换	したデ	- <i>9</i>	(db)
Lui -	建子	1113911		A ₁			A ₂			A	
-	Ť	TE	D ₁	D ₂	D ₃	D ₁	D ₁	D ₃	D_1	Dı	D ₁
	C	E ₃	22.5	22.5 16.8 16.4	21.7 20.0 21.9	21.5 19.6 21.4	24.4 24.0 22.7	25.8 25.7 25.5	23.3 21.4 15.6	20.8 19.4 20.5	25.2 22.5 24.7
Bı	c,	E; E;	26.6 25.7 25.8	24.4 24.2 26.1	25.5 25.0 26.4	19.1 14.9 18.9	25.2 28.6 29.6	27.5 29.0 26.6	18.1 23.0 21.9	23.2 26.4 30.3	27.3 29.4
	c,	E ₁ E ₂	19.7 22.1 18.2	13.3 16.7 16.2	13.7 10.7 8.5	26.2 19.5 16.0	24.2 19.1 20.8	22.1 24.0 18.9	22.7 21.4 17.8	32.5 20.8 20.2	27.5 24.8 26.1
	C,	E ₁ E ₂ E ₃	22.1 21.2 12.9	19.4 13.4 14.2	22.0 13.8 17.2	24.2 12.1 17.2	27.3 20.1 21.4	26.7 29.1 26.1	25.4 20.1 16.1	28.0 26.8 19.7	24.1 27.6 26.2
Bı	C ₁	E_1 E_2 E_3	24.4 23.7 17.1	21.7 22.3 18.9	22.2 24.0 14.9	22.9 22.3 14.5	30.1 30.0 24.9	21.6 28.9 28.1	29.1 24.2 15.1	29.9 27.4	22.0 29.5 29.4
	С,	E ₁ E ₂ E ₃	21.5 16.1 16.8	13.1 14.7 14.4	11.4 8.5 15.7	24.2 25.9 18.6	28.8 31.6 26.3	28.6 25.6 25.2	27.4 27.5 22.0	30.2 28.9	25.7 31.3 30.6
	C ₁	E_1 E_2 E_3	15.4 18.8 18.9	15.8 18.9 20.8	23.3 21.4 20.7	18.6 11.7 14.9	23.3 15.6 21.5	25.4 23.5 25.6	24.2 18.1 19.0	28.8 26.5 18.2	31.7 25.7 25.4
В,	с,	E ₁ E ₂ E ₃	23.3 21.0 21.4	23.2 19.7 18.4	27.4 22.5 22.1	17.9 12.9 14.4	25.1 23.0 22.2	27.4 26.0 21.3	29.4 23.5 24.6	28.8 25.7 15.8	26.8 31.3 30.8
	C1	E ₁ E ₂ E ₃	17.7 25.3 23.6	21.1 26.4 16.8	18.7 19.4 11.7	22.8 27.1 12.2	30.6 27.7 19.4	25.7 25.4 25.4	31.4 · 25.0 12.1	33.0 29.0 22.8	29.5 28.0 30.5 30.2

の算出式は次のとおりである。

効果の大きいと思われるSN比の平均値を図5に示した。寄与率の大きい摺動子材質はA3であり、次いでA2、A1の順となる。すなわち耐凝着性はSUS 420 J2が最も優れている。また、摺動子硬さは硬い方が、固定子硬さは軟かい方が好結果となっている。以上は主効果についてであるが、交互作用が生じていることに注意しなければならない。

表 8 S N比を新しい特性値とした 多元配置の分散分析表

ラル間直の方限力が衣							
要	因	f	S	V	P %		
	動子材質)	2	1199.99	599.99	○ 18.34		
,	定子材質)	2	13.10	6.55			
	定子粗さ)	2	351.09	175.54	O 5.17		
	動子硬さ)	2	466.73	233.37	0 6.98		
	쥗子硬さ)	2	481.59	240.79	0 7.19		
A×B)	4	317.73	79.43	0 4.39		
$A \times C$		4	441.85	110.46	0 6.31		
$A \times D$		4	687.98	172.00	O10.13		
$A \times E$		4	50.13	12.53	0.24		
B×C	(交互作用)	4	260.81	65.20	O 3.50		
B×D	17/11/	4	43.29	10.82	0.13		
B×E		4	85.96	21.49	0.79		
C×D		4	213.09	53.27	O 2.76		
C×E		4	81.74	20.44	0.73		
D×E)		4	83.83	20.96	0.74		
e×(謝	差)	192	1671.55	8.71	33.69		
T ((合計)	242	6450.45		100.00		

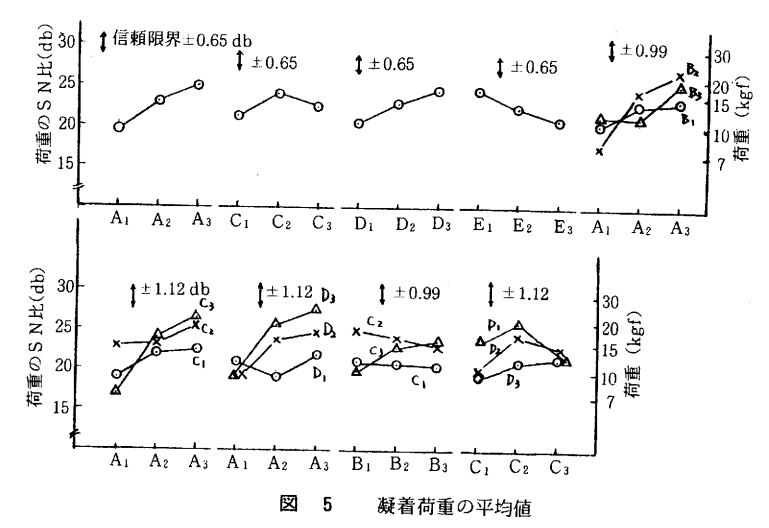


図5中の平均値の信頼限界を求めると、

$$\pm \sqrt{F_{192}^{1}(0.05)\frac{\text{Ve}}{\text{ne}}}$$

$$C$$
 ことに、 $\frac{1}{ne} = \frac{$ 無視しなかった要因の自由度 + 一般平均の自由度 全データ数 -1

主効果(A, C, D, E)の場合

$$\pm \sqrt{3.89 \times 8.70 \times \frac{3}{242}}$$
 = ± 0.65 db

交互作用 (A×B, B×C) の場合

$$\pm \sqrt{3.89 \times 8.70 \times \frac{7}{242}}$$
 = ± 0.99 db

交互作用 (A×C, A×D, C×D) の場合

$$\pm \sqrt{3.89 \times 8.70 \times \frac{9}{242}}$$
 = ± 1.12 dt

となったが、その信頼限界幅は図中の矢印で示した。

(2) S N比の比較と実態との対応

図 5 で明らかになったことは、S N比の大きな条件を選ばうとすると、その因子の水準の組合せが複雑になることである。大まかにいえば、摺動子の材質は A_3 が良く、しかも硬さは硬い方 D_3 が良い。ところが、固定子の材質が B_2 なら摺動子 A_2 、 A_3 でも良く、固定子の粗さが C_3 ならば A_2 、 A_3 でも良い。すなわち、最適な条件は限定されるけれども、ある程度の満足は相反する条件でも得られることになる。したがって、経験的に最適条件を探す場合には、その条件に幅が出ることになると推定される。

ただ、ここで注意が必要なことは、予備実験における最適な特性値として荷重値を選んだ時の 試験条件では、今回の実験ほどには因子の種類が多くなかったことである。したがって、今回は 後の項でも述べる凝着時間や摩耗量を新たな特性値として加えている。

(3) 最適条件の推定

最適条件同士を組合せた時のSN比の推定を行う。表8で寄与率が大きいと判断(P>1%)した因子の組合せをあたかも自由度の和の形のように、次の式で表わす。

$$(A-1)+(C-1)+(D-1)+(E-1)+(A-1)(B-1)+(A-1)(C-1)$$

$$+(A-1)(D-1)+(B-1)(C-1)+(C-1)(D-1)+1$$

以上の因子の組合せによる推定値介は、最後の項2を2mと表わし、

(m:総平均値, A等:各因子の水準の平均値)

$$\hat{\mu} = -2 \times (\overline{A} + \overline{B} + \overline{C} - m) - \overline{D} + \overline{E} + \overline{A} \overline{B} + \overline{A} \overline{C} + \overline{A} \overline{D} + \overline{B} \overline{C} + \overline{C} \overline{D}$$

として求める。最適条件として各因子の水準の高いものを選ぶとA3B2C2D3E1となり、

信頼限界は

$$\pm \sqrt{F_{192}^{1} (0.05) \times \text{Ve } (\frac{1}{\text{ne}} + 1)}$$

$$= \pm \sqrt{3.89 \times 8.70 \times (\frac{1}{242} + 1)} = \pm 6.16 \text{ db}$$

したがって $\mu = 31.14 \pm 6.16$ db

 $=36.6^{+2.0}_{-0.5}$ kgfととなり、もし同一条件で再現すればこうなるであろうという推

測値である。しかし、この推定には若干の問題を含んでいる。それは交互作用の要因効果も加味 しているからである。交互作用が果してこのような加法性を持っているか疑問だからである。安 全な評価としては主効果のみを考え、

$$\hat{\mu}$$
 = (A₃ - m) + (C₂ - m) + (D₃ - m) + (E₁ - m) + m
 μ = 24.94 + 24.11 + 24.06 + 24.20 - 3 × 22.56

= 29.65 db

信頼限界は

$$\pm \sqrt{3.89 \times 8.70 \times (\frac{9}{242} + 1)} = \pm 5.92$$
 db

したがって $\mu = 29.65 \pm 5.92$ db = 30.4 + 2.0 kgf となる。

7. 凝着までの時間が特性値の場合

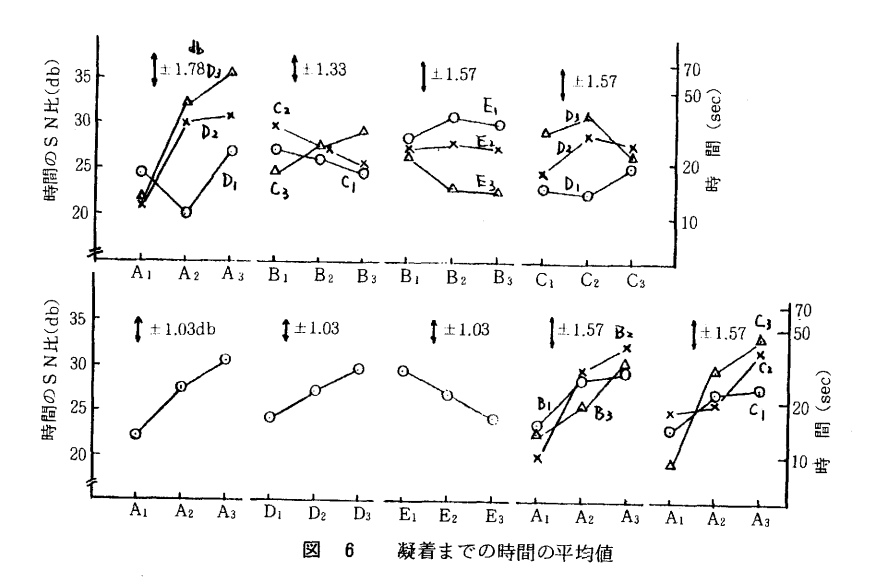
前項と同様の実験から、凝着までの時間値を計測し特性値とした。この時間は大きい程良い特性 として解析した。

(1) S N比に変換

もとのデータとSN比に変換した値の一部を表りに示し、表り全てのデシベル値をデータとして

表 9 凝着までの時間データ(秒)とSN比に変換したデータ(db)

$\overline{}$			1		W10 5						ンたテータ	(ub)
	₹	m 7				1		(\$ U \$ 3			/	,
	ŧ ₹		<u></u>	D ₁ 硬 データ		 	D 2		D 3		<u>•</u> /	
	観さ	E ₁ E ₂	24	12	5 N H; 46 23.62	25	24	27.77 23	2 4	1 15	- 31	
材質	C ₁	E3	36 18	21 15	28.18 24.24	12	15	22.44 10 12.28 24	7 2	1 2 22	:i/	
5 U S	c.s	E1 E2 E3	36 35 33	25 45 30	29.25 31.83 29.93	30 13 33	27 14 39	29.86 15 22.58 21 29.93 54	36 25 27 21	3.56 10	/	
۰,	C ₂	E: E: E:	12 22 15	12 24 12	21.58 27.2 22.44	7 7 21	!	17.44 18 17.44 3 14.89 6		2000		
	c,	E 2 E 3	27 27 18	15 22 12	25.34 27.64 20.72	71 6	33	27.97 22	表	10	S N比の分	散分析
, l	C ₂	Ε ₁ Ε ₂	34	45	要	因	f	S	V	Fo	P %	1
•	•	ξ,	13			Ą	2	2978.53		67.64	20.040	
		سسا				3	2	2 2. 5 5		_		
						2	2	147.98		3.36	0.71]
)	2	1145.28		26.01	7.520	
						3	2	1284.43		29.17	8.47 🔾	
						< В	4	5 1 5. 5 7		5.85	2.920]
						< <u>C</u>	4	882.32		10.02	5.420	1
				ļ		< D	4	1742.41		19.78	11.30 〇]
				- 1		< E	4	4 2. 6 7				l
						< C	4	455.27		5.17	2.510	
				-	B >		4	143.50		1.63	0.38	
						E	4	335.00		3.80	1.690	
				-	C >		4	434.90		4.94	2.37 🔾	
				ŀ	C >		4	109.89	27. 47	1.25	0.15	
						E	4	172.22	43.05	1.95	0.57	
				-	e		192	4226.82	22.01		35.95	
				L	ТТ		242	14645.38			100.00	



分散分析を行った結果を表10に示した。効果の大きなSN比の平均値を図6に表わした。 このような結果を検討すると、傾向的には、荷重値を特性値とした場合と同じような内容であるが若干の相違がみられる。表面粗さの影響度は誤差に埋没したため寄与率に表われていない。 平均値の信頼限界は次のとおり。

(2) 最適条件の推定結果

交互作用を含んだ A₃ B₂ C₂ D₃ E₁ の組合せ条件では

$$\mu = 40.80 \pm 9.83$$
 db

交互作用を誤差と考え、安全な評価として主効果のみで推定すると次のようになった。

$$\mu = 34.20 \pm 9.39$$
 db

$$=51.3^{+3.0}_{-0.3}$$
 sec

このようなことから、凝着までの時間を特性とした場合、前項の荷重値を特性値とした場合と、 かなり近似した結果となるため、どちらか一方の特性値を使うことで凝着現象の推定が可能と考 えられる。

8、一定時間内における摩耗減量

(1) 平均値の推定と信頼限界

同じ試験で凝着時の荷重値と時間を計測したが、さらに試験開始後2分間における総摩耗量も調べた。このデータは、小さい方が良く、望小特性としてSN比に変換、さらにSN比を新しい特性値として多元配置分散分析を行い、各要因の変化を検討した。

摩耗データとデシベル値に変換した値の一部を表11に、分散分析表を表12に示した。この表から、摺動子の硬さと材質が大きな影響度を与えていることが分る。ちなみにA、D、 $A \times D$ の寄与率の合計は57%を越えている。

図7に効果の大きなSN比の平均値を示したが、望小特性として解析しているため、グラフは 上ほど少ない摩耗量を表わしている。

平均値の信頼限界は以下のとおり。

(主 効 果 (A, D) ±0.98 db

交互作用 (A×B, A×E, B×D) ±1.49 db

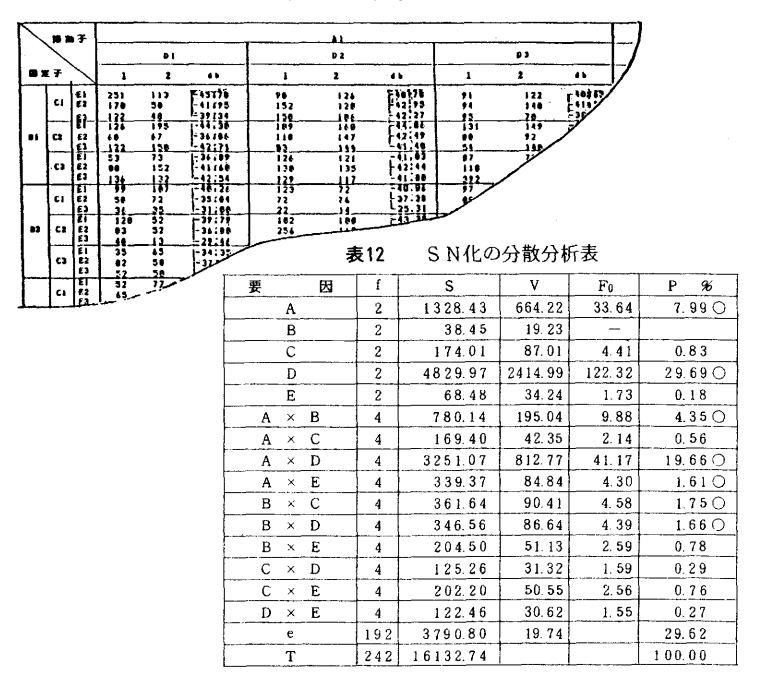
" $(A \times D) \pm 1.69 \text{ db}$

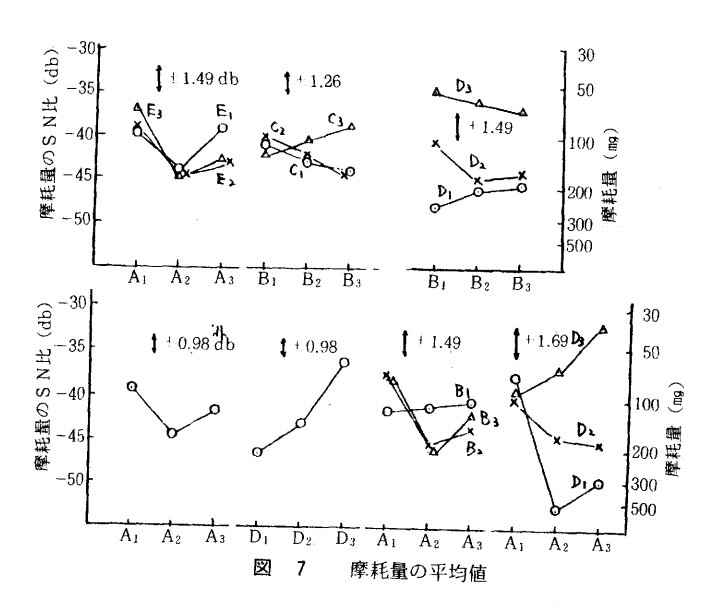
" $(B \times C) \pm 1.26$ db

(2) 摩耗に対する最適条件の推定

交互作用があるために最適条件も若干変化してくる。すなわち、摺動子材質Aと硬さDのどち

表11 試験後2分間における総摩耗量(mg)とSN比(db)に変換したデータ表





らを重視するかによって推定方法が変る。

摺動子材質 A を重視した場合の推定は $A_1 B_1 C_3 D_1 E_3$ で

$$\mu = -32.40 \pm 9.20$$
 db

$$=41.7^{-0.4}_{+2.9}$$
 mg $\geq tsb$.

摺動子硬さDを重視した場合の推定は $A_3\ B_1\ C_2\ D_3\ E_1$ の組合せ条件で

$$\mu = -27.13 \pm 9.20$$
 db

$$=22.7^{-0.4}_{+20}$$
 mg $\geq t3.5$

この両方を比較すると、摺動子硬さDを重視した方が最適条件としては大きい効果を期待できることになる。

また、交互作用を無視し、主効果のみを取り上げ、安全な評価をすると、

$$\mu = -32.88 \pm 8.85$$
 db

$$=44.1^{-0.4}_{+2.9}$$
 mg $\geq ts.$

結局、摩耗量を一番小さくする組合せとしては A_3 B_1 C_2 D_3 E_1 varphi v

9. ま と め

ステンレスの凝着性と摩耗性を探るためにこの実験を実施したが、それぞれの実験方法あるいは 特性値の取り方によって結果に特徴がみられた。それぞれの特徴による相違を今回は、ある程度、 定量的に把握することができた。

実験を実施する場合、特性値に何を選ぶかが最も大切な事柄である。すなわち、計測項目の選定であるが、それが選べるということは、背後での現象、つまり、何が良くて何が悪いかが分っていることになるが、実際はこのことが不明確なまま適当な代用特性で処理されていることも多い。 しかし、一方では何が良いか悪いかそのものが定かでない場合も現実には起っている訳であるから、

その手順としては (1)何が良いかを漠然と検討をつけ、(2)それを成立させている条件を選び出し、(3)その条件の組合せで実験を行い、(4)得られた結果と実態を比較し、(5)得られた結果に妥当性があればそれを第1近似として、さらに実験を重ねるという過程をたどることになる。このような考え方を図式化すれば図8のようになる。

最近の凝着現象に関する研究は、これと同じような考えに基づいて実施してきたが、さらに実績を積上げてこうした方法の妥当性を明らかにしなければならない。

おわりに本研究を実施するにあたり、終始、懇切なご 指導、ご助言、さらには文献を引用させていただいた工 業技術院・計量研究所第一部計測機構課・矢野宏課長と 同課の皆様に深謝いたします。

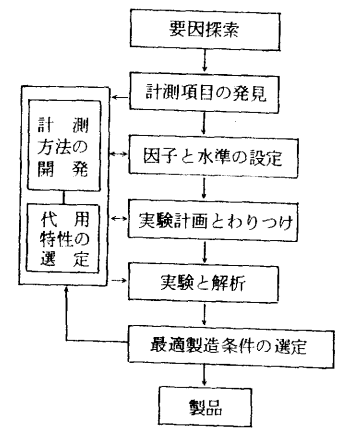


図 8 計測項目の選定と改善

〈参考文献〉

- (1) 佐藤健児:金属の摩耗とその対策
- (2) 広根徳太郎:金属便覧
- (3) 小川喜代一:金属の潤滑摩耗とその対策
- (4) 中山勝之:滋賀県立機械金属工業指導所研究報告(昭和54・55年度)
- (5) 中山勝之・矢野宏: SUS 420 J2におけるかじり摩耗について(材料試験技術 Vol.24 1979年 10月号)
- (6) 田口玄一:統計解析
- (7) 田口玄一:規格値の決め方一望大特性のパラメータ設計(標準化と品質管理 Vol.36 1983.1)
- (8) 矢野 宏:統計手法と計測
- (9) 矢野 宏:測定技術研究開発のリフトウェア (精密機械 Vol.46 1980年1月号)
- (10) 中山勝之・矢野宏:バルブのかじり試験評価法の検討(標準化と品質管理 Vol.35 1982.8)

〈引 用 文 献〉

矢野 宏:計測管理工学入門――計測項目の選び方と最適製造条件――(菱光技報、58.10.1 第20巻237号)

1. はじめに

高周波誘導結合プラズマ発光分析法 (以下ICP分析法) が、その優位性を認められ、各分野におい て注目、利用され始めている。この分析法では、溶液試料を約7000°Kまで高温励起させるため、元 素間の化学干渉がほとんどなく、高感度で広い濃度範囲にわたり多元素同時分析することが可能で

当所において、昭和57年度にICP分析装置を導入し、この装置を使って鉄鋼分析の迅速化に関 する研究を行い、その結果、炭素、硫黄の2元素を除く鉄鋼中の各元素が、高精度かつ正確に同時 分析することが可能であることが分った。しかし、けい素の分析において、炭素鋼、ステンレス鋼な どのけい素含有量の少い試料(0.5%以下)については、本装置による同時分析が可能であるが、依 頼試料中、最も頻度の高い鋳鉄の高含有試料(1.5%以上)については、通常の前処理方法では完全 なけい素回収が困難であり、従来のJIS重量法分析に頼っているため、迅速化に欠けている。また、 モリブデンを含有する場合、分析線の重複によるスペクトル干渉により、けい素分析値に正の誤差 を与え、補正が必要となってきた。

このことから、本研究において、けい素高含有試料の同時分析可能な溶解方法について検討した 結果、硝酸一過塩素酸溶解法により、溶液としてけい素を100%回収できる方法が見い出せ、また、 モリブデンの影響についても、一次的な補正で正確な分析が可能であることが分ったので、以下に 報告する。

また、主要元素以外の鋳鉄材料の性質に影響を及ぼす微量成分の分析についても、分析条件等を 検討したので報告する。

2. 実験方法

2-1 実験装置

この研究で使用した主な装置は次のとおりである。

- (1) 高周波誘導結合プラズマ発光分析装置 島津製作所製 ICPV-1000型
- (2) データ処理装置 QC一5型

2-2 試 料

実験用の試料として、以下に記した市販の標準試料および当所に依頼試験として持ち込まれた 鉄鋼材料のうち、ねずみ鋳鉄(F C 2 0)と球状黒鉛鋳鉄(F C D 4 5)を使用した。化学分析 値の決定は、各試料をJISの分析方法に従い、独立3回の分析を行い、その平均値によった。 NBS342a, NBS5L, NBS6g, NBS 122g, NBS 122e

 $JSS\ 030-1$, $JSS\ 030-3$, $JSS\ 050-2$, $JSS\ 057-2$, $JSS\ 066-2$

JSS 652-3, JSS 652-6, JSS 651-6, JSS 651-3, JSS 654-4

1-3 試 事

☆ 検量線作成用の標準溶液は、原子吸光分析用標準溶液(濃度1000層、半井化学薬品製)を使用 した。ただし、りんについては、りん酸二水素ナトリウムより濃度1000Р溶液を調製し、内標準 元素イットリウム水溶液は、酸化イットリウム (純度 99.99%) 6.350gを (1 + 1) 塩酸50㎖に溶 解した後、500㎖のメスフラスコに移し調製した(濃度 10000卿)。

2-4 内標準法による分析

分析目的元素の分析線と内標準線(イットリウム)のスペクトル強度比は、

$$\frac{I}{I_Y} = K \frac{N}{N_Y} \exp \left(\frac{E_Y - E}{k_T} \right) \qquad \dots (1)$$

表 1 分析条件

ただし、I:スペクトル強度

N:濃度

E:励起エネルギー

K.k: 定数

T:絶対温度

となり、この式から、プラズマの温度の変 動などによって強度比が影響されないため、 精度や正確度が一段と向上するので、この 方法により分析した。

2-5 分析条件

本研究では、昭和57年度の研究結果得ら れた最適同時分析条件を使用した(表1)。

1	高周波電源周波数	27. 120 MH z
2	高周波電力	
		1. 20 KW
3	反射波電力	5 W以下
4	冷却ガス流量	Ar 15.0 l/min
5	プラズマガス流量	Ar 1.2 l/min
6	キャリヤガス流量	Ar 1.1 ℓ / min
7	光 軸 高 さ	15 **
8	内 標 準 元 素	Y (100 ppa)
9	水吸入時間	60 sec
10	試料吸入時間	80 sec
11	積 分 時 間	20 sec

3. 実験結果および考察

1. けい素高含有試料の溶解方法

従来、鉄鋼中のけい素の分析は、JIS G 1212 (1981) に基づき、二酸化けい素重量法により分 析を行ってきたが、昨年度の研究において、鋳鉄などのけい素高含有試料の完全な溶解が困難な ため、ICP分析装置による同時分析が困難となり、迅速化に今一歩欠けている。

これは、けい素高含有試料を酸に溶解した際、けい素は、一旦はけい酸イオンとして溶けるも のの、けい酸は弱酸であるため、可溶性のけい酸塩は水溶液中で加水分解して、ある程度コロイ ド状のけい酸塩となって存在している(式(2))。

$$SiO_3^2 + 2 H_2 O \rightarrow 2 OH^- + H_3 SiO_3 \cdots (2)$$

しかし、加熱や酸によって、さらに加水分解が進み、不溶性の含水けい酸 $x \, SiO_2 \cdot y H_2 \, O$ とな って析出し、これが凝固してゼラチン状のヒドロゲルが生成する。この含水けい酸が遊離炭素な どの他元素に吸着が起るため、完全な溶液化が難しく、口過操作等によって除外され、これが定 量されずに負の誤差を生ずることとなる。

炭素含有量の少いステンレス鋼、炭素鋼などは、口過操作が不要のため、そのままICP同時 分析が可能である。

しかし、近藤喜代太をはじめ、㈱日本製鋼所、㈱室蘭製作所等のけい素の分析方法に関する研

究で、溶解したけい素の加水分解防止に、溶解時に酒石酸を添加することによって、けい素含有量3%まで分析可能であると報告されており、その他一般に、フッ化水素酸溶解法(式(3)) および普通酸溶解フッ化ナトリウム添加法が報告されている。

 $SiO_2 + 4 HF \rightarrow SiF_4 + 2 H_2O \cdots (3)$

本研究では、JIS G 1257 (1975) 鉄及び鋼の原子吸光分析方法に基づく溶解方法をはじめ、鉄鋼、金属関係企業で検討された溶解方法を含めて、8種類の溶解方法を検討した。

1-1 けい素の分析条件

1-1-1 キャリヤガス流量

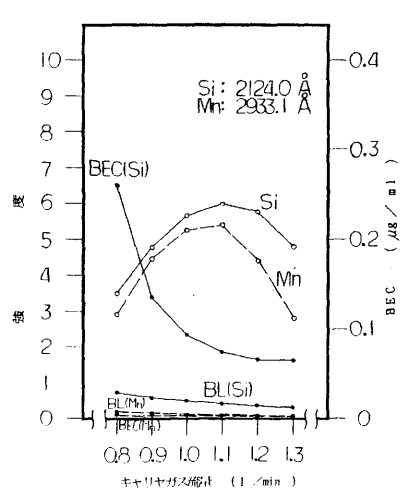
けい素濃度150**m**(含有量3%相当)の調製溶液について、キャリヤガス流量を変化させた時のスペクトル強度を測定し、その結果を図1に示す。

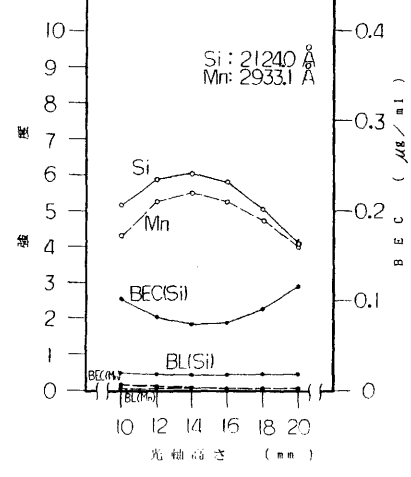
最適同時分析条件であるアルゴンガス流量 $1.1\,\ell/$ mの時に、強度が最高位置を示している。

1-1-2 光軸高さ

同じ調製溶液について、光軸高さを変化させた時のスペクトル強度を測定し、その結果を図 2 に示す。

光軸高さ14㎜の時、強度が最高位置を示し、最適同時分析条件とほぼ一致している。





· 図 1 キャリヤガス流量と強度の関係

図 2 光軸高さと強度の関係

1-2 けい素の検量線の作成

マトリックスとして、純鉄(含有量90%相当)を溶解した水溶液に、けい素の標準溶液を添加

表 2 けい素の検量線式

元第	分析波長 (A)	含有量範囲 (%)	検	撒	線	式	R	STD	BEC
Si	2124.0	0~3	Wsi = 0.	4038	33 I -	- 0.13545	0.00672	0.00793	0.1355

して検量線用の溶液を調製し、これを単独 5回分析して、そのスペクトル強度を測定 し、その平均値を強度として検量線を作成 した。その時の検量線式を表2に示し、検 量線を図3に示す。

1-3 試料の溶解方法の検討

表3に示す8種類の溶解方法について検討し、いずれも酸で溶解後、遊離炭素を除去するためロ過操作を行い、けい素回収率として検討した。ロ過操作をしないと、沈殿物等により溶液が不均一となり、また、ICP分析装置の試料吸入キャピラリーおよびネブライザーが目詰まりを起すためである。

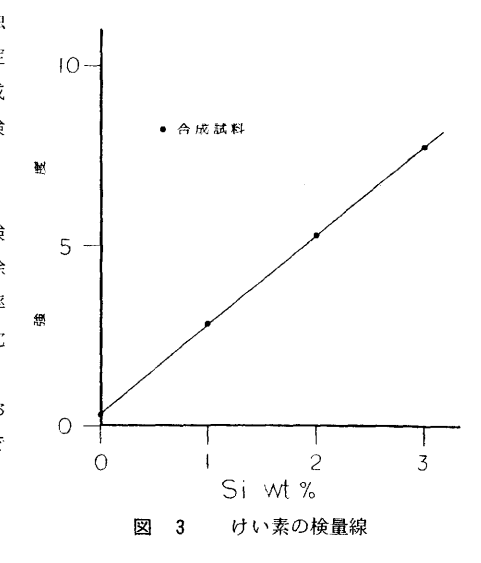


表 3 試料の溶解方法

実験 N O.	容 解 方 法
1	(1+1) H c l 20 ml +30°% H ₂ O ₂ lO ml → 口過
2	(1+1) H c l 20 ml + 30% H ₂ O ₂ lO ml+ cH N O ₃ 5 ml → 口過
3	(1+1) H c l 20 ml + cH N 035 ml 口過
4	②(+1+3) HNO3、Hc1、H2O2Oml → 口過
5	王 水30 ml +30% H ₂ O ₂ 1 ml → □過
6	15 % H ₂ O ₂ 20 ml + (2+5+13) H ₂ S Q ₄ H N O ₃ , H ₂ O 20 ml —— 口過
7	15 % H ₂ O ₂ 20 ml + (2+2+5+11) H ₂ S O ₄ 、H c l、H N O ₃ 、H ₂ O 20 ml → 口過
8	(1+1) HNO3 20 ml + 60 % HClO4 20 ml → 口過

1-4 各種溶解方法によるけい素回収率の検討

8 種類の溶解方法によって調製した試料溶液を、ICP分析した結果を表 4 に示す。試料が完 全に溶解したかを確認するため、けい素とともにマンガンを同時分析した。

実験MR による溶解方法で、ほぼ完全にけい素が回収できており、その他の方法では、平均で回収率76.99%~91.50%であった。また、試料別にみると、342a、122g、122eの標準試料の回収率が良く、5L、6gは低い結果であった。

表 4 分析 結果(1)

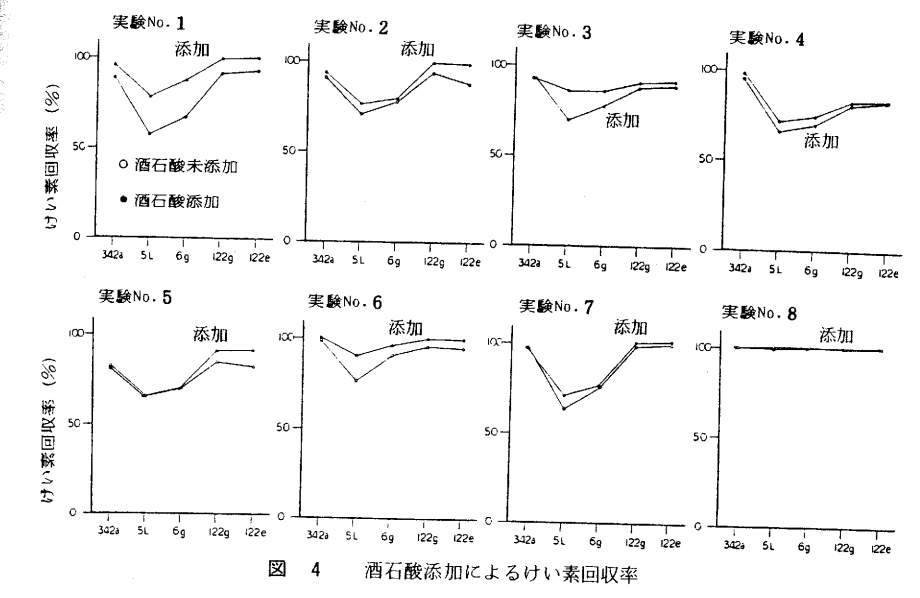
		12 a .73%)	, .	∫L •83%		g .05%		2 2 g		2 2 e	77 (4
	I C P 分析值	回収	I C P 分析 fi	回収率		G (77)	1.	517%			1
	2.418	88.57	1.048	57.27	0.706	67.21				93.02	79.47
2									0.449		84.39
									0.467		89.45
4									0.426		82.03
5									0.419		76.99
6	2.698	98.83	1.403	76.67	0.955	90.95	0.496	95.94	0.485	95.10	91.50
	2.649	97.03	1.161	63.44	0.798	76.03	0.510	98.61	0.508	99.55	86.93
										100.001	
平均 2	.554	3.55	1.353	73.93	0.844	80.41	0.477	92 26 (0.467 9		86.36

1-5 酒石酸添加によるけい素回収率の検討

近藤らの報告によれば、けい素の加水分解防止用には、測定溶液中0.5g/100ml程度までの酒石 酸の添加が望ましく、8種類の溶解操作中試料が完全に溶解した時に、酒石酸 (1.0g/200ml)を添 加した。その後、ロ過操作を行い、ICP分析した結果を表5に示し、各実験結果を図4に示す。

表 5 分析結果(2)

	(2.	2 a 73 %)		5 L •83 %	(1	6 g .05 %	(0.	2 2 g 517 %)	1 2	2 2 e 10 %)	平均
	I C P 分析値	回収率	I C P 分析值	回収	率 I C P 分析 €	回収率	E I C F	直回収率			回収率
	2.619	95.93	1.434	78.3				5 99.43			92.41
2								99.44			89.58
3								88.10			83.45
4	2.595	95.05	1.210	66.12	0.733	69.81	0.419	81.01	0.424	83.14	79.03
5								90.83			79.48
0	2.754	100.88	1.650	90.16	1.013	96.48	0.520	100.66	0.510	100.04	97.65
								101.57			89.69
8								100.00			99.92
								95.16			88.91



けい素回収率は、酒石酸を添加しない場合の回収率とほぼ同様の傾向がみられるが、実験Na 3, 4 では逆に酒石酸を添加しない場合の方が、回収率が良かった。

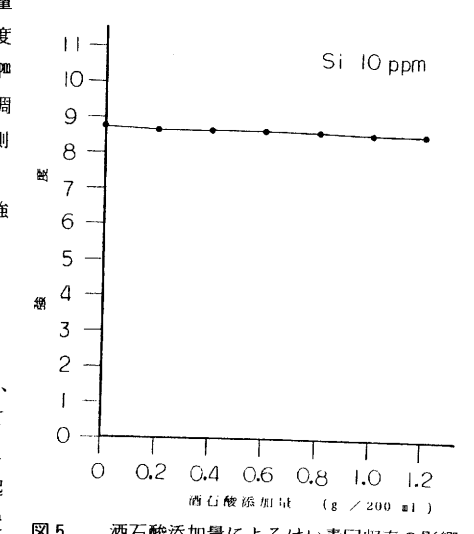
1-6 酒石酸添加による強度への影響

酒石酸の添加によって、試料溶液と検量 線溶液の条件が変化するため、これが強度 に及ぼす影響をみるため、けい素濃度10mm の溶液において、順次酒石酸を添加した調 製溶液について、そのスペクトル強度を測 定し、その結果を図5に示す。

この結果、酒石酸の添加量によって、強 度は影響を受けないことが認められた。

1-7 ロ過操作によるけい素回収率への 影響

8種類の溶解方法による実験結果から、 けい素含有量が約0.5%と比較的少い122g、 122eのけい素回収率が、酒石酸を添加して も、実験Na 3, 4で90%以上にならないこ とから、口過操作によりけい素の損失が起 ると考えられるため、口過操作の不要な炭 素含有量の少い炭素鋼(C0.18~0.85%、



酒石酸添加量によるけい素回収率の影響

5 試料)を用い、実験Na 3 の溶解方法で、ロ過の影響を調べた。結果を図 6 に示す。

いずれの試料溶液についても、口過 操作によって約5%前後けい素が未回 収となり、何らかの形で損失している ものと考えられる。

1-8 けい素未回収の検討

8種類の溶解方法でロ過操作によってけい素が損失し、未回収の原因となっているが、溶解時に浮遊する遊離炭素の影響が最も大きいと考えられるため、実験M1~8の結果から、試料中の炭素含有量とけい素未回収の関係を図7に示した。しかし、両者の間に良

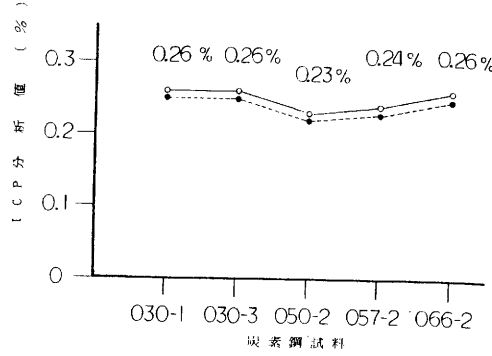


図 6 ロ過によるけい素回収率の影響

い相関関係は認められず、炭素含有量だけが影響しているのではないと考えられる。また、標準試料5Lについて、いずれの溶解方法でもけい素回収率が一番悪く、試料中の炭素量とともに、けい素量および硫黄量が影響していると考えられ、C・Si・S値を求め、これとけい素未回収率の関係を図8に示す。

これによると、8種類の溶解方法について、いずれも一次的な正の相関関係が認められる。

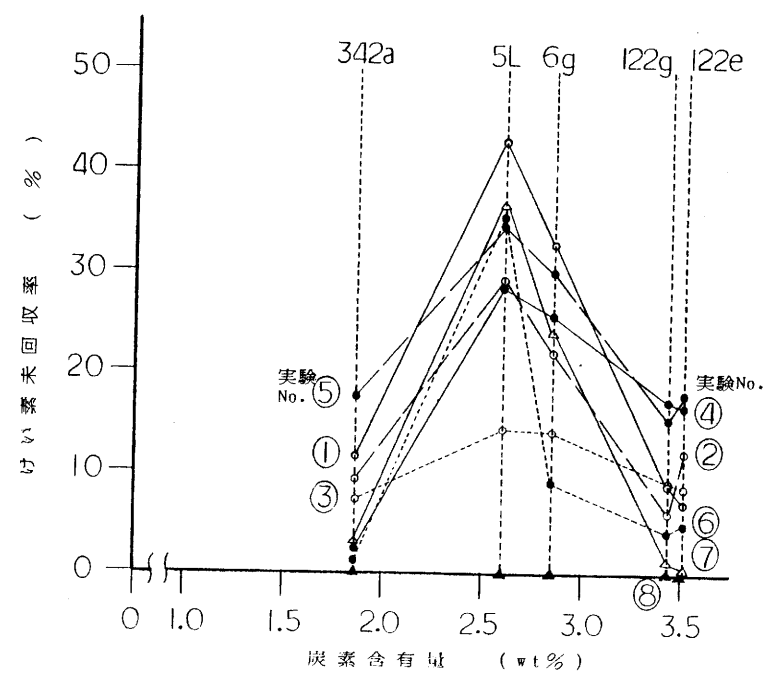


図 7 けい素未回収率と炭素含有量との関係

-80-

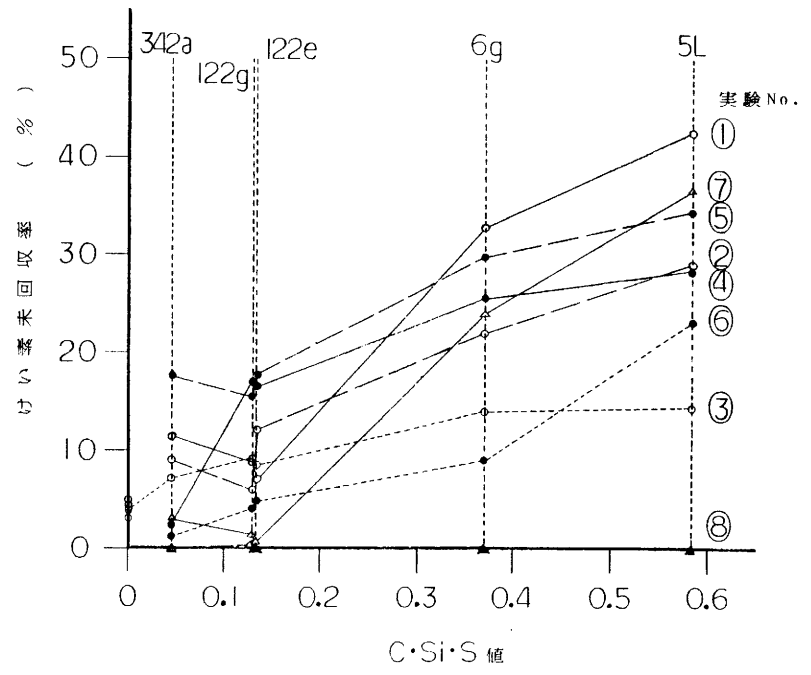


図 8 けい素未回収率とC・Si・S値との関係

2. 硝酸一過塩素酸溶解方法(実験Na.8)の検討

実験No. $1 \sim 7$ による溶解方法では、全ての標準試料でけい素回収率100 %達成は難しく、同時分析による定量は困難と考えられる。しかし、実験No. 8 による溶解方法では、いずれの標準試料についてもけい素回収率がほぼ100 %であり、その分析値も J I S の化学分析許容差(対標準試料)の範囲内で、依頼分析に充分活用出来、同時分析の溶解方法として採用が可能と考えられ、この方法について詳細に検討した。

この硝酸一過塩素酸溶解方法は、JISによるけい素の重量法分析の前処理操作であり、試料 分解後、強熱を続けて二酸化けい素として析出させる方法である。

このため、けい素含有量が高い鋳鉄試料では、分解後の加熱時間や、過塩素酸添加量によって、 けい素回収率が大きく影響されると考えられ、溶解時間と過塩素酸添加量について検討した。

2-1 試料前処理操作の検討

2-1-1 溶解時間

標準試料342a(けい素 2.73%)を使用し、試料1.0gを(1+1)硝酸20mlで分解し、二酸化窒素を追い出した後、60%過塩素酸を添加した後の加熱時間とけい素回収率の関係を調べた。溶解した試料溶液を加熱し続け、順次ある時間毎に加熱を止め、ただちに口過洗浄して分析試料溶液を調製した。12分間加熱し続けた時に白煙が発生し始め、15分後には完全な白煙処理に入って、けい酸の脱水反応に入っている。

実験結果を表6と図9に示す。

これより、白煙が出始める直前までに加熱を止めた試料溶液では、ほぼ定量的にけい素が回 収出来ていることが分る。

表 6 溶解時間とけい素同収率の関係

			4 10 10	
ā	は料の前処理	(答解時間)	I C P 分析値	けい素回収率
1硝酸分	後、過塩素酸を添加し、	酸化窒素放出後、直ちに口過		100.07
2	//	2 分間加熱後、口過	2.725	99.82
3	//	7 分間加熱後、口過	2.733	100.11
4	//	12分間加熱後、口過	0.118	4.33
5	//	15分間原後、口過	0.000	0.00

2-1-2 過塩素酸添加量

実験Na 8 では、過塩素酸20mlの添加量で良好な 結果が得られた。しかし、過塩素酸の添加量によ って、噴霧溶液の液性(比重、粘度、表面張力) が変化して起る物理的干渉が強度に影響を及ぼし、 分析精度を悪くする恐れがあるため、硝酸分解後 の過塩素酸添加量について検討した。

実験結果を表7に示す。

この中で、ロ過時の洗浄液に溶液中に含まれて いない温塩酸を使用した場合、影響を受ける可能 性も考えられ、温硝酸洗浄と併せて検討した。温 塩酸を使用した場合、鉄

が黄色に発色するため、 充分洗浄出来ているかど うかの確認が容易である

ためである。

実験結果から、過塩素 酸添加量およびロ過洗浄 液に関係なく全ての実験 で、分析値の正確度も高 く、ほぼ100%のけい素 回収率が得られている。

以上の実験結果から、 硝酸一過塩素酸溶解法に

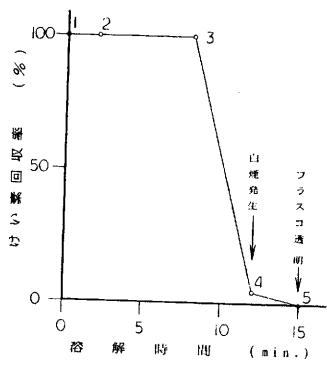


図9 溶解時間とけい素回収率の関係

表 7 過塩素酸添加量とけい素回収率の関係

(1+1) 硝酸量	60%過塩素酸	(1+1	0)硝酸洗浄	(1+10)塩酸洗浄		
(m1)	添加量 (ml)	I C P 分析値	けい素 回収率	ICP 分析値	けい素 回収率	
2 0	5	2.747	100.62	2.740	100.37	
2 0	1 0	2.735	100.18	2.739	100.37	
2 0	1 5	2.723	99.74	2.741	100.40	
2 0	2 0	2.735	100.18	2.726	99.85	
2 0	3 0	2.731	100.04	2.723	99.74	
華	均	2.734	100.15	2.734	100.15	

よるけい素高含有試料の試料溶液調製最適条件は表8のようになる。

表 8 けい素高含有試料の最適調製方法

試 料 はかり量 (8)	(1+1) 硝酸 (ml)	60%過塩素酸 (ml)	容解後の加熱時間 (分)	口過洗浄液
0.5~1.0	20	5 ~20	1 ~ 5 (白煙発生前のみ)	(ただちにロ過後) (1+10) 温塩酸

2-2 JIS重量法との比較

5個の実験試料(ねずみ 鋳鉄、球状黒鉛鋳鉄)を JISに基づく重量法、お よびICP分析法により分 析した結果を表9に示す。 この結果、JIS法とI CP法の差(d)は0.019wt

%であり、繰り返し精度に ついては、分析精度の非常 に良いJIS法に比べIC P法の方が約6倍良好であ った。

これにより、従来、操作が煩雑で長時間要し たJIS重量法に代って硝酸一過塩素酸溶解法 によって精度も正確度も一段と良い同時分析が 可能となり、鉄鋼分析の迅速化に大きく貢献す

2-3 調製試料溶液の保存性

ると考えられる。

硝酸一過塩素酸溶解法により調製した試料溶 液は、時間経過とともにけい素が析出して、Ⅰ CP分析値に影響を及ぼすことが考えられ、調 製した試料溶液 (標準試料342a)を最高24日間 保存し、随時ICP分析を行った。

実験結果を表10に示す。

結果から、日間による変動はほとんどなく、 6回分析のRは0.022wt%と小さく、また標準 値との差|d|も0.003wt%とJISの化学分析許 容差(対標準試料)の範囲内で、日が経っても 正確度の高い分析値を得ることが可能であると 分った。

分析結果(TIS重量法との比較)

		74-1-		2177 (-> 7-1	J+X /
実 験	JIS	重量法	i c	P 法	
試料名	化 学分析値	R	I-C P 分析値	R	d
No. 1 (FC-20)	1.873	0.003	1.860	0.0002	-0.013
No. 2 (FCD-45)	2.581	0.011	2.583	0.0045	0.002
No. 3 (FCD-45)	2.868	0.016	2.883	0.0007	0.015
No. 4 (FCD-45)	2.767	0.022	2.719	0.0031	0.048
No. 5 (FC-20)	1.877	0.019	1.861	0.0031	-0.016
R	0.0	014	0.0	0023	 d 0.019

表 10 調製試料溶液の保存性

	両表試行位成の休存性						
試料調製後の 経過時間	I C P 分析値	d					
調製日	2.733	0.003					
7 日	2.726	-0.004					
12日	2.728	-0.002					
15日	2.732	0.002					
21日	2.732	0.002					
2 4 日	2.711	-0.019					
平均值	2.727	d 0.003					
R	0.022						
۵	0.0083						
C V	0.3040						

2-4 繰り返し再現精度

2-3 で調製した試料溶液を使用して、10回繰り返しICP分析した結果を表11に示す。

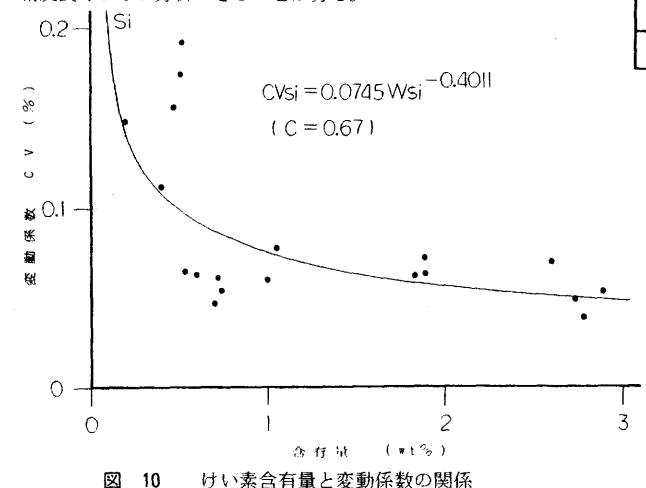
単純繰り返し精度は、良好な結果が得られ、R は 0.0066wt %で変動係数 C V も 0.0733%であり、精度良い分析が可能である。

2-5 けい素含有量と変動係数の関係

標準試料(鋳鉄 5 個、ステンレス鋼 5 個)、実験試料(ねずみ鋳鉄 2 個、球状黒鉛鋳鉄 3 個) および検量線用合成溶液(4 溶液)について、10回繰り返し分析した時の含有量に対する変動係数の関係を示すと図10のようになる。

図中の近似式は、各試料溶液のけい素含有量と分析時の変動係数を指数関数で最小二乗近似を行って求めたもので、Cはその時の相関係数を示す。

けい素含有量0.48wt%以上の試料で変動係数が0.1%以下、0.08wt %以上で0.2%以下となり、通常の鋳鉄試料では、変動係数0.05%前後で精度良くICP分析できることが分る。



四 10 0 0 米百日里已及到你数少因你

3. モリブデンによるけい素のスペクトル強度に及ぼす影響とその補正方法

ステンレス鋼のうち、モリブデンを $1.2\sim6$ wt%含有する SUS 316、317や、 $0.15\sim0.45$ wt%・含有するクロムモリブデン鋼などの鋼種のけい素の分析において、けい素の分析線(2124.15Å)にモリブデンの分析線(2124.10Å)が重ってスペクトル干渉を起し、けい素を I C P 同時分析した場合、正の誤差を与える。ハード的には、分光器の分解能をあげて近接線と完全に分離するか、線引きの溝数の多い回折格子を用いて分解能をあげる方法があるが、これが困難なため、I C P 分析値から、モリブデン含有量に対する影響量を算出し、その補正方法を検討した。

表11 単純繰り返し 再現精度

繰り返し 回数	ICP 分析値
1	2.731
2	2.730
3	2.730
4	2.729
5	2.733
6	2.726
7	2.727
8	2.729
9	2.730
1 0	2.728
平均值	2.729
R	0.0066
6	0.0020
Cν	0.0733

3-1 試料 (ステンレス鋼) の溶解方法

試料1.0gを0.1mgの桁まで正確に秤り取り、(1+1)塩酸20mlで静かに加熱分解し、30%過酸化水素水数mlを加えて完全に分解した後、硝酸5mlを加え、しばらく加熱後冷却し、メスフラスコに移して内標準元素としてのイットリウムを最終濃度100meとなるよう加えて調製した。

3-2 検量線の作成

マトリックスとして純鉄を溶解した水溶液に、けい素の標準溶液だけを添加した溶液(No.1~5)と、けい素濃度を一定(含有量0.2 wt%相当)にし、モリブデンを一定量毎に添加した溶液(No.6~10)およびステンレス鋼の標準試料(5個)を溶解した溶液を調製し、これを単独5回分析して、そのスペクトル強度を測定し、その平均値を強度として検量線を作成した。その時の検量線式を表12に示し、検量線を図11に示す。

この図から、ステンレス鋼標準 試料は全て正の誤差を生じ上方に 外れており、特にモリブデンを2 wt%以上含有する652-3、652-6 は検量線から大きく離れている。

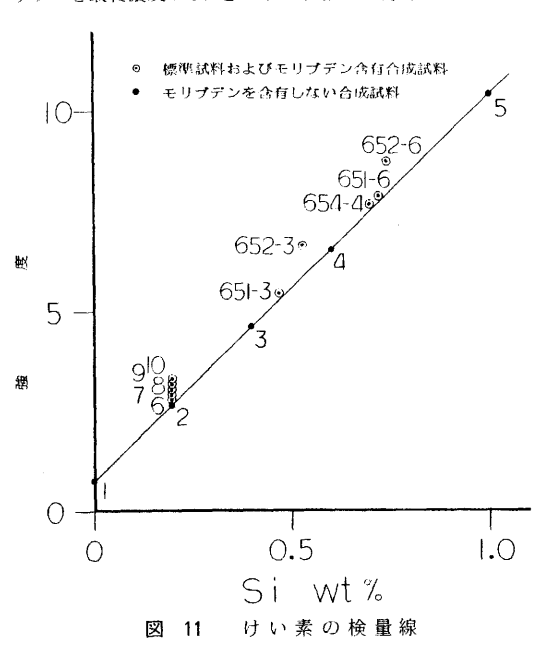


表 12 けい素の検量線式

元列	分析波長 (A)	含有量範囲 (%)	検	量	線	式	R	STD	BEC
Si	2124.0	0~1	Wsi = ().	10315	<u> I – </u>	0.07427	0.00066	0.00082	0.0743

3-3 モリブデンの影響量の検討

3-3-1 影響量と補正方法

作成した検量線を使用して、調製した試料溶液の分析結果を表13に示す。

この結果、けい素のICP分析値 (Psi) は、モリブデンを多く含有する試料程、標準値から 外れており、このモリブデン影響量を図12に示す。この図から影響量はモリブデン含有量に対 して一次的関係を持っていると分る。

従って、1 C P 分析値 (Psi) とけい素の標準値 (Wsi) との差 d (Psi—Wsi) を求め、この影響量をモリブデン含有量 1 % 当りに換算した値を表13に示す。

モリブデンを0.5%以上含有する試料溶液についてほぼ同じ値が得られ、その平均値を影響量の一次係数として求め、次の補正式を求めた。 (式4))

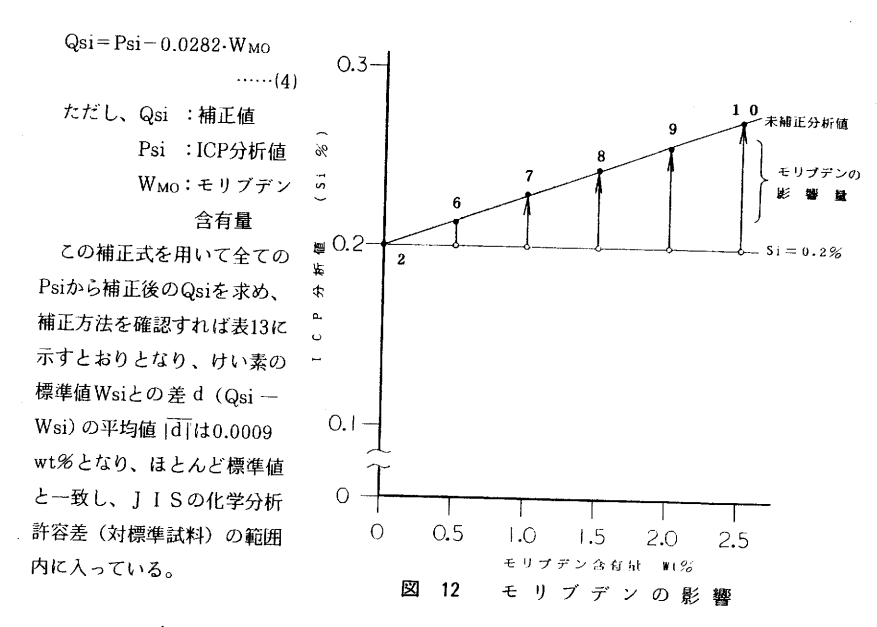


表 13 モリブデンを含有する合成試料と標準試料の分析結果

-				, 5011	る行成試科	C 惊华試科	の分析結果	
	試料名	モリブデン 含有量 %	けい 素含有量 Wsi %	I C P分析値 Psi %	į.	Mo1%当りの	補正値 Qsi %	d (Qs; —Ws;)
	2	0	0.2	0.2005	0.0005	 	0.2005	+
	6	0.5	0.2	0.2131	0.0131	0.0262	0.1990	-0.0010
ı	7	1.0	0.2	0.2287	0.0287	0.0287		
	8	1.5	0.2	0.2427	0.0427	0.0285	0.2004	0.0004
	9	2.0	0.2	0.2555	0.0555	0.0278	0.1991	-0.0009
	10	2.5	0.2	0.2711	0.0711	0.0284	0.2006	0.0006
	652-3	2.47	0.53	0.6004	0.0704	0.0285	0.5307	0.0007
	652-6	2.33	0.74	0.8083	0.0683	0.0293	0.7426	0.0026
ľ	651-6	0.084	0.72	0.7231	0.0031	0.0369	0.7207	0.0007
	651-3	0.073	0.47	0.4716	0.0016	0.0219	0.4695	-0.0005
L	554-4	0.071	0.70	0.7038	0.0038	0.0535	0.7018	0.0018
				L	平均值	0.0282	ldl	0.0009

3-3-2 補正式を用いた 分析結果

3-3-1で得られた補正式 を用いて、5個のステンレス鋼 標準試料を10回ICP分析した 結果を表14に示す。

この結果、正確度は非常に高く、Rは0.042%、標準偏差の平均値では0.0012%、変動係数の平均値ででは0.2118%と非常に精度良い分析結果が得られ、けい素の分析に当って、モリブデンの影響を完全に排除することが可能となった。

表14 繰り返し再現精度(ステンレス中のけい素)

			× (^) /		7 × 2157
繰り返し	652-3	652-6	651-6	651-3	654-4
P 2	(0.53%)	(0.74%)	(0.72%)	(0.47%)	(0.70%
1	0.5345	0.7440	0.7232	0.4725	0.7033
2	0.5318	0.7429	0.7216	0.4707	0.7016
3	0.5310	0.7411	0.7214	0.4701	0.7001
4	0.5300	0.7422	0.7206	0.4695	0.7006
5	0.5300	0.7419	0.7196	0.4702	0.6999
6	0.5287	0.7416	0.7197	0.4681	0.7012
7	0.5295	0.7420	0.7197	0.4688	0.7011
8	0.5293	0.7425	0.7197	0.4671	0.7009
9	0.5288	0.7417	0.7204	0.4687	0.7015
1 0	0.5293	0.7415	0.7206	0.4688	0.7006
平均值	0.5305	0.7421	0.7207	0.4695	0.7011
R	0.0058	0.0029	0.0036	0.0054	0.0034
٥	0.0018	0.0008	0.0011	0.0015	0.0010
C V	0.3319	0.1118	0.1582	0.3217	0.1355

 $\begin{array}{l} R = X_{max} - X_{lnin} \\ \alpha_i = \sqrt{\sum (X_i - \overline{X})/(n-1)} \\ CV = \alpha_i / \overline{X} \times 100 \end{array}$

4. 鋳鉄材料の性質に影響を及ぼす微量成分の分析

鋳鉄中には成分として添加されている元素だけでなく、不純物として様々な元素が含まれており、その微量成分が鋳鉄の性質に影響を及ぼすことがある。

微量のニッケル、モリブデン、バナジウムなどは、組織に好影響を与え、強度と靱性が増加し、 銅やコバルトも黒鉛組織を良好にする。

また、タングステンは耐熱性を向上させるなどの良い影響を与える一方、銅が多過ぎると加工 割れを生じたり、アルミニウムが多いと湯流れが悪くなるといった悪影響を生じる。

このため、鋳鉄の組織や機械的性質について検討する場合、これらの微量成分の存在とその含有量が取り上げられることになる。

本研究では、標準試料および鋳鉄中に含まれる微量成分のICP同時分析について検討した。

4-1 各元素の分析条件の検討

本研究では、ニッケル、銅、バナジウム、チタン、モリブデン、アルミニウム、コバルト、タングステンの8元素について検討した。以下に示す結果よりほとんどの元素について前述の最適同時分析条件の使用が可能と考えられる。

4-1-1 キャリヤガス流量

各8元素を含む調製溶液について、キャリヤガス流量を変化させた時のスペクトル強度を測定し、その結果を図13~15に示す。

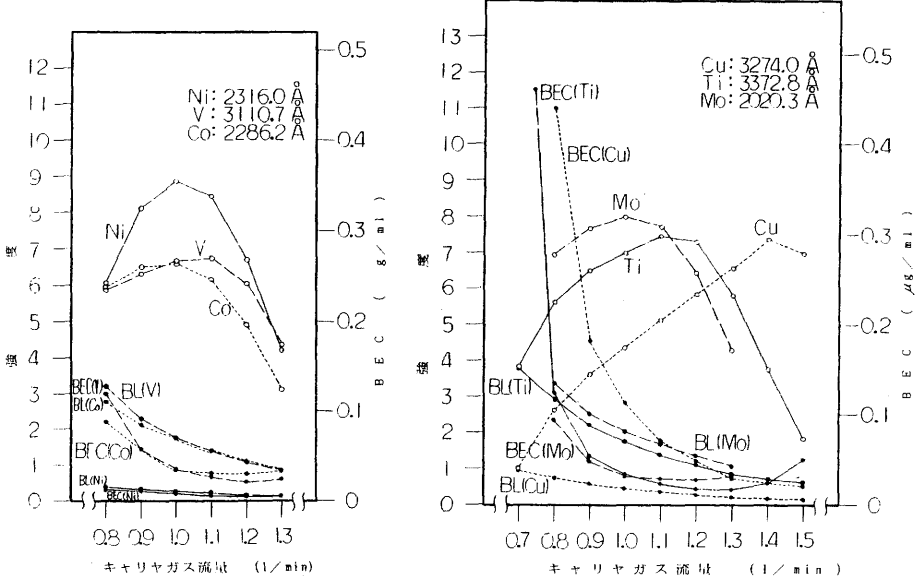


図13 キャリヤガス流量と強度の関係

図14 キャリヤガス流量と強度の関係

6元素については、スペクトル強度にピークが見られ線がイオン線であるため、ピークを示す時のキャリヤガス、、発生を発生を光強度が増大するためである。しかし、アルミニウムとタングステン流量が大きくなるらいでは、よる程がであり、ピークがみ低くないのはイオン化率が低くあるいのはイオン化率が低であると考えられるためである。

4-1-2 光軸高さ

キャリヤガス流量と同様に

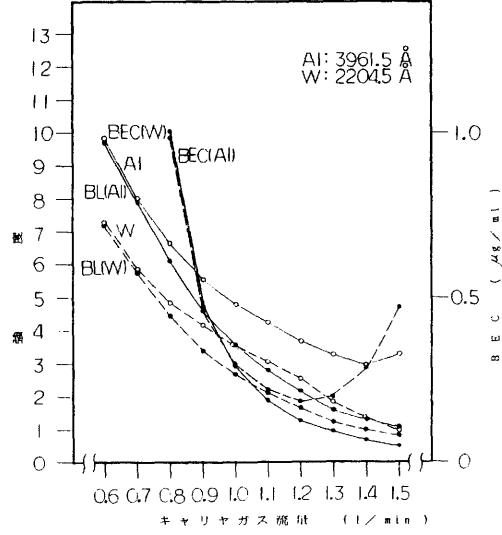


図15 キャリヤガス流量と強度の関係

--88--

光軸高さを変化させた時のスペクトル強度を測定し、その結果を図16~18に示す。

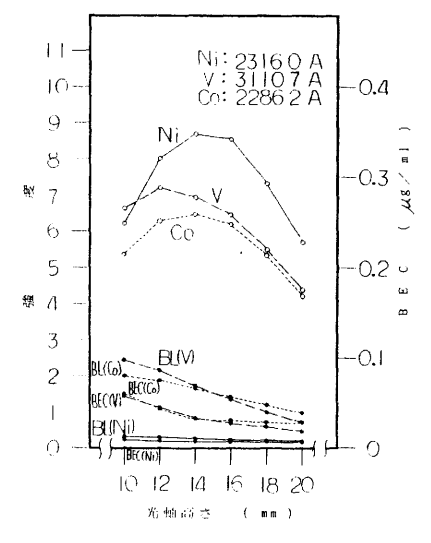


図16 光軸高さと強度の関係

光軸高さ12mmと14mmにピークを示す元素 が多く、アルミニウムとタングステンでピ ークがみられない。

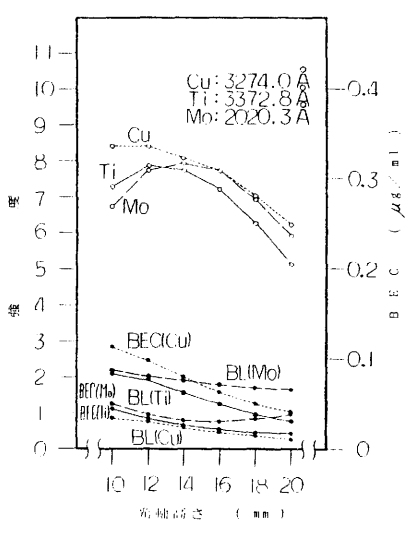


図17 光軸高さと強度の関係

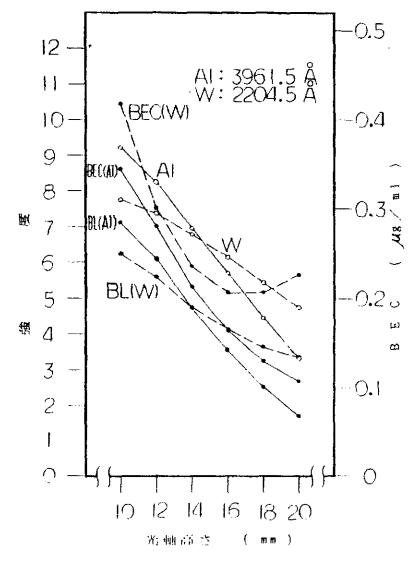


図18 光軸高さと強度の関係

4-2 他元素による強度への影響

他元素の強度に及ぼす影響を 調べた結果を図19に示す。

これによると、鉄(含有量90 %相当)を添加した場合、全ての元素でスペクトル強度の上昇がみられ、ニッケル、銅、バナジウム、チタン、アルミニウム、コバルトの6元素については、鉄を除くいずれの元素を添加しても、ほぼ一定の強度に安定している。しかし、モリブデンとタングステンは、その元素のみの時の強度から大きく上下に変動しており、これが他元素の影響かどうかは判別し難い。

このため、検量線用標準溶液 を調製する場合、最低限鉄の添 加が必要である。

4-3 各元素の検量線の作成

マトリックスとして純鉄(含

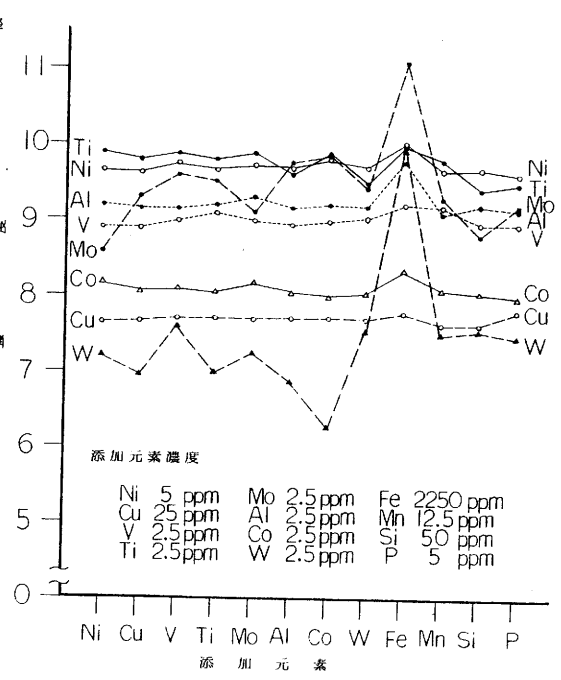


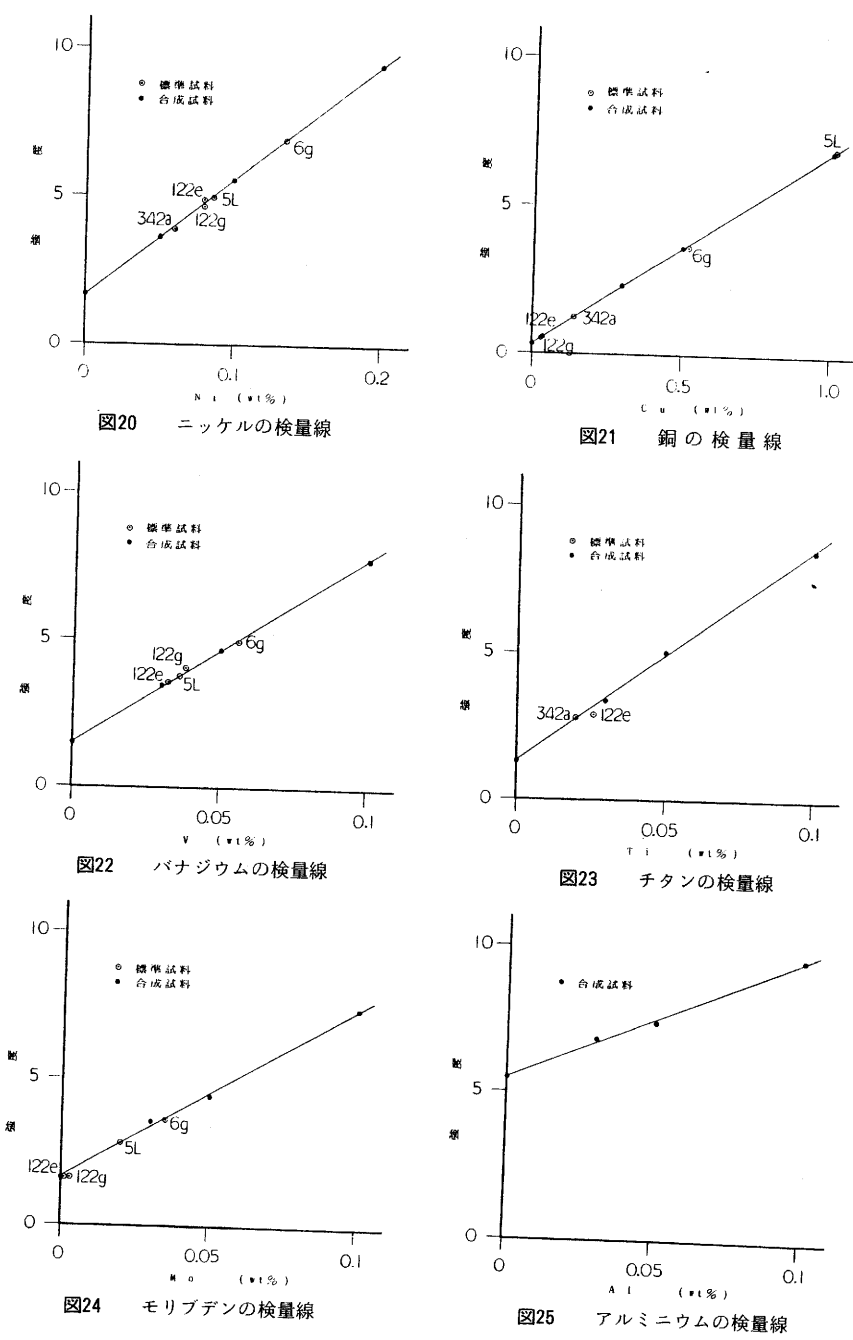
図 19 他元素の強度に及ぼす影響

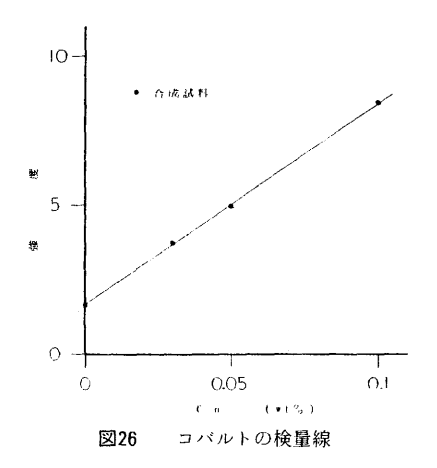
有量90%相当)を溶解した水溶液に、各元素の標準溶液を添加して、検量線用の標準溶液として 調製し、これを単独5回分析して、そのスペクトル強度を測定し、その平均値を強度として検量 線を作成した。

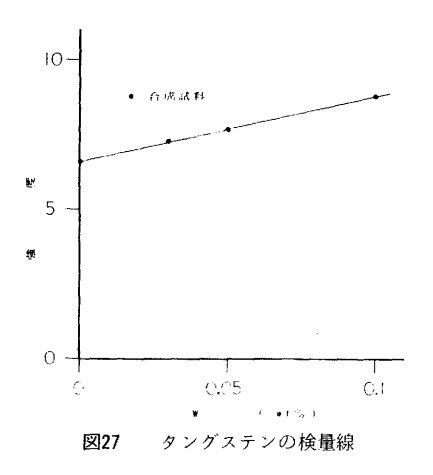
その時の検量線式を表15に示し、検量線を図20~27に示す。

表 15 各元素の検量線式

元素	分析波長 (A)	含有量範囲 (%)	検	•	線	式	R	STD	BEC
Ni	2316.0	0 ~0.2	Wni = O.	02570	T-	0.04297	0.00023	0 mme	
	3274.0		Wcu = 0.						
V	3110.7	0 ~0.1	Wv = 0.	01585	 I	0.02366	0.00024	0.0029	0.0490
Τi	3372.8	0 ~0.1	WTi = 0.0	01385	 I—	0.01783	0.0078	0.00112	0.0237
Мо	2020.3	0 ~0.1	Wm6 = 0.0	01733	I—(0.02854	0.00016	0.00112	0.0176
ΑТ	3961.5	0 ~0.1	Wa1 = 0.0	02434	[-(0.13395	0.00234	0.00203	0.0200
Со	2286.2	0 ~0.1	Wco = 0.0	01478]	[—(0.02389	0.00058	0.00037	0.1340
W	2204.5	0 ~0.1	Ww = 0.0	04606]	[—(0.30267	0.00086	0.0002	0.0203







4-4 標準試料および実験試料の分析結果

標準試料および実験試料の10回ICP同時分析した結果を表16および表17に示す。

表 16 標準試料の分析結果

試料名 課題[1		N i	i c			Cu		V		T i				Мо	
		I CP	đ	標準直	I C P	d	標準直	I C P	d	標準直	I C P	d	響値	ICP	d
3 4 2 a	0.06	0.056	-0.004	0.14	0.137	-0.003	-	0.019	_	0.020	0.020	0	_	0	_
51.	0.086	0.083	-0.003	1.01	1.005	-0.005	0.036	0.036	0	-	0.052	_	0.020	0.020	0
6 g	0.135	0.134	-0.001	0.502	0.496	-0.006	0.056	0.055	-0.001	-	0.060	-	0.035	0.034	-0.001
1 2 2 g	0.080	0.076	0.004	0.030	0.028	-0.002	0.038	0.040	0.002	-	0.029	-	0.003	0.001	-0.002
122e	0.080	0.083	0.003	0.033	0.031	-0.002	0.032	0.033	0.001	0.026	0.022	-0.004	0.001	0.001	0
141	0	.003		0	.004		0.	100		0.	001		0.1	001	

表 17 実験試料の分析結果

試料名	Ni		Cu		V		Ti		Mo		A1		Co		w	
J 30 ET 63	LCP	R	1CP	R	ICP	R	ICP	R	ICP	R	ICP	R	ICP	R	1 C P	R
1	0.0204	0.0004	0.1010	0.0008	0.0143	0.0003	0.0244	0.0003	0.0012	0.0003	0.0049	0.0019	0.0021	0.0002	0.0049	0.0035
2	0.0077	0.0005	0.2365	0.0006	0.0019	0.0003	0.0105	0.0003	0.0013	0.0004	0.0237	0.0024	0	0	0.0026	0.0020
3	0.0061	0.0008	0.0229	0.0011	0.0041	0.0004	0.0137	0.0004	0.0010	0.0003	0.0313	0.0022	0	0	0.0056	0.0029
4	0.0081	0.0004	0.0245	0.00081	0.0039	0.0004	0.0200	0.0003	0.0021	0.0005	0.0180	0.0019	0.0007	0.0003	0.0017	0.0034
5	0.0264	0.0006	0.0746	0.0011	0.0170	0.0005	0.0179	0.0005	0.0029	0.0004	0.0066	0.0017	0.0026	0.0003	0.0028	0.0017
\overline{R}	0.00	05	0.00	09	0.0	004	0.	0003	0.0	004	0.0	020	0.0	002	0.00	027

この結果、標準試料の同時分析において、標準値の分っている5元素はいずれも正確度の高い分析結果が出ており、JISの化学分析許容差(対標準試料)の範囲内で迅速な同時定量が可能であると考えられる。

しかし、実験試料の同時分析において、含有量の少いアルミニウムとタングステンのバラッキ が非常に大きくなっている。

4-5 繰り返し再現精度

ねずみ鋳鉄 (FC20) の実験試料1を使用して、微量8元素を10回繰り返し同時分析した結果を表18に示す。アルミニウムとタングステンについて、検量線では直線関係が得られているものの、バックグラウンドの信号が強く、検量線のBEC値がかなり高いためバラツキも大きく精度も悪くなっている。その他の各元素はバラツキも小さく精度も良い。

表 18 高周波プラズマ分析の繰り返し再現精度(実験試料1)

	₹ ₹ 10	100700112		川の株り区			,	
繰り返し 回 数	Ni	Cu	V	Τi	Мo	A 1	Со	₩
1	0.0206	0.1043	0.0144	0.0245	0.0013	0.0057	0.0022	0.0068
2	0.0202	0.1038	0.0142	0.0244	0.0011	0.0044	0.0021	0.0046
3	0.0204	0.1041	0.0144	0.0245	0.0013	0.0053	0.0022	0.0045
4	0.0204	0.1041	0.0143	0.0245	0.0012	0.0047	0.0021	0.0051
5	0.0204	0.1037	0.0142	0.0244	0.0012	0.0042	0.0020	0.0050
6	0.0203	0.1037	0.0142	0.0243	0.0011	0.0040	0.0020	0.0037
7	0.0204	0.1044	0.0144	0.0246	0.0013	0.0059	0.0020	0.0053
8	0.0206	0.1040	0.0143	0.0244	0.0012	0.0050	0.0021	0.0048
9	0.0203	0.1037	0.0142	0.0244	0.0012	0.0040	0.0021	0.0056
10	0.0205	0.1041	0.0143	0.0245	0.0014	0.0048	0.0021	0.0033
平均值	0.0204	0.1040	0.0143	0.0244	0.0012	0.0049	0.0021	0.0049
R	0.0004	0.0007	0.0002	0.0003	0.0003	0.0019	0.0002	0.0035
۵	0.0012	0.0027	0.0004	0.0007	0.0008	0.0063	0.0007	0.0010
€ V	0.5879	0.2597	0.6303	0.2864	6.5574	12.990	3.3175	20.070

 $R = X_{max.} - X_{min.}$ $Q = \sqrt{\sum (x_i - \overline{x})/(n - 1)}$ $CV = Q / X \times 100$

4-6 各元素の含有量と変動係数の関係

微量各8元素の10回繰り返しICP同時分析した時の、元素含有量に対する変動係数の関係を

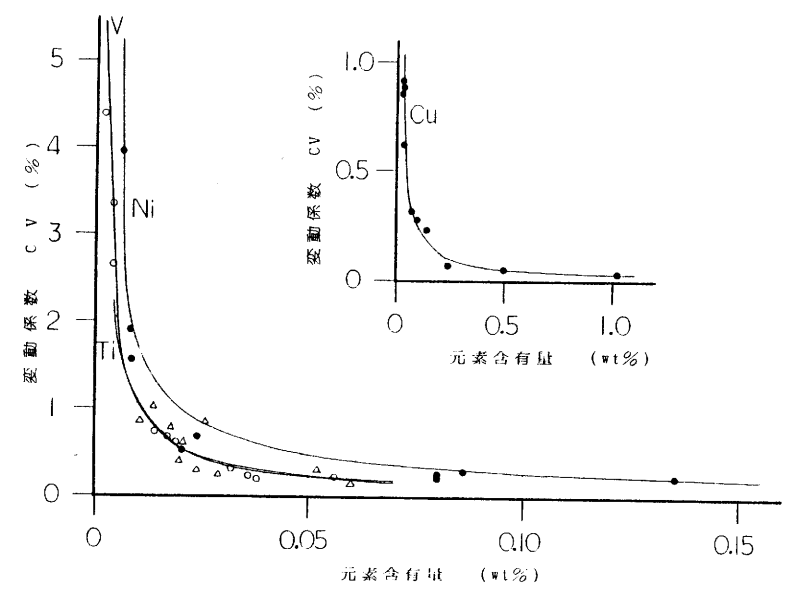


図 28 元素含有量と変動係数の関係

図28~30に示し、両者の値を最小二乗近似 して求めた相関関係式と、その時の相関係 数を表19に示す。

これらの図から、いずれも指数関数で良く近似できていることが分り、表20に変動係数1%以内で分析可能な各元素含有量の下限値を示す。

されらの結果、今回実験に供したねずみ 鋳鉄および球状黒鉛鋳鉄の同時分析におい て、銅、チタンについては精度や正確さに は全く問題はなく、ニッケル、バナジウム、 コバルトについても比較的精度良く分析す ることが可能である。しかし、モリブデン アルミニウム、タングステンについては、 鋳鉄中の含有量も少く、分析時の変動係数 が大きいため、同時分析によって精度良い

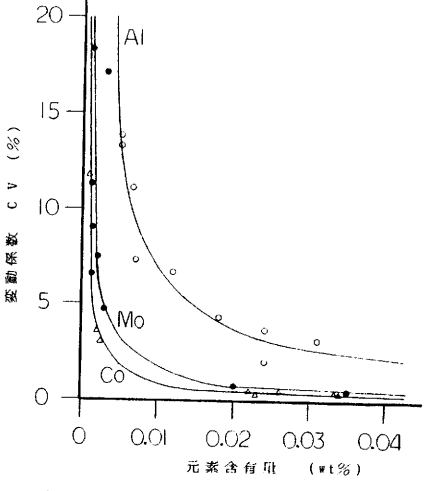


図 29 元素含有量と変動係数の関係

結果を得ることは難しいと考えられ、表中の元素含有量以下の試料を分析する場合、それぞれの 元素に対して最適な分析条件を設定した方がより正確で精度良い分析値が得られると考えられる。

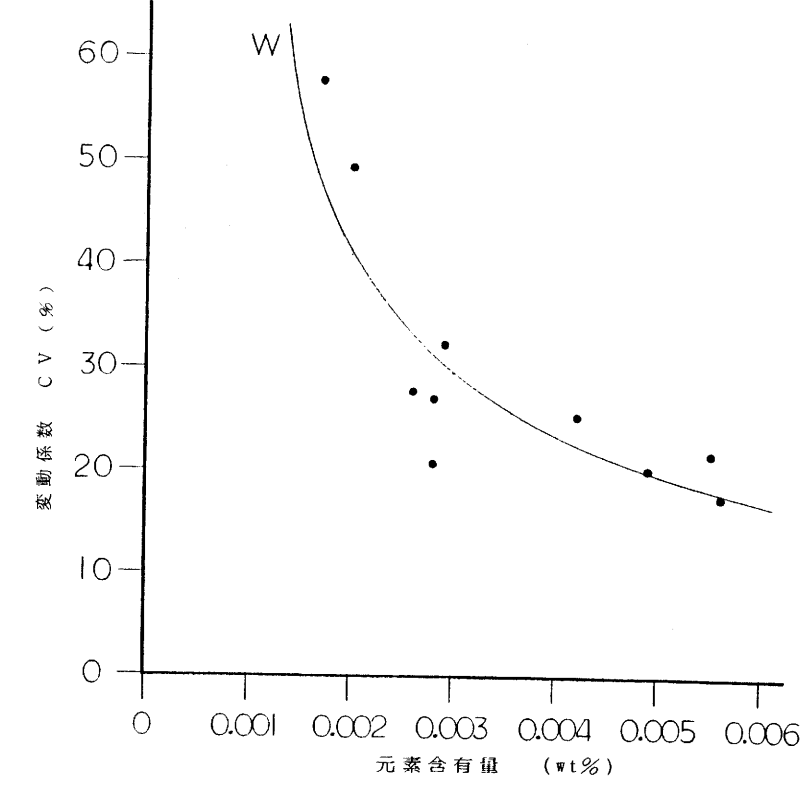


図 30 元素含有量と変動係数の関係

表19 変動係数と元素含有量の相関関係

	文到协致	划判1术		
,	相與	関 係	式	相関係数
CVHi :	= 0.04	59 W Ni -	0.7773	0.87
CVcu :	= 0.02	71 Wcu -	0.9428	0.98
CV∨ =	= 0.01	01 Wy -	1.0049	0.99
CV⊤; ≡	= 0.01	24 WT; -	0.9656	0.80
C Vmo =	= 0.02	31 Wito -	0.9278	0.92
CVAI =	= 0.11	32 WA1 -	0.8925	0.95
C Vc. =	= 0.01	40 Wco -	0.9097	1.00
C V ₩ =	= 0.280	08 Ww -	0.8014	0.86
	CVco = CVco = CVA1 = CVCo =	相 略 CVcu = 0.04 CVcu = 0.02 CVv = 0.01 CVv = 0.01 CVv = 0.02 CVv = 0.01 CVv = 0.02 CVv = 0.01	相 関 関 例 係 CVcu = 0.0459 WN; CVcu = 0.0271 Wcu CVv = 0.0101 Wv CVv; = 0.0124 Wv; CVvo = 0.0231 Wvo CVal = 0.1132 Wat CVco = 0.0140 Wco	相 関 関 係 式 CV::: = 0.0459 WN: - 0.7773 CV:: = 0.0271 WCu - 0.9428 CV: = 0.0101 W - 1.0049 CV: = 0.0124 WT: - 0.9656 CV: = 0.0231 Wrts - 0.9278 CV: = 0.1132 WAI - 0.8925 CV: = 0.0140 WCo - 0.9097 CV: = 0.2808 Ww - 0.8014

表20 変動件数 1 %で分析可能 な元素含有量 (wt%)

13.7	L糸呂行里(Wt%)
元素名	元素含有量 (wt%)
N i	0.019
Cu	0.022
V	0.010
Τi	0.010
Мо	0.017
Λ Ι	0.084
Co	0.009
W	0.091

4. 分析時間

鋳鉄の場合、通常の依頼分析成分は、炭素、けい素、マンガン、りん、硫黄の5成分であり、このうち炭素、硫黄は、燃焼赤外線吸収法による同時分析装置で迅速に分析出来る。しかし、けい素の分析において、従来、JISに基づく二酸化けい素重量法による分析のため、分析に長時間を要していたが、今回の研究により、同時分析可能な溶解方法が見い出せたため、5成分分析の大巾な迅速化が可能となった。

また、モリブデンの影響についても、その一次補正係数を算出し、予めデータ処理装置に情報を 入力しておけば、同時分析が可能である。

このことから、炭素、硫黄以外の成分の定量は全てICP同時分析が可能となり、分析に先立って予め標準溶液を調製し、検量線を作成しておけば、約1時間で1試料(多元素同時分析のため分析元素数は関係しない)の分析が可能である。

5. ま と め

実験結果をまとめると次のようになる。

- けい素を高含有する鋳鉄は、硝酸一過塩素酸溶解法により、同時分析できる試料溶液の調製が可能である。
- 2. この方法により調製した溶液の分析については、その調製試料溶液の保存性も良く、JIS重量法と比較してもはるかに精度良く、正確に分析出来、依頼分析に充分活用出来る。
- 3. 調製溶液中への酒石酸添加法は、けい素高含有試料に対して決定的な溶解法とはならない。
- 4. 硝酸一過塩素酸溶解法以外の各種溶解方法では、一旦は溶解するものの、ロ過操作によって、 けい素が何らかの形で除外され負の誤差を与える原因となっており、C・Si・S値と良い相関関係 がある。
- 5. モリブデンの強度に及ぼす影響は一次的であり、予め標準溶液により補正式を求め、その係数 をデータ処理装置に入力しておけば、他元素と同様に同時分析が可能である。
- 6. 鋳鉄中の微量成分の同時分析について、銅、チタン、ニッケル、バナジウム、コバルトについては、その含有量範囲で精度良く分析出来るが、モリブデン、アルミニウム、タングステンについては含有量も少く、分析時の変動係数も大きいことから正確な分析値が期待出来ないため、それぞれの元素での最適分析条件による分析が必要と考えられる。

〈参 考 文 献〉

- 1. JIS G 1201-1980 鉄および鋼の分析方法の通則
- 2. JIS G 1212-1981 鉄および鋼中のけい素定量方法
- 3. JIS G 1257-1975 鉄および鋼の原子吸光分析方法
- 4. JIS Z 8402-1974 分析試験の許容差通則
- 5. 日本鉄鋼協会共同研究会鉄鋼分析部会化学分析分析分科会編:鉄鋼および原材料の原子吸光分析法 (1975)
- 6. 不破敬一郎,原口紘長編: "ICP発光分析",化学の領域増刊127号,(1980),(南江堂)
- 7. 日本学術振興会編:鉄鋼迅速分析法(続)(丸善)
- 8. 日本学術振興会編:鉄鋼化学分析全書(日刊工業新聞社)
- 9. 日本化学会編:実験化学講座 15(丸善)
- 10. 化学大辞典編集委員会編:化学大辞典(共立出版)
- 11. 鋳物技術講座編集委員会編:普通銑鉄鋳物(日刊工業新聞社)
- 12. 斎藤弥平:鋳鉄工学(丸善)
- 13. 遠藤芳秀, 坂尾則隆:分析化学, Vol30, 433 (1981)
- 14. 杉前昭好:公害と対策, Vol117, No.4, 307
- 15. JIS圧力容器編集委員会編:JIS圧力容器(日本規格協会)
- 16. 宫川栄一, 松本正:滋賀県立機械金属工業指導所研究報告書(昭和57年度)

高周波誘導結合プラズマ発光分光分析法による 銅合金中微量成分の定量に関する研究

技師 松 本 īF.

1. はじめに

高周波誘導結合プラズマ発光分光分析法(以下ICP法と略記する)は、高感度で化学的干渉が ほとんどなく、ダイナミックレンジも広く、そのうえ同一条件下で多元素同時分析が可能であると いう効率性により、鉄鋼・非鉄金属分野で急速に普及している分析法である。最近その応用分野は 益々広がり、医学・薬学・農学・生物化学・石油化学工業など多くの方面で利用化の研究が進めら れている。昨年、当所でも、銅合金中の銅・すず・亜鉛等の多量必須元素を対象にし、ICP法を 用いた多元素同時定量分析による銅合金分析の迅速化の研究を行い、年々増加する依頼試験への対 応に成功した。

ところで、銅合金中には、銅・すず・亜鉛・鉛等のマトリックス元素の他に、ひ素・アンチモン 等の微量に含まれる元素が存在する。前者は、銅合金の組織を形成する重要な元素であるが、一方 後者はその組織に悪影響を与え、引張り強度・伸び等の物理的性質を悪くする元素であることから、 最近では、特に強度が重要なものに関して、依頼試験において、ひ素・アンチモン等の微量元素の 定量を依頼されるケースが出てきている。これらの元素の分析法はJIS法で規定されているが操 作が煩雑で時間を要し、精度も良くない。そこで、ICP法による銅合金中の微量成分の定量分析 法を確立すべく研究を行ったが、ICP法においても微量元素ゆえにマトリックス元素による干渉 など多くの干渉をかなり受けることがわかった。今回、種々の干渉とその補正方法について検討を 行ったので報告する。

2. 装置および試薬・試料

2-1 装 置

島津製作所製真空形高周波プラズマ分析装置 ICPV―1000型 (固体発光装置付) を使用して実験 を行った。本装置は1.0mのパッシェンルンゲ型真空分光器にICP光源機構が装備されたもので あり、分光器とプラズマトーチの間の光路はアルゴンガスで置換される仕組になっており、真空 紫外域のスペクトル線も感度よく測定できる。また、0.5mのツェルニー・ターナ型分光器のモノ クロメーターCTM―50型および測定データーを処理し、自動的に含有量に直したり、検量線を 作成・記憶したりできるデータ処理装置QC―5型を備えている。他にはオートサンプラーを付 属している。

2-2 測定条件および分析線

本研究でのICP法の測定条件をTable 1に、使用した分析線をTable 2に示す。

Table 1 Trat

Table 1 Instrument	ts and	operati	ng cor	nditions	
Instrument system	Shimad:	zu ICPV-	-1000		
Spectrometer Polychromator Monochromator	Focal CTM-50	Paschen- length:10 Czerny- length:50	000mm Turner	nounting	
Radio frequency		27.1	20MHz		
Output power		1.2	kW		
Reflected RF power	maxi	mum 10	W		
Observation height abo top of induction coil		14	mm		
Coolant gas flow rate		Ar 15.0	1/min		
Plasma gas flow rate		Ar 1.2	1/min	•	
Carrier gas flow rate		Ar 1.1	l/min	•	
Purge gas flow rate		Ar 3.5	1/min		
Sample uptake rate		2.5	ml/mi	n.	
Integration time		20	sec.		
Pre-spraying time		80	sec.		
Cleanout time		60	sec.		ė.
Internal standard elem	ent	Yttr	ium		
Nebulizer -			entric (bulizer	type glass	
2 — 3 試 薬 (1) 純銅溶液は、99.999%以上 _ —	Table	2 Ar	alytic	al lines (r	nm)
のものを王水に溶解して調製	у п	37	1.03	As I	
した。	Fe П		1.44	Sb I	197.26
(2) ひ素・アンチモン等の標準	Cu I	(L) 32	7.04	Ni II (L)	187.12
溶液は、原子吸光分析用標準	Cu I	(H) 296	6.10	Ni II (H)	231.60
溶液 (1000 μg/ml: 半井化学	Sn II	(L) 189	9.99	PI	225.39 178.29
、 薬品製)を使用した。	Sn I	(H) 317	7.50	СоП	228.62
(O) < Old - (3 57)					660.02

2-4 実験用試料

実験用試料は市販のBCS、

ずるものを使用した。

(3) 試料の分解に使用した酸等

試薬は特級もしくはそれに準

H: used for high concentration sample

Cd II

Bi T

228.62

214.40

306.77

NBSおよびBAMの標準試料

L: used for low concentration sample

405.78

334.50

206.19

を使用した。その名称および標準値を Table 3 に示す。

Pb I

Zn I (H)

Zn II (L)

Table 3 Chemical composition of standard samples (%)

Element Name	As	Sb	Cu	Sn	Zn	Pb	Al	Ni	Fe
B A M 211	0.0213	0.033	87.71	10.60	0.56	0.74	_	0.122	0.110
B A M 222	0.0092	0.0084	85.08	0.284	0.94	0.150	9.43	0.254	1.91
B A M 223	0.0084	0.0040	58.74	0.089	38.82	2.13	< 0.002	0.0214	0.091
B A M 224	0.0025	0.0026	57.40	0.066	39.40	1.13	0.0012	0.038	0.136
B A M 227	0.081	0.160	85.57	6.01	3.46	4.12		0.284	0.129
B C S 207/2	0.066	0.10	87.35	9.74	1.60	0.70	0.013	0.28	0.029
B C S 183/3	0.15	0.25	84.5	6.69	3.25	3.40		1.52	0.028
B C S 364	0.06	0.18	80.6	9.35	0.13	9.25	-	0.28	
N B S 37e		_	69.61	1.00	27.85	1.00	_	0.53	0.004
N B S 872		_	87.36	4.16	4.00	4.13		-	0.003
N B S 184	_	_	88.96	6.38	2.69	1.44		0.50	0.005

3、実験および考察

3-1 分析条件の検討

ICP光源は高周波電場にアルゴンガスを通じると、高周波がガス中に誘導されてガスが電離しプラズマが形成され、エアロゾルとして噴霧された原子がこのプラズマをエネルギー源として励起され、再びエネルギー準位の低い状態に戻る時に発光する仕組になっている。したがって、プラズマの温度・質・安定性等に影響を与える因子の変化により、絶対的な発光強度が変化するし、測光位置等の違いにより、測光される発光強度が変化するものと思われる。本研究では、微量成分の定量分析を目的としているうえに、ひ素・アンチモンというICP法においても感度の悪い元素を対象にしているので、感度・S/N比等の最良となる最適分析条件で分析を行わねばならない。

3-1-1 高周波出力

高周波出(電)力は、プラズマ炎の温度・安定性に重大な影響を与えると考えられる。本装置では、高周波出力を 0.8kwから 2.0kwまで、 0.2kw ごとに変化できるようになっている。昨年度の研究において、高周波出力が大きくなればスペクトル線強度は高くなるが、バックグラウンドはその割合以上に高くなり S/N比が悪くなり、一方弱すぎるとプラズマ炎の安定性が悪化することが明らかになっているので、今回も同様にスペクトル線強度が比較的強く、S/N比のよい 1.2kw で使用した。

3-1-2 ガス流量

プラズマ炎はアルゴンガスによって形成されているので、その流量はプラズマ炎の安定性、発光強度に影響を与える重要な因子であると考えられる。本装置のガス系は冷却ガス、プラズマガス、キャリヤガス、パージガスの4系統より成っているが、昨年度の研究により冷却ガス、プラズマガス、パージガスの流量はスペクトル線強度にあまり大きな影響を与えないことがわ

-100-

かっているので、ここでは発光強度に重大な影響を与えるキャリヤガス流量の検討を行った。 Fig.-1にキャリヤガス流量とスペクトル線強度、バックグラウンド強度、およびB. E. C. (Background Equivarent Concentration) との関係を示す。

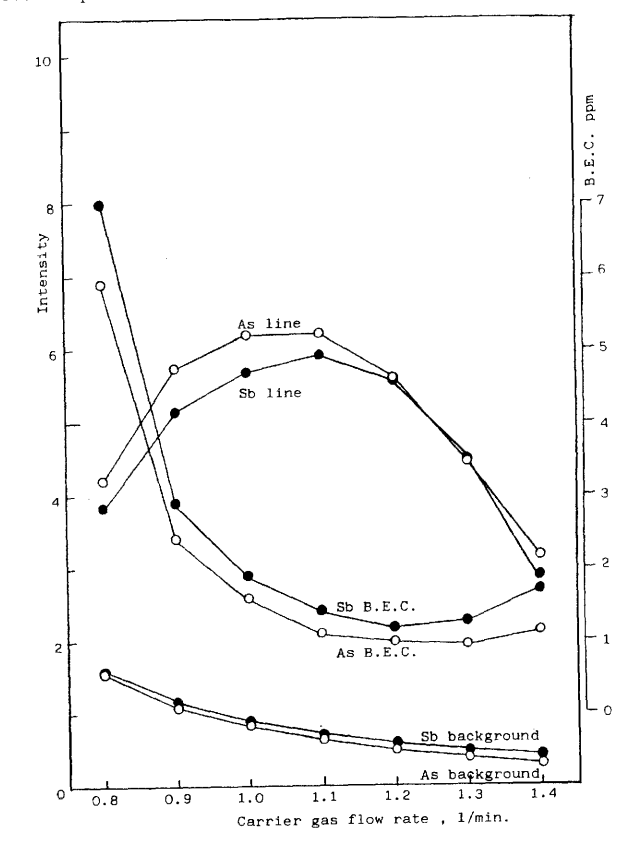


Fig. 1 $\,^{\circ}$ Effect of carrier gas flow rate on intensities , backgrounds and B.E.C. of As 197.3nm and Sb 187.1nm

ひ素・アンチモンともに、スペクトル線強度は1.1ℓ/mmをピークにし、ガス流量が増減しても低くなっている。これはキャリヤガス流量が増加すると試料吸上げ量が増加し、励起される原子数が増加し、発光強度が強くなるが、一方噴霧される試料エアロゾルの量も増加するので、キャリヤガス流量が増加しすぎると、過剰のエアロゾルによりプラズマ炎の温度が低下し、励起能力の低下から発光強度が減少するためであると考えられる。スペクトル線強度が強く、かつB. E. C. が低い点が最適となるので、キャリヤガス流量は1.1ℓ/mmに設定することにした。

3-1-3 測光位置

プラズマ炎は高さ方向に対して均一な温度分布をしていないので、測光位置によりスペクト ル線の測定強度は変化する。最適測光位置を決定するため、高周波コイルのセンター上端から 測光位置までの距離とスペクトル線強度、バックグラウンド、B.E.C.との関係を求めたところ、Fig.-2のようになった。ひ素・アンチモンともよく似た挙動を示しており、センター上端から14㎜の位置はスペクトル線強度が強く、また、B.E.C.が低く最適測光位置と考えられるので、測光位置は誘導コイルセンター上端上14㎜の位置に決定した。

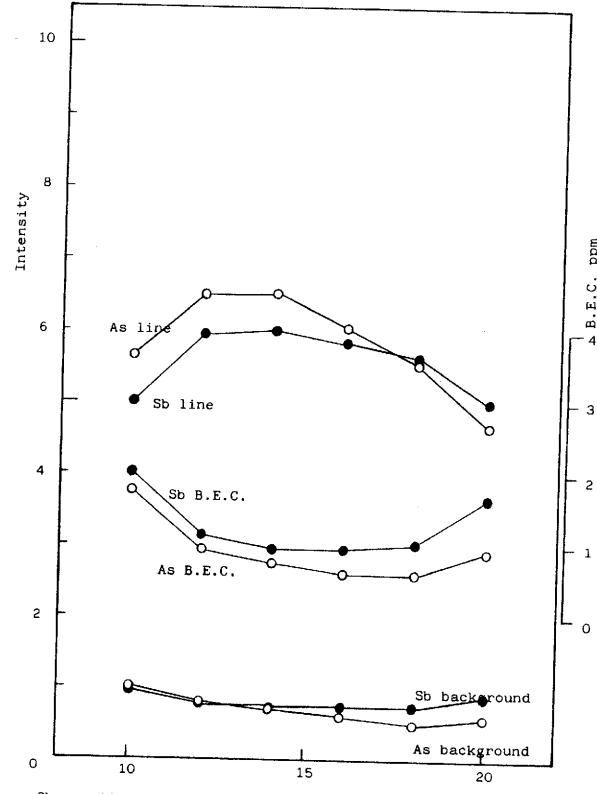


Fig. 2 Observation height above top of induction coil , $\ensuremath{\text{mm}}$

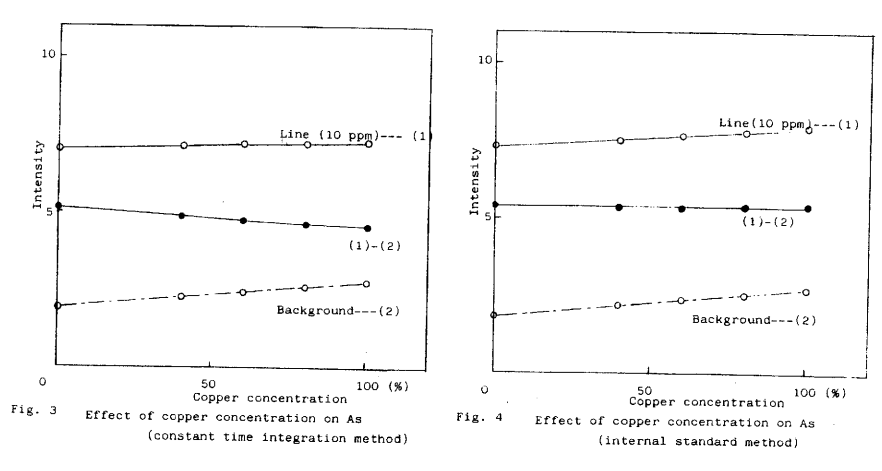
Effect of observation height above top of induction coil on intensities , backgrounds and B.E.C. of As 197.3nm and Sb 187.1nm

3-2 干 浩

3-2-1 銅の物理的干渉

定時間積分法において、ひ素に対する銅濃度の影響を調べてみたところ、Fig.-3のようになった。この場合の濃度は、固体試料中の銅の含有率に相当し、検液は1gの試料を溶解し、100 ml にフィルアップしたのと同様になるように調製した。Fig.-3より、銅共存時のひ素の発光強度から銅のバックグラウンドを差し引いた値は、銅濃度の増加とともに減少しているのがわかる。この現象は、アンチモンについても見られた。今度は同様にして、内標準法において、ひ素に対する銅濃度の影響を調べたところ、Fig.-4のようになり、銅のバックグラウンドを差し引いた発光

強度値は、銅濃度に影響されないことがわかる。また、この場合もアンチモンは同様の傾向を示した。



このような現象がおこる原因は、銅濃度の増加によって検液の粘性が高まり、ネブライザーからの噴霧量が減少し、絶対的な発光強度が低下したためであると思われる。また、内標準法においては発光強度が変化しなかった理由は、目的元素の絶対的な発光強度は低下したが、内標準元素も同様な挙動を示すため、補正された発光強度値は変化しないためであると思われる。

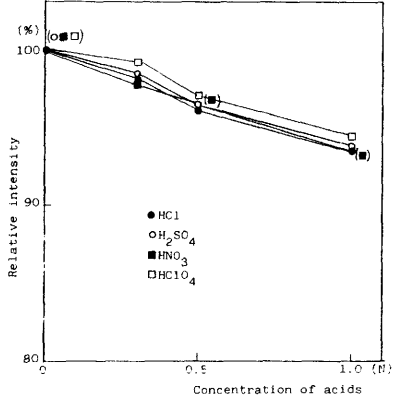
したがって、このような銅による物理的な負の干渉は、内標準法を用いて分析することによって防止できることがわかる。

3-2-2 酸の干渉

酸の種類・濃度の違いにより、試料溶液の粘度等の物理的な因子や種々の化学的な因子が変化し、発光強度に影響を与えると思われるので一般的に使用する酸について、その濃度と発光強度との関係を目的元素、測定方法別に調べた。ひ素について、定時間積分法を用いて強度測定を行った結果、Fig.-5のように各酸とも濃度の増加にともなって発光強度の低下が見られた。しかし、これを内標準法を用いて測定すると、Fig.-6のように発光強度の低下はかなり緩和されていることがわかる。これは酸濃度の増加に従って、試料溶液の粘度が高くなり、噴霧量が減少し、絶対的な発光強度が低下したことにより、定時間積分法で測定される発光強度は低下するが、内標準元素であるイットリウムも同様な挙動を示すため、内標準法では補正され緩和されるためであると思われる。実際、イットリウムはひ素とよく似た挙動を示すことが確認された。

全く同様にして測定したアンチモンの結果をFig.-7およびFig.-8に示す。

アンチモンは、ひ素とは異なり、定時間積分法の場合において、発光強度は酸濃度による影響を受けないことがFig.-7よりわかる。さらに、Fig.-8より内標準法を用いると、逆に酸濃度は正の干渉を与えることがわかる。このことは、アンチモンはひ素、イットリウムとは違う挙動を示し、ひ素、イットリウムの絶対発光強度が低下している場合でも、アンチモンのそれは変化せず、定時間積分法で測定すれば発光強度は変化しないが、内標準法ではイットリウムの絶



Concentration of acids

Fig. 5 Effect of concentration of acids on intensity
of As (Constant time integration method)

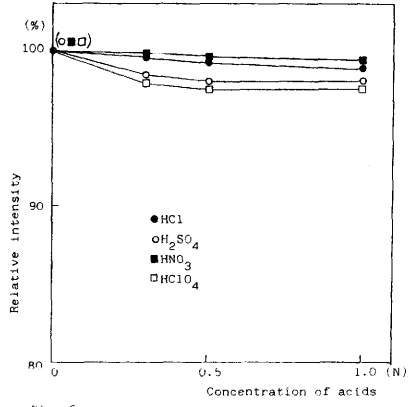


Fig. 6 Effect of concentration of acids on intensity
of As (internal standard method)

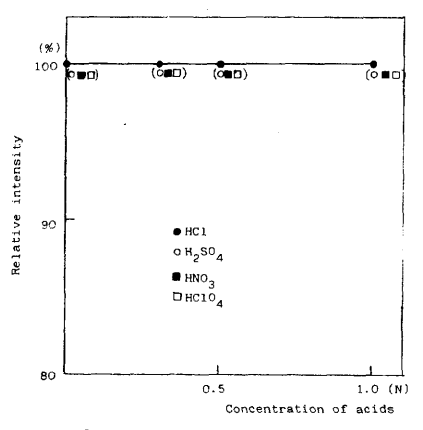


Fig. 7 Effect of concentration of acids on intensity of Sb (constant time integration method)

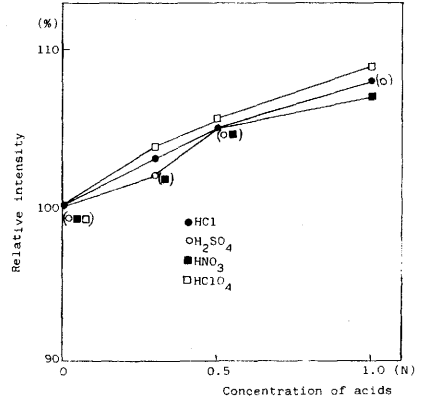


Fig. 8 Effect of concentration of acids on intensity of Sb (internal standard method)

対発光強度が低下した分、相対的に発光強度が増加したと考えれば理解できる。しかし、試料溶液の粘度の増大による物理的干渉はひ素・イットリウムの場合だけおこり、アンチモンの場合にはおこらないとは考え難く、同じ溶液について同時に測定していることなのでアンチモンの噴霧量も減少していると考えた方が妥当である。したがって、アンチモンの場合には酸濃度の増加にともなう、何らかの(おそらく化学的な)正の干渉の存在が予想され、この干渉と粘度増加による物理的干渉が打ち消し合い、絶対発光強度が変化していないように見えたと考えればうまく理解できる。しかし、この干渉が実際に存在するのか、また、なぜ存在するのかは現在不明である。

3-2-3 主成分元素の影響

銅合金中には主成分元素として銅の他にすず・亜鉛・鉛・アルミニウム等が含まれるので、 これらの元素が分析しようとする微量のひ素およびアンチモンに対して与える影響を調べた。 Fig.-9はひ素の分析線197.26nmを中心に、±1nm走査した時の各元素のスペクトルのプロ

ファイルを示す。実際の試料に なるべく近くなるように、銅は8 mg/ml、その他の元素は500 μg/ mlの溶液を用いてプロファイル を行った。プロファイルはポリ クロメータの入口スリットを移 動させることにより行った。こ の図より、鉛はひ素に対して近 接するスペクトル線による分光 学的なかなり大きな正の干渉を 与えることがわかる。また、銅 およびアルミニウムはバックグ ラウンドの増大による正の干渉 (迷光干渉)を与えるが、すずは ほとんど影響を与えなく、亜鉛は 近くにスペクトル線が存在する ものの、ひ素の分析線には影響 を与えないことがわかる。さら に、共存元素が存在しない場合 のバックグラウンドは、波長が 短くなるに従って低下すること がわかる。

Fig.-10はアンチモンの分析線 187.12nmを中心にしてひ素の場合と全く同様にプロファイルした時の結果である。この図よりアンチモンの場合には近接線による分光学的な干渉は受けないが、アルミニウム、銅、すずによりバックグラウンド増大による正の干渉(迷光干渉)を受けることがわかる。さらに、鉛

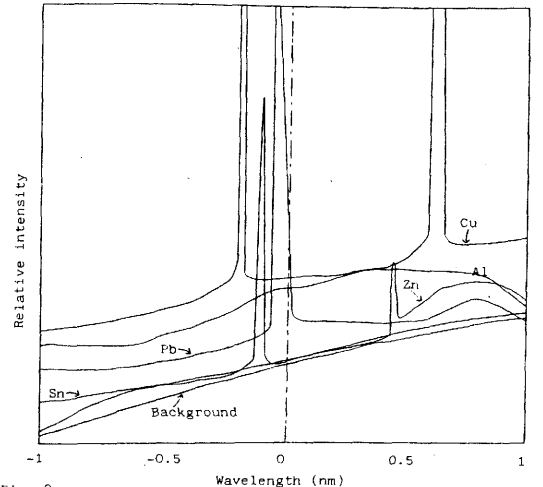
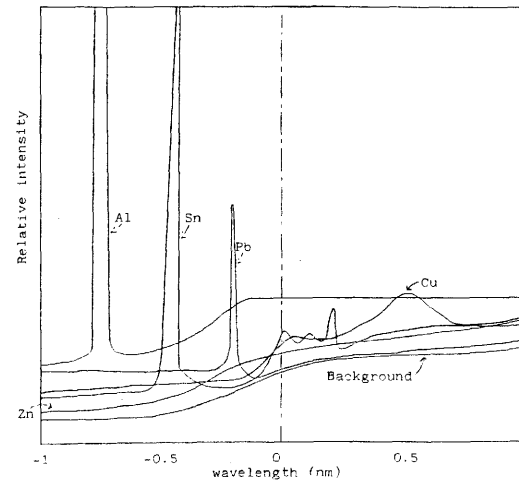


Fig. 9 Profile of emission spectrum of copper,tin,zinc,lead and aluminum neighbouring with analytical line of As.



よる正の干渉 (迷光干渉) を受 Fig. 10 Profile of emission spectrum of copper.tin.zinc.lead and aluminum neighbouring with analytical line of Sb.

は、近くにスペクトル線が見られるものの、アンチモンの分析線にはほとんど影響を与えない ことと、ひ素の場合と同様に共存元素が存在しない時には、波長が短くなるに従ってバックグ ラウンドが低下することがわかる。

3-3 干渉の補正

3-3-1 マトリックス元素の物理的干渉の補正

3-2-1により銅の物理的干渉は内標準法を用いることにより防止できることが明らかに

なっているので、補正は内標準法を用いて行うことにした。また、この種の干渉はマトリック スが銅り外のもの。例えばアルミニウム。すず、亜鉛等においても見られ、これらはすべて内 標準決により補正できると考えられる。

3-3-2 酸の干渉の補正

3-2-2において、各酸はひ素に対して物理的な負の干渉を与え、この干渉は内標準法を 用いることにより、緩和されることが明らかになっている。一方アンチモンは物理的な負の干 渉を同様に受けるが、これを打ち消すだけのなんらかの正の干渉の存在が予想され、これによ り定時間積分法においては酸濃度に影響を受けないが、内部標準元素であるイットリウムとは 挙動を異にするため、内標準法では正の干渉を受けることが明らかになっている。

3-3-1においてマトリックス元素の物理的干渉の補正のためには、ひ素、アンチモンと も内標準法を使用する必要があることが結論されているが、ここではひ素については内標準法、 アンチモンについては定時間積分法で分析を行うのが望ましいという結果が出ており、アンチ モンの場合相反する。しかし、実際の試料を分析する場合には、標準試料と分析試料のマトリ ックス成分を完全に一致させることは不可能に近いが、酸濃度を一致させることは容易であるの で、分析の際には、すべての酸濃度を一致させることにより、アンチモンも内標準法を用いて 分析することにした。

3-3-3 主成分元素の干渉の補正

3-2-3によりひ素、アンチモンとも主成分元素により干渉を受けることが明らかになっ ているので、ここではその防止法および補正法について検討した。

主成分元素の干渉の防止法・補正法には次にあげるいくつかの方法が考えられる。

- ① 被分析溶液と同じマトリックス組成で分析対象元素を含まないバックグラウンド溶液を調 製し、分析溶液と同一条件で分析する方法 (バックグラウンド溶液法)
- ② あらかじめ、それぞれのマトリックス元素が分析元素に与える影響量を測定し、補正係数 (単位量のマトリックス元素が与える影響量)を算出し、マトリックス元素も同時に分析し、 対象元素の分析値を補正する方法 (マトリックス補正法)
- ③ 近接線を用いバックグラウンド補正を行う方法(近接線法)
- ④ 目的元素を溶媒抽出し、マトリックス成分と分離する方法(溶媒抽出法)
- ⑤ ひ素・アンチモンは水素化物となるので、水素化ほう素ナトリウム等で還元、水素化物と し気化分離させ、プラズマ中に直接導入して分析する方法(気化分離法)

①のバックグラウンド溶液法は、分析線がたとえ分光干渉を受けたとしても、バックグラウン ド溶液も全く同様に分光干渉を受けるので、この影響が相殺されうまく補正ができると考えられ るが、その都度分析溶液のマトリックス成分を分析し、バックグラウンド溶液を調製しなけれ ばならなく、手数と時間がかかり無駄も多い。

②のマトリックス補正法は、影響を与える全マトリックス成分の補正係数を求めなければなら ないが、ICP法の特長を生かし、マトリックス成分も同時に分析し、コンピューターによる 補正演算処理を行えば簡単に補正することができる。ただし、分光学的干渉・迷光干渉以外は 補正できないと思われる。

③の近接線法は、未知の試料に対して極めて有効であるという報告があるが、今回使用した装

置にはバックグラウンド補正装置が付属していなく、近接線の測定が不可能なため現状では使 用できない。

④の溶媒抽出法はうまく抽出できれば、主成分元素の干渉は全く考えなくてすむが、微量の ひ素・アンチモンを100%抽出することは難しく誤差が大きかったので、今回の実験には使用 しなかった。

⑥の気化分離法は、目的成分を気体にしてマトリックスから分離するので、溶媒抽出法と同 様に干渉を考えなくてすむうえに、感度が著しく上昇し、ppbオーダーまで分析が可能になるが 特別の水素化物発生装置が必要で、しかも気体の導入方法に工夫が必要になるので、今後これに ついての研究を進めたいと考えている。

以上の理由により、本実験では②のマトリックス補正法を用いて補正を行うことにした。

あらかじめ、共存元素が存在しない状態でひ素およびアンチモンの検量線を作成しておき、

それぞれの10μg/ml溶液にマトリックス成分元素を 種々の濃度で添加して分析し、先の検量線上での濃 度を求め、影響量から補正係数を求めた。分光干渉 および迷光干渉なので影響は加算的に現れると考え、 補正係数を計算した。求めた補正係数をTable 4 に 示す。

補正前の含有量をQ(%)、 補正後の含有量をQo (%)、マトリックス成分の含有量をQi(%)、補正係 数をliとすれば補正は次式により行うことができる。

 1.28×10^{-3} 2.97×10^{-3} 1.84×10^{-3} 7.52×10^{-3} Ph 8.02×10^{-3} Al I 4.20×10^{-3} 4.46×10^{-3}

Table4

Coefficient of correction

As

 2.13×10^{-4}

Sb

0

 1.70×10^{-4}

 $Q = Q_0 + \Sigma li \cdot Qi$

3-4 銅合金中微量ひ素・アンチモンの定量

3-4-1 試料溶液の調製

試料2gを正確に秤り取り、王水(硝酸:塩酸 1:3;容量比)40㎡に加熱溶解し、内部標 準元素としてイットリウムを最終濃度が100mとなるように添加し、水で200mlにフィルアップ した。

3-4-2 検量線の作成

ひ素およびアンチモンの検量線は原子吸光用の標準溶液を用い、共存元素が存在しない状態 での発光強度値より作成した。主成分元素の検量線は、Table 3の標準試料を用いて作成した。

3-4-3 定量結果

Table 3の標準試料の数種を分析試料とし、3-3-3で求めた補正係数(Table 4)を使用し てマトリックス補正法によりひ素およびアンチモンを定量した結果をTable5に示す。分析はマ トリックス成分も含めて全て同時に行い、データ処理装置QC-5型により、補正処理を行っ た。定量結果と標準値とを比較してみると、かなりの開きがあり本法をこのまま依頼試験等の 一般分析試験に使用することはできない。しかし、補正を全く行わない状態で定量分析を行う と、定量結果は微量成分のため1桁~2桁違った値になるが、本法では値は違っているものの オーダーは全て一致しており、補正は正しい傾向に働いていることがわかる。今回は分光学的 干渉および迷光干渉による加算的な干渉だけが存在するものとして補正係数を算出したが、実

際は他の化学的な干渉等が関与し、加算的な干渉と剰算的な干渉が存在しているものと思われ、 そのため正確な補正ができなかったと考えられる。今後、剰算的な干渉も含めた正確な補正方 法の確立を検討したいと考えている。

Table 5 Analytical results of trace amounts of arsenic and antimony by ICP-AES used matrix correction method

	Ar	senic	Antimony				
Sample	Standard Value	Matrix correct- ion method	Standard Value	Matrix correct- ion method			
B C S 183/3	0. 1 5	0. 1 5 6	0. 25	0. 2 7 3			
BCS 207/2	0. 066	0. 0 7 1	0. 1 0	0. 1 1 2			
B C S 364	0. 0 6	0. 0 6 3	0. 18	0. 173			
B A M 211	0. 0 2 1 3	0. 0 3 2 4	0. 0 3 3	0. 0 2 1			
B A M 222	0. 0 0 9 2	0. 0 1 1 5	0. 0 0 8 4	0.0097			
B A M 223	0. 0 0 8 4	0. 0 0 8 5	0. 0 0 4 0	0. 0 0 2 5			
B AM 224	0. 0 0 2 5	0. 0 0 3 1	0. 0 0 2 6	0. 0 0 3 0			
B AM 227	0. 0 0 8 1	0.0095	0. 1 6 0	0. 1 4 2			

4. おわりに

本研究では、ICP法による銅合金中の微量成分の定量を目的に、ひ素・アンチモンを例に種々の 干渉とその防止法・補正法を検討してきたが、その結果、次の知見を得た。

- 1) 最適分析条件はひ素・アンチモンともに、測光位置は誘導コイルセンター上14m、キャリヤガス流量は 1.1ℓ /mである。
- 2) マトリックス濃度の増加は被検液の粘性を高め物理的干渉を招くが、内標準法を用いることによって防止できる。
- 3) 酸濃度の増加は被検液の粘性を高め、物理的干渉を招く。ひ素・アンチモンとも酸濃度の増加に ともない絶対的発光強度の低下が予想されたが、アンチモンは低下が見られなかった。これは、 物理的干渉を打ち消す正の干渉(たぶん化学的な干渉)が存在するためであると考えられる。こ のため、ひ素は内標準法、アンチモンは定時間積分法で分析すれば、酸濃度の影響を防止でき る。
- 4) バックグラウンドは波長が短くなるに従って低下する。
- 5) ひ素に対して、鉛は近接線による分光学的干渉を、銅・アルミニウムは迷光干渉を起こす。またアンチモンに対して、銅・すず・アルミニウムは迷光干渉を起こす。
- 6) 主成分元素の干渉の防止法・補正法にはバックグラウンド溶液法、マトリックス補正法、近接 線法、溶媒抽出法、気化分離法の5つの方法が考えられる。
- 7) バックグラウンド補正法は適切な補正が可能であるが、分析試料の主成分組成の分析を行い、 全く等しいバックグラウンド溶液を調製しなければならなく時間を要する。

- 8) 気化分離法は主成分元素から分離されるため干渉を考えなくてすみ、感度も著しく向上するので、今後研究を進めて行く必要がある。
- 9)マトリックス補正法を使用し、銅合金中のひ素・アンチモンを定量したところ、オーダーは一致したものの標準値からは開きがあった。この原因は、本研究では分光学的干渉および迷光干渉による加算的な干渉のみが存在するものと見て補正係数を算出したことにあると思われる。実際は剰算的な干渉が同時に作用していたと思われ、今後、剰算的な干渉も考慮した補正法を検討する必要がある。

〈参考文献〉

- 1. 不破敬一郎、原口紘禾:「ICP発光分析」南江堂 1980
- 2. 田中 勇、田原貞夫、大槻 孝、佐藤公隆、松本龍太郎:分化 28、371(1979)
- 3. 遠藤芳秀、坂尾則隆:分化 30、433(1981)
- 4. 田中俊徳、山田鉄男、城ノ口隆、山田淳郎、熊本和夫、服部荘寛:分化 31、385 (1982)
- 5. 遠藤芳秀、坂尾則隆:鉄鋼 68、2578 (1982)
- 6. 遠藤芳秀、坂尾則隆:分化 32、T50 (1983)
- 7. 内川 浩、吉田力久、三原康央: 分化 32、291(1983)
- 8. 宮川栄一:滋賀県立機械金属工業指導所研究報告(昭和57年度):55(1983)
- 9. 松本 正:滋賀県立機械金属工業指導所研究報告(昭和57年度):67(1983)